

АЗЭРБАЙЧАН ССР ЕЛМЛЭР АКАДЕМИЈАСЫ  
АКАДЕМИЯ НАУК АЗЕРБАЙДЖАНСКОЙ ССР

---

# МЭРУЗЭЛЭР ДОКЛАДЫ

ТОМ XXI ЧИЛД

2

---

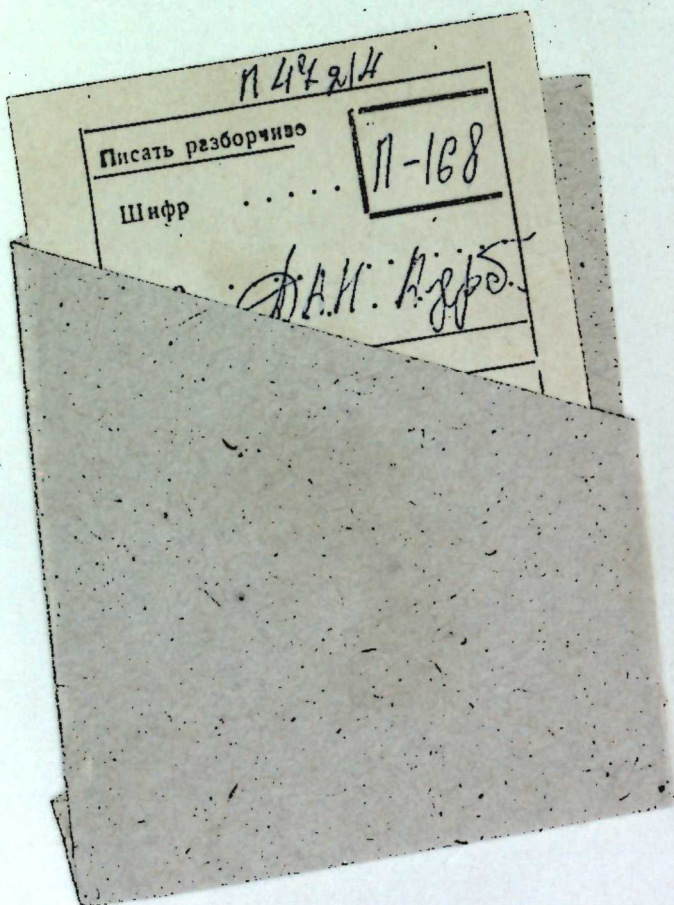
АЗЭРБАЙЧАН ССР ЕЛМЛЭР АКАДЕМИЈАСЫ НЭШРИЈАТЫ  
ИЗДАТЕЛЬСТВО АКАДЕМИИ НАУК АЗЕРБАЙДЖАНСКОЙ ССР  
Бакы—1965—Баку

АЗЭРБАЙЧАН ССР ЕЛМЛЭР АКАДЕМИЈАСЫ  
АКАДЕМИЯ НАУК АЗЕРБАЙДЖАНСКОЙ ССР

# МЭ'РУЗЭЛЭР ДОКЛАДЫ

ТОМ XXI ЧИЛД

№ 2



АЗЭРБАЙЧАН ССР ЕЛМЛЭР АКАДЕМИЈАСЫ НЭШРИЈАТЫ  
ИЗДАТЕЛЬСТВО АКАДЕМИИ НАУК АЗЕРБАЙДЖАНСКОЙ ССР  
БАКЫ—1965—БАКУ

Р. Г. АЛИЕВ, А. Р. ЭФЕНДИЕВ

ПРИМЕНЕНИЕ МЕТОДА ЗЕЙДЕЛЯ К ОДНОЙ  
КРАЕВОЙ ЗАДАЧЕ

(Представлено академиком АН Азербайджанской ССР З. И. Халиловым)

В настоящей статье для системы дифференциальных уравнений

$$\frac{dy_i}{dx} = f_i(x, y_1, y_2, \dots, y_n) \quad (i = 1, 2, \dots, n) \quad (1)$$

на отрезке  $[a, b]$ , рассматривается многоточечная краевая задача, а именно, ищется непрерывное решение  $(y_1(x), y_2(x), \dots, y_n(x))$  системы (1) на  $[a, b]$ , удовлетворяющее условию

$$y_i(\xi_i) = y_i^{(0)}, \quad (2)$$

где  $i = 1, 2, \dots, n$ ,  $\xi_i \in [a, b]$ . Доказательство существования и единственности указанной задачи проводится методом последовательных приближений решения системы дифференциальных уравнений, аналогичным методу Зейделя решения системы алгебраических уравнений [1]. Рассматриваемый нами метод дает возможность находить приближенное решение предлагаемой краевой задачи намного точнее, чем в работе [2].

Имеет место следующая

Теорема 1. Если:

1) функции  $f_i(x, y_1, y_2, \dots, y_n)$  ( $i = 1, 2, \dots, n$ ) непрерывны по всем аргументам в замкнутой области

$$R : a \leq x \leq b, y_i^{(0)} - r_i < y_i < y_i^{(0)} + r_i.$$

2) в области  $R$  функции  $f_i(x, y_1, y_2, \dots, y_n)$  ( $i = 1, 2, \dots, n$ ) удовлетворяют условиям  $|f_i(x, \bar{y}_1, \bar{y}_2, \dots, \bar{y}_n) - f_i(x, \bar{\bar{y}}_1, \bar{\bar{y}}_2, \dots, \bar{\bar{y}}_n)| \leq L_i(x) \sum_{s=1}^n |\bar{y}_s - \bar{\bar{y}}_s|$  ( $i = 1, 2, \dots, n$ ), где  $(\bar{y}_1, \bar{y}_2, \dots, \bar{y}_n)$  и  $(\bar{\bar{y}}_1, \bar{\bar{y}}_2, \dots, \bar{\bar{y}}_n)$  суть две какие-нибудь системы значений, принадлежащих области  $R$ , а  $L_i(x) C_i = 1, 2, \dots, n$ , непрерывные на  $[a, b]$  функции

пч7214

Центральная научная  
БИБЛИОТЕКА  
Академии наук Киргизской ССР

РЕДАКЦИОННАЯ КОЛЛЕГИЯ: З. И. Халилов (главный редактор), Ш. А. Азизбеков, В. Р. Волобуев, Д. М. Гусейнов, И. А. Гусейнов, М. А. Дадашзаде (зам. главного редактора), М. А. Далин, Ч. М. Джуварлы, С. М. Кулиев, М. Ф. Нагиев (зам. главного редактора), М. А. Топчибашев, Г. Г. Зейналов (ответственный секретарь).

Адрес: г. Баку, Коммунистическая, 10. Редакция «Докладов Академии наук Азербайджанской ССР».

$$3) \quad 1 < \prod_{j=1}^n (L_j + 1) < 2, \text{ где } L_j = \sup_{a < x < b} \left| \int_{\xi_j}^x L_j(x) dx \right|.$$

$$BL_i \prod_{j=1}^{i-1} (L_j + 1)$$

$$4) \quad B_i + \frac{\prod_{j=1}^{i-1} (L_j + 1)}{2 - \prod_{j=1}^n (L_j + 1)} \leq r_i, \text{ где}$$

$$B_i = M_i + L_i \sum_{s=1}^{i-1} M_{i-s} \prod_{j=1}^{s-1} (L_{i-j} + 1),$$

$$M_i = \sup_{a < x < b} \left| \int_{\xi_i}^x f_i(x, y_1^{(0)}, y_2^{(0)}, \dots, y_n^{(0)}) dx \right| (i = 1, 2, \dots, n), B = \sum_{s=1}^n B_s,$$

то краевая задача (1)–(2) имеет на отрезке  $[a, b]$  решение  $(y_1(x), y_2(x), \dots, y_n(x))$ , принадлежащее классу функций  $\{\varphi_1(x), \varphi_2(x), \dots, \varphi_n(x)\}$ , определенных и непрерывных на  $[a, b]$ , принадлежащих области  $R$  при  $x \in [a, b]$ , причем в данном классе это решение единственное.

**Доказательство.** Для нахождения искомого решения воспользуемся последовательными приближениями вида

$$y_i^{(m)} = y_i^{(0)} + \int_{\xi_i}^x f_i(x, y_1^{(m)}, y_2^{(m)}, \dots, y_{i-1}^{(m)}, y_i^{(m-1)}, \dots, y_n^{(m-1)}) dx \quad (i = 1, 2, \dots, n) \quad (3).$$

За нулевое приближение возьмем  $(y_1^{(0)}, y_2^{(0)}, \dots, y_n^{(0)})$ . Приближения первого порядка

$$y_i^{(1)} = y_i^{(0)} + \int_{\xi_i}^x f_i(x, y_1^{(1)}, y_2^{(1)}, \dots, y_{i-1}^{(1)}, y_i^{(0)}, \dots, y_n^{(0)}) dx \quad (i = 1, 2, \dots, n)$$

являются непрерывными функциями на  $[a, b]$ , причем при выполнении условия 4) теоремы они не выходят из области  $R$ , ибо

$$|y_i^{(1)} - y_i^{(0)}| \leq M_i + L_i \sum_{s=1}^{i-1} M_{i-s} \prod_{j=1}^{s-1} (L_{i-j} + 1) = B_i < r_i.$$

Аналогичны вышесказанному вторые приближения

$$y_i^{(2)} = y_i^{(0)} + \int_{\xi_i}^x f_i(x, y_1^{(2)}, y_2^{(2)}, \dots, y_{i-1}^{(2)}, y_i^{(1)}, \dots, y_n^{(1)}) dx$$

имеют смысл, непрерывны при  $[a, b]$  и

$$|y_i^{(2)} - y_i^{(1)}| \leq L_i \prod_{j=1}^{i-1} (L_j + 1), \text{ причем } |y_i^{(2)} - y_i^{(0)}| \leq$$

$$\ll |y_i^{(2)} - y_i^{(1)}| + |y_i^{(1)} - y_i^{(0)}| \leq B_i + BL_i \prod_{j=1}^{i-1} (L_j + 1) \leq r_i.$$

Далее, взяв третьи приближения

$$y_i^{(3)} = y_i^{(0)} + \int_{\xi_i}^x f_i(x, y_1^{(3)}, y_2^{(3)}, \dots, y_{i-1}^{(3)}, y_i^{(2)}, \dots, y_n^{(2)}) dx,$$

получим

$$|y_i^{(3)} - y_i^{(2)}| \leq BL_i \prod_{j=1}^{i-1} (L_j + 1) \sum_{s=1}^n L_s \prod_{j=1}^{s-1} (L_j + 1),$$

$$\text{причем } |y_i^{(3)} - y_i^{(2)}| \leq |y_i^{(3)} - y_i^{(0)}| + |y_i^{(2)} - y_i^{(0)}| \leq$$

$$\leq BL_i \prod_{j=1}^{i-1} (L_j + 1) \sum_{s=1}^n L_s \prod_{j=1}^{s-1} (L_j + 1) + B_i + BL_i \prod_{j=1}^{i-1} (L_j + 1) =$$

$$= B_i + BL_i \prod_{j=1}^{i-1} (L_j + 1)(N+1) = B_i + BL_i \prod_{j=1}^{i-1} (L_j + 1) \prod_{j=1}^i (L_j + 1) \leq r_i,$$

так как  $\prod_{j=1}^i (L_j + 1) < \frac{1}{2 - \prod_{j=1}^i (L_j + 1)}$ , где

$$\prod_{j=1}^n (L_j + 1) - 1 = \sum_{s=1}^n L_s \prod_{j=1}^{s-1} (L_j + 1) = N.$$

Следуя методу полной математической индукции, можно доказать что, если  $(m-1)-e$  приближения являются непрерывными функциями, то  $m-e$  приближения, как неопределенные интегралы от непрерывных функций, также непрерывны и для разности между  $m$ -ми и  $(m-1)$ -ми приближениями имеет место оценка

$$|y_i^{(m)} - y_i^{(m-1)}| \leq BL_i \prod_{j=1}^{i-1} (L_j + 1) N^{m-2}, \quad (1)$$

$$\text{и } |y_i^{(m)} - y_i^{(0)}| \leq |y_i^{(m)} - y_i^{(m-1)}| + |y_i^{(m-1)} - y_i^{(0)}| \leq$$

$$\leq B_i + BL_i \prod_{j=1}^{i-1} (L_j + 1) (N^{m-2} + N^{m-3} + \dots + N + 1) \leq r_i,$$

$$\text{так как } 1 + N + \dots + N^{m-3} + N^{m-2} < \frac{1}{1 - N}.$$

Следовательно, оценки (4) справедливы для любого натурального  $m$ . Таким образом, все последовательные приближения (3) принадлежат области  $R$  при  $x \in [a, b]$ .

Покажем теперь, что последовательные приближения  $y_i^{(m)}(x)$  ( $i = 1, 2, \dots, n$ ) образуют равномерно сходящуюся последовательность на  $[a, b]$ . Для этого достаточно доказать сходимость рядов

$$y_i^{(0)} + \sum_{k=1}^{\infty} (y_i^{(k)} - y_i^{(k-1)}) \quad (i = 1, 2, \dots, n), \quad (5)$$

$$\text{ибо } y_i^{(m)} = y_i^{(0)} + (y_i^{(1)} - y_i^{(0)}) + (y_i^{(2)} - y_i^{(1)}) + \dots + (y_i^{(m)} - y_i^{(m-1)}).$$

Для рядов (5) при  $x \in [a, b]$ , используя (4), имеем:

$$|y_i^{(0)}| + \sum_{k=1}^{\infty} |y_i^{(k)} - y_i^{(k-1)}| \leq |y_i^{(0)}| + B_i +$$

$$BL_i \prod_{j=1}^{i-1} (L_j + 1) \sum_{k=2}^{\infty} N^{k-2}$$

$$\text{Так как } N < 1, \text{ то } |y_i^{(0)}| + B_i + BL_i \prod_{j=1}^{i-1} (L_j + 1) \sum_{k=2}^{\infty} N^{k-2} =$$

$$= |y_i^{(0)}| + B_i + \frac{BL_i \prod_{j=1}^{i-1} (L_j + 1)}{1-N}.$$

Следовательно, ряды (5) сходятся абсолютно и равномерно. Обозначим суммы рядов (5) через  $y_i(x)$  ( $i = 1, 2, \dots, n$ ). Тогда

$$\lim_{m \rightarrow \infty} y_i^{(m)}(x) = y_i(x) \quad (i = 1, 2, \dots, n).$$

Из равномерной сходимости последовательностей  $\{y_i^{(m)}\}$  на  $[a, b]$  следует непрерывность функций  $y_i(x)$  ( $i = 1, 2, \dots, n$ ) на  $[a, b]$ . Покажем теперь, что вектор-функция  $(y_1(x), y_2(x), \dots, y_n(x))$  является решением краевой задачи (1)–(2). Так как при любом  $m$  и  $x \in [a, b]$   $|y_i^{(m)} - y_i^{(0)}| \leq r_i$ , то  $|y_i - y_i^{(0)}| \leq r_i < r_i$  при  $x \in [a, b]$ .

При  $x \in [a, b]$  имеем

$$\begin{aligned} |y_i - y_i^{(0)} - \int_{\xi_i}^x f_i(x, y_1, y_2, \dots, y_n) dx| &\leq |y_i - y_i^{(m)}| + \\ &+ \left| \int_{\xi_i}^x L_i(x) (|y_i - y_i^{(m)}| + \dots + |y_{i-1} - y_{i-1}^{(m)}| + \right. \\ &\left. + |y_i - y_i^{(m-1)}| + \dots + |y_n - y_n^{(m-1)}|) dx \right|. \end{aligned}$$

В силу равномерной сходимости последовательностей  $\{y_i^{(m)}\}$  на  $[a, b]$ , для любого  $\epsilon > 0$  найдется такое число  $H > 0$ , что если только  $n \geq H$ , то  $|y_i - y_i^{(m-1)}| < \frac{\epsilon}{2n+1}$  для всех  $x \in [a, b]$ . Таким образом, имеем:

$$\begin{aligned} |y_i - y_i^{(0)} - \int_{\xi_i}^x f_i(x, y_1, y_2, \dots, y_n) dx| &< \\ &< \frac{\epsilon}{2n+1} + \frac{2n\epsilon}{2n+1} \left| \int_{\xi_i}^x L_i(x) dx \right| < \frac{\epsilon}{2n+1} + \frac{2n\epsilon}{2n+1} = \epsilon, \end{aligned}$$

так как  $\left| \int_{\xi_i}^x L_i(x) dx \right| < 1$  в силу условия 3) теоремы. Отсюда в силу произвольности  $\epsilon$ , получим,

$$y_i(x) = y_i^{(0)} + \int_{\xi_i}^x f_i(x, y_1, y_2, \dots, y_n) dx \text{ при } x \in [a, b].$$

Поэтому при  $x \in [a, b]$   $\frac{dy_i}{dx} = f_i(x, y_1, y_2, \dots, y_n)$ , причем  $y_i(\xi_i) = y_i^{(0)}$ .

Итак, мы доказали, что в условиях теоремы задача (1)–(2) имеет на отрезке  $[a, b]$  решение  $(y_1(x), y_2(x), \dots, y_n(x))$ , принадлежащее к классу непрерывных функций  $\{\varphi_1(x), \varphi_2(x), \dots, \varphi_n(x)\}$  при  $x \in [a, b]$ .

Покажем, что в данном случае это решение единственное. Допустим, что задача (1)–(2), помимо решения  $(y_1(x), y_2(x), \dots, y_n(x))$ , имеет еще другое решение  $(z_1(x), z_2(x), \dots, z_n(x))$ , причем  $|z_i - y_i^{(0)}| \leq r_i$  и  $y_i(x) \neq z_i(x)$  при  $x \in [a, b]$ . Оценим разность  $z_i - y_i$  ( $i = 1, 2, \dots, n$ ) при  $x \in [a, b]$ . В силу условия 1) теоремы существует такое число  $K > 0$ , что при  $x \in [a, b]$  и  $\xi \in R$   $|f_i(x, \xi_1, \xi_2, \dots, \xi_n)| \leq K$ .

$$\text{Поэтому } |z_i - y_i^{(0)}| = \left| \int_{\xi_i}^x f_i(x, z_1, z_2, \dots, z_n) dx \right| \leq K(b-a).$$

Далее имеем:  $|z_i - y_i^{(0)}| \leq K(b-a)P_i$ , где

$$P_i = L_i \left[ \sum_{s=1}^{i-1} n-s+1 L_s \prod_{j=s+1}^{i-1} (L_j + 1) + (n-i+1) \right].$$

Для вторых приближений  $|r_i - y_i^{(2)}| \leq K(b-a)\varphi_i$ , где

$$\varphi_i = L_i \sum_{s=1}^n P_s \prod_{j=1}^{i-1} (L_j + 1). \quad (6)$$

Для третьих приближений

$$|z_i - y_i^{(3)}| \leq K(b-a)L_i \sum_{s=1}^n Q_s \prod_{j=1}^{i-1} (L_j + 1). \quad (7)$$

Подставляя (6) в (7), получим:

$$\begin{aligned} |z_i - y_i^{(3)}| &< K(b-a)L_i \left[ \sum_{s=1}^n L_s \prod_{j=1}^{i-1} (L_j + 1) \right] \sum_{s=1}^n P_s \prod_{j=1}^{i-1} (L_j + 1) = \\ &= K(b-a)NL_i \sum_{s=1}^{i-1} p_s p_s \prod_{j=1}^{i-1} (L_j + 1). \end{aligned}$$

Аналогично индукции имеем:

$$|z_i - y_i^{(m)}| \leq K(b-a)N^{m-2}L_i \prod_{j=1}^{i-1} (L_j + 1) \sum_{s=1}^n P_s, \text{ где}$$

$$\sum_{s=1}^n P_s < n(N+1) \quad \text{и} \quad \prod_{j=1}^{i-1} (L_j + 1) < 2 \quad (i = 1, 2, \dots, n).$$

Так как  $N < 1$ , то  $\lim_{m \rightarrow \infty} |z_i - y_i^{(m)}| = 0$ , т. е.

$$0 = \lim_{m \rightarrow \infty} (r_i - y_i^{(m)}) = z_i - y_i.$$

Следовательно,  $z_i \equiv y_i$  ( $i = 1, 2, \dots, n$ ) при  $x \in [a, b]$ , и наше допущение о неединственности решения неверно. Теорема доказана.

При выполнении условия  $f_i(x, 0, 0, \dots, 0) = 0$  ( $i = 1, 2, \dots, n$ ) аналогично выше приведенному доказывается следующая

**Теорема 2.** Если выполнены условия 1), 2), 3) теоремы 1 и

$$B_{i,i} + \frac{\prod_{j=1}^{i-1} (L_j + 1)}{2 - \prod_{j=1}^n (L_j + 1)} \ll r_i, \text{ где}$$

$$B_1 = \sup_{a < x < b} \left| \int_{\xi_i}^x f_1(x, y_1^{(0)}, y_2^{(0)}, \dots, y_n^{(0)}) dx \right|,$$

$$B_i = \frac{L_i}{\sum_{s=1}^n B_s + \sum_{s=1}^n |y_s^{(0)}|}, \quad B = \sum_{s=1}^n B_s,$$

то справедливо утверждение теоремы 1.

Из теоремы 1 вытекает следующее

**Следствие.** Если:

1) функции  $f_i(x, y_1, y_2, \dots, y_n)$  ( $i = 1, 2, \dots, n$ ) непрерывны по всем аргументам в замкнутой области

$$R: a \ll x \ll b, y_1^{(0)} - r_1 \ll y_1 \ll y_1^{(0)} + r_1.$$

2) в области  $R$  функции  $f_i(x, y_1, y_2, \dots, y_n)$  ( $i = 1, 2, \dots, n$ ) удовлетворяют условиям  $|f_i(x, \bar{y}_1, \bar{y}_2, \dots, \bar{y}_n) - f_i(x, \bar{\bar{y}}_1, \bar{\bar{y}}_2, \dots, \bar{\bar{y}}_n)| \ll$

$\ll q^{2^i} \sum_{s=1}^n |\bar{y}_s - \bar{\bar{y}}_s|$  ( $i = 1, 2, \dots, n$ ), где  $(\bar{y}_1, \bar{y}_2, \dots, \bar{y}_n)$  и  $(\bar{\bar{y}}_1, \bar{\bar{y}}_2, \dots, \bar{\bar{y}}_n)$  суть две какие-нибудь системы значений, принадлежащих области  $R$  и  $0 < q < \frac{1}{2}$ .

$$3) B_1 + \frac{Bq^{2^i}}{1-2q} \ll r_i, \text{ где } B_i = M_i + \frac{q^{2^i}}{1-q} \sum_{s=1}^{i-1} M_{i-s},$$

$$M_i = \sup_{a < x < b} \left| \int_{\xi_i}^x f_i(x, y_1^{(0)}, y_2^{(0)}, \dots, y_n^{(0)}) dx \right| \quad (i = 1, 2, \dots, n), \quad B = \sum_{s=1}^n B_s,$$

то справедливо утверждение теоремы 1.

Легко проверить, что условие 3) теоремы 1 выполняется [3]. Пример. Рассмотрим систему

$$\begin{cases} \frac{dy_1}{dx} = \frac{1}{4} (y_1 + y_2), \\ \frac{dy_2}{dx} = \frac{1}{4} (y_1 - y_2). \end{cases}$$

и краевые условия  $y_1(0) = 1, y_2(1) = 1$ .

Применим выше методом для третьего приближения получим

$$y_1^{(3)}(x) = 1 + \frac{5909}{12288} x + \frac{1}{6} x^2 + \frac{63}{6144} x^3 + \frac{1}{3072} x^4 + \frac{1}{73728} x^6,$$

$$y_2^{(3)}(x) = \frac{90591}{98304} + \frac{335}{12288} x + \frac{5817}{98304} x^2 + \frac{1}{6144} x^3 +$$

$$+ \frac{63}{98324} x^4 + \frac{1}{2064384} x^7,$$

и, следовательно, при  $x \in [0, 1]$

$$\left| \frac{dy_1^{(3)}}{dx} - \frac{1}{4} (y_1^{(3)} + y_2^{(3)}) \right| < \frac{1}{2037},$$

$$\left| \frac{dy_2^{(3)}}{dx} - \frac{1}{4} (y_1^{(3)} - y_2^{(3)}) \right| < \frac{1}{1342}$$

Приведенные оценки в 6—8 раз точнее, чем оценки, даваемые методом последовательных приближений Пикара.

Задачу с краевыми условиями (2) можно рассмотреть и для систем дифференциально-функциональных уравнений [4]

$\frac{dy_i}{dx} = f_i(x, y_1(\varepsilon_{ii}(x), \dots, y_n(\varphi_{nn}(x)))$  ( $i = 1, 2, \dots, n$ ) вышеуказанным методом.

#### ЛИТЕРАТУРА

- Глебов Е. П., Потапенко А. А., Известия вузов. „Математика”, №5 (36), 1963, стр. 39—42.
- Скрипник В. П. Мат. сборник, 55(97): 4, 1961, стр. 449—472.
- Градштейн И. С., Рыжик И. М. Госиздат ф.-м. лит., М., 1963.
- Скрипник В. П. Мат. сборник, 62 (104): 4, 1963, стр. 385—397.

Институт математики  
Дагестанский государственный  
университет

Поступило 10. III 1964

Р. Г. Элиев, Э. Р. Эфendiев

Зејдел методунун бир сәрһәд мәсәләсинә тәтбиги

#### ХҮЛАСӘ

Мәгәләдә

$$\frac{dy_i}{dx} = f_i(x, y_1, y_2, \dots, y_n).$$

дифференциал тәнликләр үчүн системи чохнөгтәли сәрһәд мәсәләсинең бахылыры.

Зејдел методу васитәсилә ғојулмуш мәсәләнин варлыг вә јеканәлиji исbat едиләрәк көстәрилир ки, бу методун көмәји илә тапылан тәгреби һәлл ади ардычыл яхшилашма васитәсилә тапылан һәллдән даһа дәгиг олур.

МАТЕМАТИКА

А. С. ДЖАФАРОВ

ТЕОРЕМЫ ВЛОЖЕНИЯ КЛАССОВ ФУНКЦИЙ  
С ДИФФЕРЕНЦИАЛЬНЫМИ СВОЙСТВАМИ В НОРМАХ  
СПЕЦИАЛЬНЫХ ПРОСТРАНСТВ

(Представлено академиком АН Азербайджанской ССР З. И. Халиловым)

Исследование свойств функций многих действительных переменных с дифференциальными свойствами в нормах различных пространств, объединяемых под общим названием теорем вложения, помимо самостоятельного интереса для теории функций, имеет фундаментальное значение для математической физики и для некоторых вопросов приближенных методов анализа.

В обзорной работе С. М. Никольского [1] подробно изложены результаты по теореме вложения до 1962 г. Мы отметим лишь несколько слов относительно этого раздела.

Теоремы вложения берут свое начало от работ С. Л. Соболева и развиты затем В. И. Кондрашевым. В этих работах изучались функциональные пространства  $W_p^{(r)}(\Omega)$ .

В дальнейшем С. М. Никольский, впервые применяя аппарат конструктивной теории функций для нескольких иных, введенных им функциональных пространств (классов)  $H_p^{(r_1 \dots r_n)}$ , получил свои теоремы вложения. Исследования С. М. Никольского дали возможность ему самому и другим математикам применением аппарата конструктивной теории функций получить различные теоремы вложения. В этом направлении нужно отметить результаты О. В. Бесова [2] для введенных им функциональных пространств  $B_{p^0}^{(r_1 \dots r_n)}$ , которые при  $\theta = \infty$  совпадают с пространствами  $H_p^{(r_1 \dots r_n)}$  С. М. Никольского.

Прямые и обратные теоремы вложения в терминах этих пространств  $B_{p, \theta}^{(r_1 \dots r_n)}$  (как и для пространств  $H_p^{(r_1 \dots r_n)}$ ) образуют в некотором смысле замкнутую систему при  $1 \leq p \leq \infty$ ; для обобщенных пространств С. Л. Соболева  $W_p^{(r_1 \dots r_n)}(E_n)$  это (см. [3]) верно только при  $p = 2$ . Последнее обстоятельство и объясняет в значительной степени интерес, проявляемый к изучению пространств  $B_{p^0}^{(r_1 \dots r_n)}$  и его обобщений.

В самостоятельных и совместных работах В. П. Ильина, В. А. Солнникова, К. К. Головкина был получен ряд теорем вложений для функциональных классов, являющихся обобщением пространств  $B_{p^0}^{(r_1 \dots r_n)}$ .

Ниже приводится ряд теорем вложений для новых классов функций многих переменных, являющихся обобщениями классов  $B_{p^0}^{(r_1 \dots r_n)} = B_{p^0}^{(r)}$ , при этом рассматриваются некоторые общие весовые нормы.

Отметим, что общие теоремы вложения для норм, содержащих конкретный вес с другими свойствами, получены Л. Д. Кудрявцевым.

Результаты этой заметки доложены в апреле 1963 г. на конференции АН Азербайджанской ССР, посвященной 43-летию установления советской власти в Азербайджане, и составили часть нашего обзора доклада, сделанного на VII Всесоюзной конференции по теории функций комплексного переменного, проведенной в сентябре 1963 г. в Ростове-на-Дону.

Пусть  $m$ —натуральное число. Определим модуль гладкости порядка  $m$  относительно переменного  $x_i$  функций  $f \in L_{\bar{p}, \bar{q}, \varphi}$  (см. [5]) следующим образом:

$$\omega_{mx_i}(\delta; f)_{\bar{p}, \bar{q}, \varphi} = \sup_{|h| < \delta} \left\| \sum_{j=0}^m (-1)^{m-j} \binom{m}{j} f(\bar{x} + jhe_i) \right\|_{\bar{p}, \bar{q}, \varphi}, \quad (1)$$

где  $e_i$ —единичный вектор, направленный по оси  $x_i$ .

Пусть  $\psi(\delta)$  ( $0 < \delta < 1$ ) удовлетворяет ( $L_m$ ) условию С. М. Лозинского (см. [4]): Будем говорить, что  $f(x_1, \dots, x_n)$  принадлежит функциональному пространству  $B_{\bar{p}, \bar{q}, \varphi, 0}^{(r, \psi)}$ ,  $1 \leq r \leq \infty$  если она имеет обобщенные в смысле С. Л. Соболева—несмешанные производные

$$\frac{\partial^k f}{\partial x_i^k} (k = 0, 1, \dots, r; i = 1, 2, \dots, n),$$

принадлежащие классу  $L_{\bar{p}, \bar{q}, \varphi}$ , и при этом

$$\|f\|_{B_{\bar{p}, \bar{q}, \varphi, 0}^{(r, \psi)}} = \|f\|_{\bar{p}, \bar{q}, \varphi} + \sum_{i=1}^n M_{\bar{p}, \bar{q}, \varphi, 0}^{(\psi)} \left( \frac{\partial^r f}{\partial x_i^r} \right) < \infty,$$

где

$$M_{\bar{p}, \bar{q}, \varphi, 0}^{(\psi)}(F) = \begin{cases} \left[ \int_0^1 t^{-1} \psi^{-1}(t) \omega_{mx_i}^{(r)}(t, F)_{\bar{p}, \bar{q}, \varphi} dt \right]^{\frac{1}{r}}, & \text{если } 1 \leq r < \infty, \\ \sup_{0 \leq t \leq 1} \psi^{-1}(t) \omega_{mx_i}(t, F)_{\bar{p}, \bar{q}, \varphi}, & \text{если } r = \infty. \end{cases}$$

Теорема 1. Пусть  $f \in B_{\bar{p}, \bar{q}, \varphi, 0}^{(r, \psi)}$ ,  $\kappa$ —натуральное число, заданы, натуральные числа  $i_1, \dots, i_k$  ( $i_1 < i_2 < \dots < i_k \leq n$ ) и пусть для  $i$ , отличных от  $i_1, \dots, i_k$ , все  $x_i$  фиксированы

$$D^\lambda = \prod_{i=1}^n \frac{\partial^{\lambda_i}}{\partial x_i^{\lambda_i}}, \quad \lambda = \sum_{i=1}^n \lambda_i,$$

где  $\lambda_i$ —неотрицательные целые числа.

Далее пусть  $\mu$  — неотрицательное целое число,

$$1 \leq p_{ij} \leq p'_{ij}, 1 \leq q_{ij} \leq q'_{ij}, j = 1, \dots, k, \theta' \geq 0$$

$$x = r - \lambda - \mu - A - B,$$

$$A = \sum_{j=1}^k \left[ \alpha_j \left( \frac{1}{p_{ij}} - \frac{1}{p'_{ij}} \right) + \beta_j \left( \frac{1}{q_{ij}} - \frac{1}{q'_{ij}} \right) \right], \quad B = \sum_{\substack{i=1, i \neq i_j \\ j=1, \dots, k}}^n \frac{1}{\min(p_i, d_i)}$$

где  $\alpha_j$  и  $\beta_j$  числа, принимающие следующие значения:

$$\alpha_j = 1, \beta_j = 0, \text{ если } p_{ij} \leq q_{ij} \leq q'_{ij} \leq p'_{ij}$$

$$\alpha_j = 0, \beta_j = 1, \text{ если } q_{ij} \leq p_{ij} \leq p'_{ij} \leq q'_{ij}$$

$$\alpha_j = 1, \beta_j = 1 \text{ во всех остальных случаях.}$$

Если  $\Psi(\delta) = \delta^\alpha \psi(\delta)$  удовлетворяет  $(L_s)$  условию С. М. Лозинского и если

$$\|F\|_{\frac{\mu}{p_{ij}}, \frac{\varphi}{q_{ij}}, \varphi} = \left\| \left\{ \cdots \left\| \left\| \frac{F(\bar{x})}{\varphi(\bar{x})} \right\|_{p'_{ij}, q'_{ij}} \right\|_{p_{ij}, q_{ij}} \cdots \right\|_{p_{ik}, q_{ik}} \right\|_{p'_{ik}, q'_{ik}},$$

(здесь  $\|\cdot\|_{p_{ij}, q_{ij}}$  действует по переменному  $x_{ij}$ ), то после замены на множестве меры нуль существует (при  $k < n$  граничное значение в вышеуказанных фиксированных координатах)  $D^\lambda f$  и

$$\|D^\lambda f\|_{\frac{\mu}{p_{ij}}, \frac{\varphi}{q_{ij}}, \varphi, \theta'} \leq c \|f\|_{\frac{\mu}{p_{ij}}, \frac{\varphi}{q_{ij}}, \varphi, \theta},$$

где  $c$  не зависит от  $f$  и фиксированных координат, а  $B_{\frac{\mu}{p_{ij}}, \frac{\varphi}{q_{ij}}, \varphi, \theta'}$  определяется так же, как и выше, по переменным  $x_{ij}, j = 1, \dots, k$  относительно нормы  $\|\cdot\|_{\frac{\mu}{p_{ij}}, \frac{\varphi}{q_{ij}}, \varphi}$ .

Отметим, что теорема 1 при  $\theta = \infty$ , но при меньших ограничениях получена в [5]; при  $\theta = \infty$   $\psi(\delta) = M\delta^\alpha$  ( $0 < \alpha \leq 1$ )

$$p_i = q_i = p \quad i = 1, \dots, n, \quad p'_{ij} = q'_{ij} = p' \quad j = 1, \dots, k$$

еще раньше получена при  $\varphi = 1$  в [6], [7]; в случае  $\psi(\delta) = M\delta^\alpha$  ( $0 < \alpha \leq 1$ ),  $\varphi = 1$ ,  $p_i = q_i = p \quad i = 1, \dots, n$ ,  $k = n$ ,  $q'_i = p'_i = p' \quad i = 1, \dots, n$ ,  $p'_1 \geq p'_2 \geq \dots \geq p'_n = p$  доказана в недавно вышедшей из печати работе [8] С. М. Никольского, при

$$q_i = p_i \quad i = 1, \dots, n, \quad q'_{ij} = p'_{ij} \quad j = 1, \dots, k$$

теорема 1 содержится в одном результате (см. [9]), докладенном мной на 2-й Всесоюзной конференции по конструктивной теории функций, проведенной в октябре 1962 г. в г. Баку. Отметим также, что случай  $\theta' \geq 0$ ,  $\psi(\delta) = M\delta^\alpha$  ( $0 < \alpha \leq 1$ )  $p_i = q_i = p \quad i = 1, \dots, n$ ,  $p'_{ij} = q'_{ij} = p' \quad j = 1, \dots, k$ ,  $\varphi = 1$  является частным случаем одного результата О. В. Бесова [2] (см. также [10]). При  $p_i = q_i$  ( $i = 1, \dots, n$ )  $p'_i = q'_i = p_i$  ( $j = 1, \dots, k < n$ ) теорема 1 полностью обращается в смысле С. М. Никольского.

В [11] нами рассмотрена норма  $\|\cdot\|_{\frac{\mu}{n}, \frac{\varphi}{\Phi}, \varphi}$ , являющаяся обобщением нормы Орлича, где

$$n = n_1 + \dots + n_s \quad \tilde{\Phi} = (\phi_1, \dots, \phi_s).$$

Точно так же, как выше, заменяя норму  $\|\cdot\|_{\frac{\mu}{p}, \frac{\varphi}{q}, \varphi}$  через  $\|\cdot\|_{\frac{\mu}{n}, \frac{\varphi}{\Phi}, \varphi}$ , мы можем определить новый класс  $B_{\frac{\mu}{n}, \frac{\varphi}{\Phi}, \varphi, 0}^{(r, \psi)}$ .

Теорема 2. Пусть  $f \in B_{\frac{\mu}{n}, \frac{\varphi}{\Phi}, \varphi, 0}^{(r, \psi)}$ , где  $\phi_i(u)$  ( $i = 1, \dots, s$ ) такая  $N$ -

функция, что ее главная часть равна  $u^{p_{ij}} (\ln u)^{\alpha_j}$ ,  $k$ -натуральное число, заданы натуральные числа  $i_1, \dots, i_k$  ( $i_1 < \dots < i_k \leq s$ ) и пусть для  $i$ , отличных от  $i_1, \dots, i_k$ , все  $(x_i = (x_i^{(1)}, \dots, x_i^{(n)})$  фиксированы ( $\bar{x} = (\bar{x}^{(1)}, \dots, \bar{x}^{(s)})$ ),

$$D = \prod_{i=1}^n \frac{\partial \lambda_i}{\partial x_i^{\lambda_i}} \quad \lambda = \sum_{i=1}^n \lambda_i,$$

где  $\lambda_i$  — неотрицательные целые числа.

Далее, пусть  $\mu$  — неотрицательное целое число,  $1 \leq p_{ij} \leq p'_{ij} \leq \infty$ ,  $\theta' \geq 0$ ,

$$x = r - \lambda - \mu - \sum_{j=1}^k n_{ij} \left[ \frac{1}{p_{ij}} - \frac{1}{p'_{ij}} \right] - \sum_{\substack{i=1, i \neq i_j \\ j=1, \dots, k}}^n \frac{n_i}{p_i},$$

$$z_i = - \sum_{j=1}^k \tilde{\lambda}_{ij} \left\{ \frac{1}{p_{ij}} - \frac{1}{p'_{ij}} \right\} - \sum_{\substack{i=1, i \neq i_j \\ j=1, \dots, k}}^n \frac{\gamma_i}{p_i}.$$

Если  $\Psi(\delta) = \delta^\alpha \psi(\delta) \left( \ln \frac{1}{\delta} \right)^{\alpha_j}$  удовлетворяет  $(L_q)$  условию С. М. Лозинского и если:

$$\|F\|_{\frac{\mu}{p_{ij}}, \frac{\varphi}{q_{ij}}, \varphi} = \left\| \left\{ \cdots \left\| \left\| \frac{F(\bar{x})}{\varphi(\bar{x})} \right\|_{n_{ij} \phi_{i_j}} \right\|_{n_{ij} \phi_{i_1}} \cdots \right\|_{n_{ik} \phi_{i_k}} \right\|_{n_{ik} \phi_{i_k}},$$

(здесь  $\|\cdot\|_{n_{ij} \phi_{i_j}}$  действует по  $\bar{x}^{(i_j)}$ ), то после замены на множество меры нуль существует (при  $k < s$  граничное значение в вышеуказанных фиксированных координатах)  $D^\lambda f$  и

$$\|D^\lambda f\|_{\frac{\mu}{p_{ij}}, \frac{\varphi}{q_{ij}}, \varphi, \theta'} \leq c \|f\|_{\frac{\mu}{p_{ij}}, \frac{\varphi}{q_{ij}}, \varphi, \theta},$$

где  $c$  не зависит от  $f$  и фиксированных координат,  $\phi'_{ij}$  такая  $N$ -функция, что ее главная часть равна  $u^{p_{ij}} (\ln u)^{\alpha_j}$ ,  $c$  не зависит от фиксированных координат, а  $B_{\frac{\mu}{p_{ij}}, \frac{\varphi}{q_{ij}}, \varphi, 0}^{(r, \psi)}$  определяется так же, как и выше, по переменным  $\bar{x}^{(i_j)}$  ( $j = 1, \dots, k$ ) относительно нормы  $\|\cdot\|_{\frac{\mu}{p_{ij}}, \frac{\varphi}{q_{ij}}, \varphi, 0}$ .

Вышеуказанные теоремы получены при помощи рассуждений О. В. Бесова [2], используя свойства функций  $\psi$ , удовлетворяющих  $(L_m)$  условию С. М. Лозинского (см. [4]) и соответствующие прямые

теоремы о наилучшем приближении функций в указанных нормах посредством целых функций конечной степени теоремы 1 из работы [11], а также следующий результат.

**Теорема 3.** Если  $g(x_1, \dots, x_n) \in L_{\bar{p}, \bar{q}, \varphi}$  целая функция степени  $\leq v_1, \dots, v_n$  соответственно по  $x_1, \dots, x_n$ ,  $p'_k = (p_1, \dots, p_n)$ ,  $\bar{q}' = (q_1, \dots, q_n)$ , причем  $1 \leq p_k \leq p'_k \leq \infty$ ,  $1 \leq q_k \leq q'_k \leq \infty$ ,  $k = 1, \dots, n$ , то для  $\lambda > 0$

$$\|g\|_{\bar{p}, \bar{q}, \varphi} \leq c(\lambda) \prod_{k=1}^n (v_k + \lambda)^{\alpha_k \left( \frac{1}{p_k} - \frac{1}{p'_k} \right) + \beta_k \left( \frac{1}{q_k} - \frac{1}{q'_k} \right)} \|g\|_{\bar{p}, \bar{q}, \varphi} \quad (2)$$

где  $c(\lambda)$  не зависит от  $g$  и ее степеней  $v_1, \dots, v_n \geq 1$ , а  $\alpha_j$  и  $\beta_j$  числа принимающие для каждого  $j$  следующие значения:

$$\alpha_j = 1, \beta_j = 0, \text{ если } p_j \leq q_j \leq q'_j \leq p'_j$$

$$\alpha_j = 0, \beta_j = 1, \text{ если } q_j \leq p_j \leq p'_j \leq q'_j$$

$\alpha_j = 1, \beta_j = 1$ , во всех остальных случаях.

Отметим, что неравенство (2) остается в силе, если для некоторого  $k$ ,  $p'_k = q'_k = \infty$  в выражении  $\|g\|_{\bar{p}, \bar{q}, \varphi}$  можно опускать норму  $\|\cdot\|_{p'_k, q'_k}$ , оставляя соответствующую переменную  $x_k$  свободной, принимающей произвольное вещественное значение.

#### ЛИТЕРАТУРА

1. Никольский С. М. УМН, 16, вып. 5 (101), (1962), 63.
2. Бесов О. В. Труды МИАН им. В. А. Стеклова, 60, (1961), 42.
3. Слободецкий Л. Н. Ленинград. гос. пед. ин-т им. А. И. Герцена. Ученые записки физ.-матем. ф-та, (1958), 197, 54.
4. Баринов Н. К. и Стечкин С. Б. Тр. Московского матем. об-ва, 5, (1956), 483.
5. Джагаров А. С. Ученые записки АГУ им. С. М. Кирова, № 2, (1963).
6. Никольский С. М. Труды МИАН им. В. А. Стеклова, 38 (1951), 244.
7. Никольский С. М. Матем. сборн. 33 (75), 2 (1953), 261.
8. Никольский С. М. Сибирский матем. журнал, 3, № 6 (1962), 843.
9. Джагаров А. С. Изв. АН Азерб. ССР, сер. физ.-мат. и техн. наук, № 1 (1963).
10. Джагаров А. С. ДАН СССР, 142, № 3, (1962), 514.
11. Джагаров А. С. ДАН Азерб. ССР, 18, № 10, (1962), 3.

Институт математики и механики

Поступило 9. IV. 1964

Э. С. Чәфәров

Хүсуси фәзларын нормаларында дифференциал хассәләрә малик функсијалар синифләри учун дахилолма теоремләри

#### ХУЛАСӘ

Мәгаләдә С. М. Николски, О. В. Бесовун вә мүәллифин ујғун синифләринин үмумиләшмәләри олар яни  $B_{p, q, \varphi, 0}^{(r, \psi)}$  вә  $B_{p, \varphi, 0}^{(r, \psi)}$  синифләри дахил едилемәклә, буиларын һәр бирн үчүн дахилолма теоремләри исбатсыз верилер.

#### ОРГАНИЧЕСКАЯ ХИМИЯ

Д. Е. МИШИЕВ, М. М. ГУСЕЙНОВ, П. А. ПЕТРОСЯН

#### АЛКЕНИЛИРОВАНИЕ БЕНЗОЛА БУТАДИЕНОМ

(Представлено академиком АН Азербайджанской ССР М. Ф. Нагиевым)

В предыдущих исследованиях нами [1—3] были изучены реакции алкенилирования бензола, толуола, этилбензола, кумола и трех изомеров ксиола бутадиеном в присутствии 95%-ной серной кислоты. Показано, что при найденных условиях реакция алкенилирования вышеуказанных ароматических углеводородов протекает гладко, образуя соответствующие алкенилзамещенные ароматические углеводороды. Кроме того, в этих работах приводятся данные о расположении двойных связей и положении алкенильных групп в бензольном ядре.

Особый интерес представляет изучение реакции алкенилирования ароматических углеводородов в присутствии серной кислоты слабой концентрации, так как последняя является отходом ряда отраслей промышленности.

В настоящем сообщении приводятся данные по алкенилированию бензола бутадиеном в присутствии серной кислоты слабой концентрации.

#### ЭКСПЕРИМЕНТАЛЬНАЯ ЧАСТЬ

Состав исходных веществ, методика проведения опытов и анализ продуктов реакции были аналогичными ранее проведенной работе [1].

С целью получения максимального выхода целевого продукта было изучено: влияние различных параметров — температуры реакции, скорости подачи бутадиена, количества и концентрации серной кислоты.

В таблице приводятся экспериментальные данные исследования, а также состав полученных алкенатов.

В опытах 100, 101, 103 приводятся данные влияния скорости подачи бутадиена на процесс алкенилирования. Как видно из таблицы, при молярном соотношении  $C_6H_6 : C_4H_6 : H_2SO_4 = 4 : 1 : 1$  и температуре  $60^\circ C$ , в присутствии 70%-серной кислоты наиболее хороший выход фенил-1-бутена-2 достигается при скорости подачи бутадиена 5,6 л/час; в этом случае выход алкенилбензола составляет 18,8%, т. е. 50% в расчете на взятый бутадиен. Увеличение скорости подачи бутадиена выше указанного предела отрицательно влияет на протекание процесса. Далее было изучено влияние количества сер-

№ опыта	Характеристика	В л и я н и е										
		Скор. подачи $C_4H_6$ , л/ч		Кол-во $H_2SO_4$		Концентр. $H_2SO_4$ , %		Температура, °C				
100	101	103	104	101	105	106*	101	107	110	112	109	101
<b>Серная кислота, г</b>												
98	98	98	49	98	147	98	98	98	98	98	98	98
60	60	60	60	60	60	60	60	60	40	50	55	60
4:1:1	4:1:1	4:1:1	4:1:0,5	4:1:1	4:1:1,5	4:1:1	4:1:1	4:1:1	4:1:1,4	4:1:1,1	4:1:1,4	4:1:1,1
70	70	70	70	70	70	70	70	70	70	70	70	70
11,2	5,6	2,8	5,6	5,6	5,6	5,6	5,6	5,6	5,6	5,6	5,6	5,6
120	240	480	240	240	240	240	240	240	240	240	240	240
<b>Условия реакции:</b>												
$C_6H_6:C_4H_6:H_2SO_4$ , %	60	60	60	60	60	60	60	60	60	60	60	60
Концентр. $H_2SO_4$ , %	4:1:1	4:1:1	4:1:1	4:1:0,5	4:1:1	4:1:1,5	4:1:1	4:1:1	4:1:1,4	4:1:1,1	4:1:1,4	4:1:1,1
Скор. подачи $C_4H_6$ , л/ч	60	70	70	70	70	70	70	70	70	70	70	70
Продолжительн., мин	11,2	5,6	2,8	5,6	5,6	5,6	5,6	5,6	5,6	5,6	5,6	5,6
<b>Получено, г</b>												
до промывки	465	464	416	465	515	—	465	467	464	465	464	465
после промывки	360	355	355	360	355	—	355	350	360	359	360	355
<b>Фракционный состав, %</b>												
бензол	76,0	74,2	73,1	74,9	74,2	76,4	—	71,1	77,0	72,1	70,0	74,2
промежуточн. фракция	0,6	—	0,6	0,5	—	0,5	—	0,4	0,6	0,3	0,6	—
алкенилбензол №:	16,0	18,8	17,5	14,2	18,8	9,8	—	18,8	10,3	15,5	20	18,8
алкенату бутадиену	42,5	50	47	40	50	26	—	50	28	41	54,4	59
промеж. фракция	1,1	0,6	1,4	1,5	0,6	0,4	—	0,6	1,7	0,6	0,5	50
диалкенилбензол	0,2	0,6	1,0	0,9	0,6	0,5	—	0,6	0,6	0,7	0,9	0,6
остаток	4,0	4,3	5,3	4,3	5,0	1,0	—	4,3	14,4	4,5	5,0	3,9
потери	2,2	1,5	1,1	3,0	1,5	1,7	—	1,5	1,8	1,4	0,7	1,5

Примечание. Взято в реакцию, 2: бензола—312, бутадиена—54.

\* Наблюдается проскок бутадиена в количестве 50 г.

ной кислоты (см. опыты 104, 101 и 105), показавшее, что при увеличении количества серной кислоты от одного до полутора моляр уменьшается выход фенил-1-бутена-2 от 18,8 до 9,8% (что составляет в расчете на весь бутадиен от 50 до 26% и соответственно увеличивается выход остатка от 4,3 до 10,7%). Уменьшение же количества серной кислоты от 0,5 моля хотя и не изменяет выход остатка, однако выход целевого продукта падает до 40% по бутадиену. Таким образом, установлено, что максимальный выход фенил-1-бутена-2 наблюдается при молярном соотношении бензола к серной кислоте 4:1.

Опыты, проведенные с изменением концентрации серной кислоты (см. опыты 106, 101 и 107), показали, что в присутствии 60%-серной кислоты в вышеуказанных условиях реакция алкенилирования почти не протекает. При увеличении концентрации серной кислоты до 70% процесс алкенилирования резко изменяется, и полученный при этом алканат содержит в своем составе 50% фенил-1-бутена-2. Дальнейшее увеличение концентрации серной кислоты способствует увеличению выхода остатка от 4 до 14% и соответственно уменьшается выход целевого продукта от 50 до 28%. Таким образом установлено, что 70%-серная кислота является пригодной для получения максимального выхода алкенилбензола.

В процессе исследования изучено также влияние температуры на реакционную способность бензола (опыты 109, 101, 110 и 112). Результаты проведенных опытов показали, что максимальный выход фенил-1-бутена-2 получается при температуре 55°C.

В результате проведенных исследований установлено, что для получения максимального выхода фенил-1-бутена-2 оптимальными условиями являются: температура реакции 55°C, молярное соотношение  $C_6H_6:C_4H_6:H_2SO_4 = 4:1:1$ , концентрация серной кислоты 70% и подача бутадиена 5,6 л/час. При этом полученный алканат содержит в своем составе 21,9% (что составляет по бутадиену 59%) фенил-1-бутена-2.

#### ЛИТЕРАТУРА

- Мамедалиев Ю. Г., Гусейнов М. М., Мишиев М. Е., Петросян П. А. и Салимов М. А. "Азерб. хим. журнал", 1962, № 5. 2. Мамедалиев Ю. Г., Гусейнов М. М., Мишиев Д. Е., Петросян П. А. "Азерб. хим. журнал", 1963, № 4. 3. Мамедалиев Ю. Г., Гусейнов М. М., Мишиев Д. Е., Петросян П. А. "Азерб. хим. журнал", 1964, № 2.

Институт нефтехимических процессов

Поступило 20. II 1964

Д. Я. Мишиев, М. М. Гусейнов, П. А. Петросян

#### Бензолун дивинил илэ алкениллэшдирилмәси

#### ХУЛАСЭ

Эввәлки тәдгигатларымызда бензол вә онун тәрәмәләринин дивиниллә ѹуксәк гатылыглы сулфат туршусунун иштиракы илэ алкениллэшдирилмәси реаксијасы өјрәнилмишdir.

Бу ишдә мәгсәд ашағы гатылыглы сулфат туршусунун иштиракы илэ бензолун дивинил илэ алкениллэшдирилмәсидir.

Тәдгигатын иәтичәси кәстәрмишdir ки, бензол дивинил вә 70%-ли сулфат туршусунун иштиракы илэ алкениллэшдирилмә реаксијасына мә'рүз галыр.

Мүәјлән едилмишdir ки, 55°C температурда,  $C_6H_6:C_4H_6:H_2SO_4 = 4:1:1$  моляр иисбәттәнде сулфат туршусунун гатылыгы 70% вә дивиниллә верилмә сүр'ети 5,6 л/сан олдугда алынан алканатын тәркибиндә 21,9 %-ә гәдәр (дивиниле көрә 59%) фенил-1-бутен-2 олур.

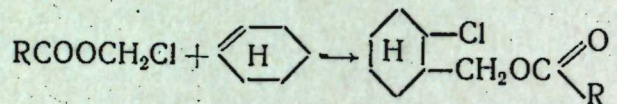
ОРГАНИЧЕСКАЯ ХИМИЯ

Б. Ф. ПИШНАМАЗЗАДЕ, Ф. А. МАМЕДОВ, Ш. Д. ГАСАНОВА,  
И. Г. ИСМАИЛЗАДЕ, Д. А. АКОПОВА

СИНТЕЗ И ИССЛЕДОВАНИЕ СВОЙСТВ ЭФИРОВ КАРБОНОВЫХ  
КИСЛОТ ГАММАГИДРООКСИМЕТИЛХЛОРЦИЛОГЕКСАНА

(Представлено академиком АН Азербайджанской СР СМ. Ф. Нагиевым)

Синтез эфиров карбоновых кислот гаммагидрооксиметилхлорцилогексана проводился в присутствии безводного хлористого цинка по ранее описанной методике (1–3).



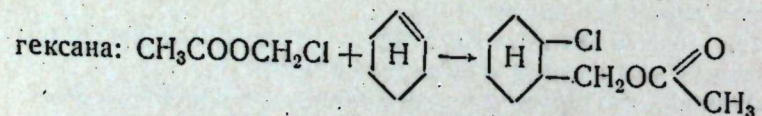
В литературе известна лишь одна работа К. Д. Неницеску и В. Присеметски [4] по синтезу эфира уксусной кислоты гаммагидрооксиметилхлорцилогексана на базе альфахлорметилового эфира уксусной кислоты и циклогексена при охлаждении водой с участием сероуглерода как растворителя.

В настоящей статье даются результаты исследования реакции синтеза ряда представителей эфиров карбоновых кислот гаммагидрооксиметилхлорцилогексана и снятия их спектров комбинационного расщепления.

ЭКСПЕРИМЕНТАЛЬНАЯ ЧАСТЬ

Синтез альфахлорметиловых эфиров карбоновых кислот осуществлен по ранее описанному методу [1], получение циклогексена изложено в [5], а приготовление безводного хлористого цинка дано в [6].

Синтез эфира уксусной кислоты гаммагидрооксиметилхлорцило-



гексана: В трехтубусную колбу, снабженную термометром, капельной воронкой и механической мешалкой, помещается 23 г циклогексена и 0,9 г свежеплавленного порошкообразного хлористого цинка и к ним добавляется с перемешиванием по каплям 30 г альфахлорметилового эфира уксусной кислоты.

Формула	Температура кипения, °С/мм	$n_D^{20}$	$d_4^{20}$	[P]	Элементарный анализ									
					найд.	вычисл.	С	Н	Cl					
	91–93/3	1,4820	1,1214	39,71	48,43	48,08	56,62	8,10	18,75	56,69	7,87	18,63		
	97–98/3	1,4770	1,0883	37,17	53,09	52,70	46,86	59,06	8,16	17,60	58,68	8,31	17,35	
	123–124/5	1,4745	1,0752	36,80	57,15	57,31	500,5	508,6	60,40	8,32	16,60	60,41	8,69	16,2
	130–132/3,5	1,4690	1,0427	36,12	62,15	61,94	546,7	548,6	62,30	9,17	15,62	61,93	9,03	15,27
	141–142/6	1,4670	1,0202	35,45	67,10	66,55	589,6	588,6	63,65	9,32	14,63	63,29	9,33	14,40
	139–143/4	1,4715	1,0150	34,82	71,80	71,17	623,5	628,6	64,62	9,30	13,20	64,49	9,60	13,62

Для избежания образования побочных продуктов реакционная смесь охлаждалась ледяной водой. После соответствующей обработки продукт реакции в количестве 45 г подвергался разгонке  $P=760\text{ mm}$ .

I фр.  $79-86^\circ - 8\text{ g}$  (циклогексен).

Остаток перегоняется при  $3\text{ mm}$  остаточного давления.

II фр.  $91-93^\circ - 28\text{ g}$

III фр.  $94-100^\circ - 2\text{ g}$

Остаток  $-4\text{ g}$

Потери  $-3\text{ g}$

Более подробно была исследована II фр. с темп. кип.  $91-93^\circ$  при  $3\text{ mm}$ , которая оказалась эфиром уксусной кислоты гаммагидрооксиметилхлорциклогексана со следующими константами:  $n_D^{20} = 1,4820$ ;  $d_4^{20} = 1,1214$ ;  $MR_{\text{найд.}} = 48,43$ ;  $MR_{\text{вычес.}} = 48,08$ , выход 62, 22%.

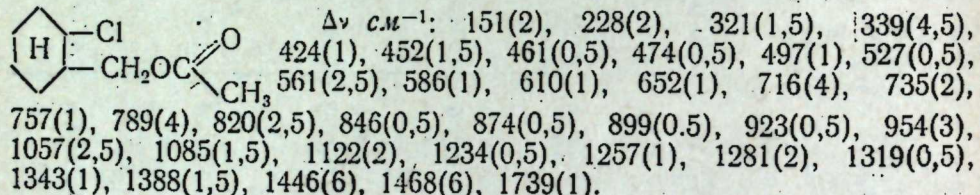
Аналогичным путем были синтезированы эфиры пропионовой, масляной, валериановой, капроновой и энантовой кислот гаммагидрооксиметилхлорциклогексана. Физико-химические константы синтезированных эфиров приведены в таблице.

### СПЕКТРЫ КОМБИНАЦИОННОГО РАССЕЯНИЯ ЭФИРОВ КАРБОНОВЫХ КИСЛОТ ГАММАГИДРООКСИМЕТИЛХЛОРЦИКЛОГЕКСАНА

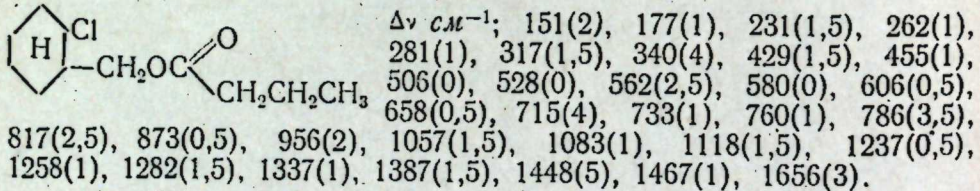
Спектры комбинационного рассеяния были получены фотографическим методом [7] на спектрографе с камерой  $270\text{ mm}$ . Для возбуждения спектров использовали ртутную линию  $4358\text{\AA}$ , которая была выделена стеклянным фильтром Hg-436.

Интенсивность спектральных линий оценена визуально на десятибалльной шкале. Ниже приводим полученные спектры комбинационного рассеяния синтезированных эфиров карбоновых кислот гаммагидрооксиметилхлорциклогексана.

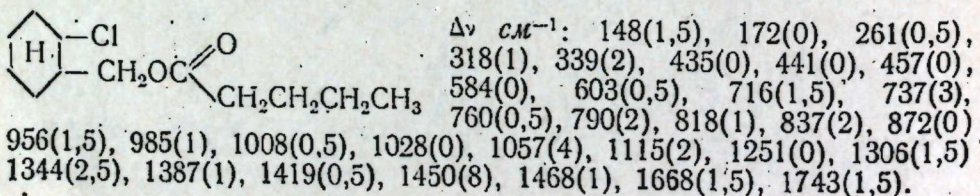
I. Эфир уксусной кислоты гаммагидрооксиметилхлорциклогексана



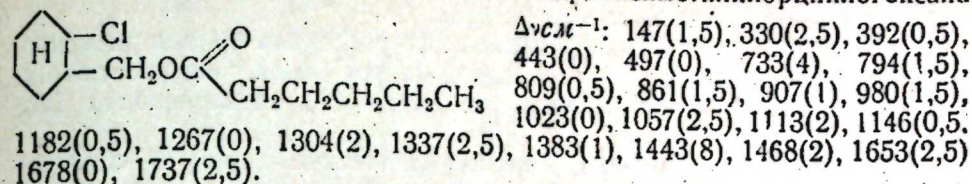
III. Эфир масляной кислоты гаммагидрооксиметилциклогексана



IV. Эфир валериановой кислоты гаммагидрооксиметилхлорциклогексана



### V. Эфир капроновой кислоты гаммагидрооксиметилхлорциклогексана



### Обсуждение результатов

В результате проведенного исследования установлено, что с увеличением молекулярного веса альфаалкорметиловых эфиров карбоновых кислот их реакционные способности снижаются, т. е. атом хлора становится менее подвижным, вследствие чего выход эфиров карбоновых кислот гаммагидрооксиметилхлорциклогексана уменьшается.

Изучение спектров показывает, что они полностью соответствуют молекулярным структурам, определенным на основе синтеза и определения других физико-химических констант полученных конечных продуктов: проявляются линии карбонильных групп  $C=O$  в области  $1650-1740\text{ см}^{-1}$  [8] и линии вторичной хлоруглеродной связи циклогексанового кольца в области  $560-740\text{ см}^{-1}$  и  $315-340\text{ см}^{-1}$  [9].

Во всех спектрах имеются более устойчивые характеристические линии циклогексанового кольца в области  $1000-1080$ ,  $1260$  и  $1350\text{ см}^{-1}$  [10]. Незначительная интенсивность линии  $1260\text{ см}^{-1}$ , видимо, связана с наличием карбоксильной группы в боковой цепи. Как видно из спектров первых двух эфиров (уксусной и масляной кислоты), замена метильной группы на и. пропильную, за исключением линий валентного колебания  $C=O$ , не приводит к существенному изменению их спектров. Характеристическая линия этой связи при этом изменяется как по частоте, так и по интенсивности, т. е. частота линии  $C=O$  связи уменьшается от  $1739$  до  $1656\text{ см}^{-1}$ , а интенсивность ее увеличивается почти втрое.

Дальнейшее увеличение молекулярного веса карбоновых кислот в исследуемом эфире приводит к исчезновению слабых линий в области  $500-650\text{ см}^{-1}$  и относительно интенсивной линии  $562\text{ см}^{-1}$ .

Наибольшая интенсивность, принадлежащая линии  $715\text{ см}^{-1}$  в спектрах уксусной и масляной кислот, с переходом от масляной к валериановой кислоте резко уменьшается, а при переходе на эфир капроновой кислоты вовсе исчезает.

В области валентного колебания  $C=O$  связи удлинение боковой цепи кислотного радикала на  $(CH_2)_3$  и больше приводит к появлению двух, трех линий в интервале  $1650-1740\text{ см}^{-1}$ .

Удлинение кислотного радикала отражается также и в постепенном уменьшении интенсивности линии  $790\text{ см}^{-1}$ , характерном постоянстве частоты для всех указанных соединений.

Следует отметить, что линии  $1057$  и  $1115\text{ см}^{-1}$ , которые постоянны для изученных соединений как по частотам, так и по интенсивностям, являются характерными для данного класса соединений, т. е. эфиров карбоновых кислот гаммагидрооксиметилхлорциклогексана.

### Выводы

1. Синтезированы и изучены физико-химические константы 6 представителей эфиров карбоновых кислот гаммагидрооксиметилхлорциклогексана, из которых 4 эфира получены впервые, а два другие [2] охарактеризованы наиболее полно. Установлено, что с увеличением

молекулярного веса альфахлорметиловых эфиров карбоновых кислот их реакционная способность снижается.

2. Получены спектры комбинационного рассеяния эфиров уксусной, масляной, валериановой и капроновой кислот гаммагидрооксиметилхлорциклогексана и определены их частоты и интенсивности (визуально).

3. Установлены наиболее характеристические линии в спектрах комбинационного рассеяния эфиров карбоновых кислот гаммагидрооксиметилхлорциклогексана и изменения, происходящие с удлинением кислотного радикала.

#### ЛИТЕРАТУРА

1. Пишиамаззаде Б. Ф., Гулиева Ш. Д. ДАН Азерб. ССР\*, 12, № 12, 895—900, 1956.
2. Мехтиев С. Д., Пишиамаззаде Б. Ф., Гасanova Ш. Д. Мамедова Р. М. ДАН Азерб. ССР\*, 15, № 12, 1115—1118, 1959.
3. Пишиамаззаде Б. Ф., Гасanova Ш. Д., Керимова Р. М. ДАН Азерб. ССР\*, 19, № 11, 23—28, 1963.
4. Neptzescu C. D., Prezemetzky V. Beg. 74B, 676—86, 1941; Bull. Soc. Chim Romania (2), 1, 133, 1939.
5. Мехтиев С. Д., Пишиамаззаде Б. Ф., Мамедова Р. М., Шихалиева Р. А. ДАН Азерб. ССР\*, 20, № 2, 1964.
6. Пишиамаззаде Б. Ф. Тр. Ин-та химии АН Азерб. ССР, т. 13, 61, 1954.
7. Ландсберг Г. С., Казанский Б. А., Бажулин П. А. и др. Определение инд. углеводородного состава бензинов прямойгонки комбинированным методом. Изд. АН СССР, М. 1959.
8. Колърауш К. Спектры комбинационного рассеяния. Изд. иностр. лит. М., 1952.
9. Мамедов Ф. А., Исмаилзаде И. Г., Алиев А. Ф., Мехтиев С. Д. ДАН Азерб. ССР\*, 19, № 7, 9, 1963.
10. Сущинский М. М. Спектры комбинационного рассеяния и строение углеродов. Докторская диссертация Тр. ФИАН СССР, 12, 54, 1960.

Институт нефтехимических процессов

Поступило 28. IV 1964

Б. Ф. Пишиамаззаде, Ф. А. Мамедов, Ш. Д. Насирова, И. Г. Исмаилзаде, Д. А. Акопова

#### Карбон туршуларынын гаммаидрооксиметилхлортсиклоңексан ефиirlәринин синтези вә хассәләринин тәдгиги

#### ХҮЛАСӘ

Эввәлки ишимиздә карбон туршуларынын гаммаидрооксиметилхлортсиклоңексан ефиirlәринин 2-нұмајәндәси синтез едилмиш вә физики-кимjәви сабитләри өjrәnilmiшdir. Бу ишдә исә карбон туршуларынын гаммаидрооксиметилхлортсиклоңексан ефиirlәринин дикәр нұмајәндәләри синтез едилмиш, физики-кимjәви сабитләри өjrәnilmiш вә комбинәли сәпилмә спектрләри чәкилмишdir.

Геjd-етмәк лазымдыр ки, комбинәли сәпилмә спектрләри синтез едилмиш маддәләrin көстәрилән молекулјар гурулуша малик олдугарыны бир даңа субут едир.

Мәгаләдә көстәрилir ки, карбон туршуларынын алфахлорметил ефиirlәринин молекула чәкиси артдыгча онларын реаксијақиrmә габилиjәти азалыр. Сиркә, јаf, валериан вә капрон туршуларынын гаммаидрооксиметилтсиклоңексан ефиirlәринин комбинәли сәпилмә спектрләринин тезлиji, интенсивлиji тә'жин едилмиш вә өjrәnilmiшdir.

Апарылмыш тәдгигат нәтичәсindә карбон туршуларынын гаммаидрооксиметилхлортсиклоңексан ефиirlәринин 6-јени нұмајәндәси (бунлардан 2-си эввәлки мәгаләмиздә дәрч едилмишdir) синтез олунмуш вә характеризә едилмишdir.

#### ОРГАНИЧЕСКАЯ ХИМИЯ

С. И. САДЫХ-ЗАДЕ, Р. СУЛТАНОВ, Б. А. МАМЕДОВА

#### ПРИСОЕДИНЕНИЕ ТРИОРГАНОСИЛАНОВ К ВИНИЛ-ЭТИНИЛ- $\alpha$ -ФУРИЛКАРБИНОЛУ

(Представлено академиком АН Азербайджанской ССР М. Ф. Нагиевым)

В литературе имеются многочисленные материалы, посвященные получению полимерных продуктов на основе фурановых соединений. Полимеризация алкенилфуранов может быть осуществлена как за счет кратных связей самого фуранового кольца, так и кратных связей боковой цепи.

Так, при полимеризации 1-( $\alpha$ -фурил)-бутадиена получен полимерный продукт, используемый в производстве лаков [1, 2].

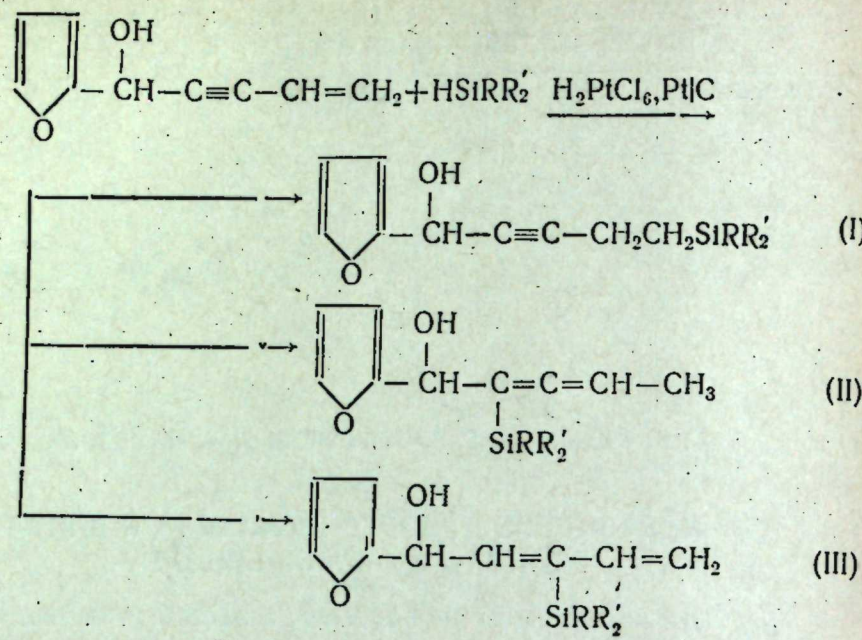
Представлялось интересным получение и исследование полимеризационных свойств диеновых соединений фуранового ряда, содержащих атом кремния.

В настоящей работе сообщаются результаты исследований в области синтеза кремнийсодержащих диеновых соединений фуранового ряда путем присоединения триалкилсиланов к винилэтинил- $\alpha$ -фурилкарбинолу.

Следует указать, что триалкилсиланы в присутствии платиновых катализаторов ( $H_2PtCl_6$  и Pt (C) не присоединяются в винилэтинил- $\alpha$ -фурилкарбинолу вследствие полимеризации последнего в условиях синтеза<sup>1</sup> (как показали ранее [3], триалкилсиланы легко присоединяются к аллил- $\alpha$ -фурилкарбинолу). Исключение составил лишь метилтетраметиленсилан, который легко присоединялся к вышеназванному карбинолу в условиях атмосферного давления в присутствии платины на угле (с содержанием Pt—20%). По-видимому, этот факт можно объяснить циклической структурой самого гидрида кремния. Однако, используя незначительное количество гидрохинона в качестве антиполимеризатора, нам все же удалось присоединить триалкилсиланы к винилэтинил- $\alpha$ -фурилкарбинолу в условиях атмосферного давления с выходом до 50% на взятые реагенты.

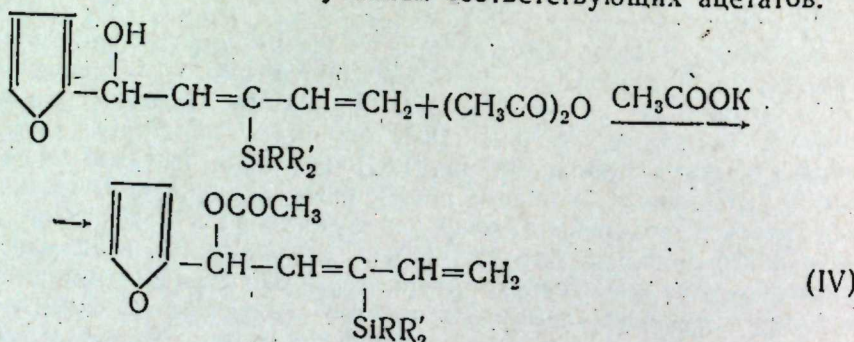
При взаимодействии гидридов кремния с винилэтинил- $\alpha$ -фурилкарбинолом можно полагать образование в основном 3 продуктов реакции:

<sup>1</sup> Указанная реакция не прошла даже в замкнутой системе.



При изучении спектров полученных аддуктов найдена интенсивная частота ( $1555 \text{ см}^{-1}$ ), характерная для диеновых углеводородов, и очень слабая частота ( $2195 \text{ см}^{-1}$ ), характерная для  $\text{C}\equiv\text{C}$  связи. Частоты, характерные для алленовых углеводородов, отсутствовали. Следовательно, триалкилсилильная группа присоединяется в указанных условиях к винилэтинил- $\alpha$ -фурилкарбинолу главным образом по схеме 3. Аналогичное направление реакции мы наблюдали в случае присоединения гидридов кремния к диметилвинилэтинилкарбинолу [4] и продукту его цианэтилирования [5], а также триалкилванилэтинилсиланам [6].

Реакционная способность гидроксильной группы в синтезированных соединениях доказана получением соответствующих ацетатов:

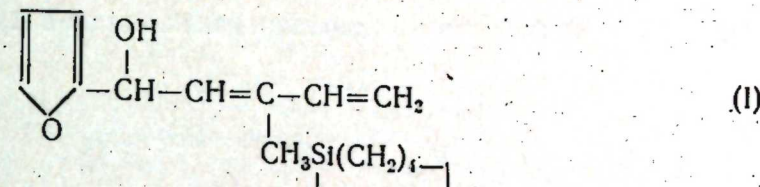


Предварительное исследование показало, что кремнийсодержащие диеновые углеводороды фуранового ряда в присутствии перекиси бензоила при температуре  $110-120^\circ\text{C}$  легко полимеризуются с образованием полимерных продуктов.

<sup>2</sup> Спектры синтезированных соединений сняты на приборе в лаборатории физико-химических исследований ИНХП АН Азерб. ССР, руководимой канд. хим. наук. И. Г. Исмаил-заде, за что авторы приносят благодарность.

## ЭКСПЕРИМЕНТАЛЬНАЯ ЧАСТЬ

### 1-( $\alpha$ -фурил)-3-метилтетраметиленсилилпентадиен-2,4-ол-1

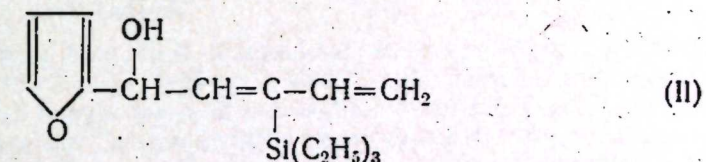


В колбу, снабженную обратным холодильником и термометром, поместили 20 г (0,136 м) винилэтинил- $\alpha$ -фурилкарбинола, 13,6 г (0,136 м) метилтетраметиленсилиана и Pt/C (с содержанием Pt~20%). Затем реакционную смесь кипятили 4 часа, при этом температура ее возросла от  $105^\circ$  до  $145^\circ\text{C}$ .

После отгона непрореагировавших компонентов вакуумной разгонкой выделено 15,4 г соединений [1]. Выход—50% на взятые реагенты. Т. кип.  $154-156/3 \text{ мм}$ ;  $n_D^{20} = 1,5430$ ;  $d_4^{20} = 1,0384$   $\text{MR}_{\text{днайл.}} = 75,40$ ,  $\text{MR}_{\text{двыч.}} = 75,04$ .

Найдено (в %): Si—11,12 C—67,60 H—7,85  
 $11,40$   $67,81$   $8,00$   
 $\text{C}_{14}\text{H}_{20}\text{SiO}_2$  вычислено (в %): Si—11,30 C—67,69 H—8,11.

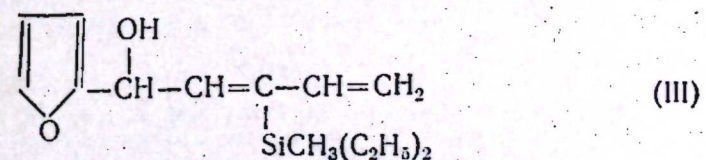
### 1-( $\alpha$ -фурил)-3 триэтилсилилпентадиен-2,4-ол-1



Смесь, состоящую из 20,72 г (0,14 м) винилэтинил- $\alpha$ -фурилкарбинола, 16,24 г (0,14 м) триэтилсилана, 0,02 г гидрохинона и 3 кап.  $\text{H}_2\text{PtCl}_6$  кипятили один час (конечная температура смеси  $174^\circ\text{C}$ ) и подвергли вакуумной разгонке. Выделено 18 г соединения (II). Выход—48,5% на взятые реагенты. Т. кип.  $135-136/1,5 \text{ мм}$ —

Найдено (в %): Si—10,27 C—68,17 H—9,35  
 $10,32$   $68,47$   $9,38$   
 $\text{C}_{15}\text{H}_{24}\text{SiO}_2$  вычислено (в %): Si—10,62 C—68,12 H—9,14  
 $\rightarrow n_D^{20} = 1,5202$ ;  $d_4^{20} = 0,9831$ ;  $\text{MR}_{\text{днайл.}} = 81,80$ ;  
 $\text{MR}_{\text{двыч.}} = 81,44$ .

### 1-( $\alpha$ -фурил)-3-метилдиэтилсилилпентадиен-2,4-ол-1

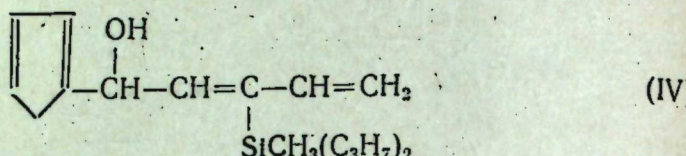


Получен по вышеописанной методике (II) из 17,52 г (0,1 м) винилэтинил- $\alpha$ -фурилкарбинола и 10,2 г (0,1 м) метилдиэтилсилана.

Т. кип.  $128-130/1 \text{ мм}$ ;  $n_D^{20} = 1,5202$ ;  $d_4^{20} = 0,9953$ .  $\text{MR}_{\text{днайл.}} = 76,62$ ;  $\text{MR}_{\text{двыч.}} = 76,93$ . Выход—48%.

Найдено (в %): Si—11,30 С—67,78 Н—8,46  
 11,34 67,91 8,86  
 $C_{14}H_{22}SiO_2$  вычислено (в %) Si—11,21 С—67,14 Н—8,85.

### 1-( $\alpha$ -фурил)-3 метилдипропилсилилпентадиен 2,4-ол-1



Получен в условиях синтеза (II) из 21,22 (0,14 м) винилэтинил- $\alpha$ -фурилкарбинола и 18,2 г (0,14 м) метилдипропилсилана.

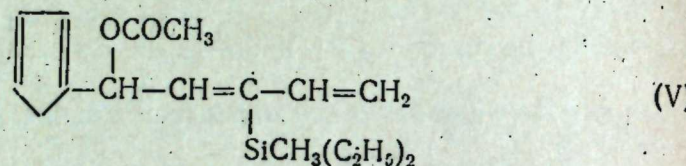
Т. кип. 142—144/1мм;  $n_D^{20}$  — 1,5108;  $d_4^{20}$  — 0,9655  $MR_D$  найд. — 86,37,  
 $MR_D$  выч. — 86,43. Выход — 42%.

Найдено (в %): Si—9,85 С—69,60 Н—9,27

10,00 69,31 9,32

$C_{16}H_{26}SiO_2$  вычислено (в %): Si—10,08 С—69,01 Н—9,41

### 1-( $\alpha$ -фурил)-1 ацетокси-3 метилдиэтилсилилпентадиен 2,4



В колбу, снабженную механической мешалкой и обратным холодильником, загрузили 26,8 г (0,104 м) 1-( $\alpha$ -фурил)-3 метилдиэтилсилилпентадиена 2,4-ол-1 (III), 4 г (0,04 м) измельченного уксусно-кислого калия, 15,6 г (0,156 м) уксусного ангидрида и 100 мл сухого бензола. Реакционную смесь перемешивали в течение 8 часов при температуре 60°C. После обычной обработки и сушки над безводным  $MgSO_4$  продукт реакции был подвергнут вакуумной разгонке и выделено 16 г соединения (V). Выход — 53%.

Т. кип. 121—122,5/1,5мм,  $n_D^{20}$  — 1,5149,  $d_4^{20}$  — 1,0240;  $MR_D$  найд. — 86,10  
 $MR_D$  выч. — 86,41

Найдено (в %): Si—9,33 С—65,96 Н—8,02

9,18 66,13 8,19

$C_{16}H_{24}SiO_3$  вычислено (в %): Si—9,60 С—65,71 Н—8,24

### Выводы

1. Изучена реакция присоединения гидридов кремния к винилэтинил- $\alpha$ -фурилкарбинолу в присутствии платиновых катализаторов  $H_2PtCl_6$ ,  $Pt/C$ . Установлено, что триорганосиланы присоединяются к указанному карбинолу главным образом по  $C\equiv C$  связи.

### ЛИТЕРАТУРА

1. Пат. США, 2, 194416; СА 34, 4839 (1940). 2. Нем. пат. 717171; С. А. 38, 2347, (1944). 3. Султанов Р., Мамедова Б. А., Садыхзаде С. И. Ученые записки АГУ (в печати). 4. Петров А. Д., Садыхзаде С. И. ДАН СССР, 129, 3, 584, (1959). 5. Петров А. Д., Садыхзаде С. И., Лагучева Е. С. Авторское свидетельство 132194 (1959). Бюлл. изобр., № 19, (1960). 6. Садыхзаде С. И. Докторская диссертация. ИОХ, М., 1961.

Институт нефтехимических процессов

С. И. Садыхзаде, Р. Султанов, Б. Э. Мамедова

### Триалкилсилиларны винилэтинил- $\alpha$ -фурилкарбинола бирләшдирилмәсі

### ХУЛАСЭ

Мәгәлә тәркибиндә силициум олан фуран сырасы дијен бирләшмәләринин синтезинә һәср едилмишdir.

Мүәллифләр тәрәфиндән илк дәфә олараг триалкилсилиларны винилэтинил- $\alpha$ -фурилкарбинола бирләшмә реаксијасы өјрәнилмишdir.

Мүәjjән едилмишdir ки, катализаторларын ( $H_2PtCl_6$ ,  $Pt/C$ ) иштирақы илә триалкилсилилар винилэтинил- $\alpha$ -фурилкарбиноолла әсас е'тибарилә үчтат ( $—C\equiv C—$ ) рабитәјә бирләширләр.

Алынан маддәләрин гурулушу, спектрал анализ јолу илә исбат едилмишdir.

ГЕОХИМИЯ

Г. Х. ЭФЕНДИЕВ, З. М. МАМЕДОВ, Ф. АГАЕВА

**К ГЕОХИМИИ СЕЛЕНА И ТЕЛЛУРА В МЕДНО-МОЛИБДЕНОВЫХ МЕСТОРОЖДЕНИЯХ**

Известно, что близость геохимических особенностей селена и теллура, а также серы обуславливают их совместное накопление в сульфидных комплексах.

Геохимия располагает достаточно обширными данными по вопросам геохимии селена и теллура в разнотипных сульфидных месторождениях [4, 5, 8, 9, 11, 12, 13]. В этом отношении некоторое исключение составляют месторождения медно-мolibденовых руд.

Наличие селена и теллура в рудах Парагачайского месторождения в виде селенидов и теллуридов (алтант, петцит, эвкайрит, умангит) было отмечено А. Г. Твалчрелидзе [10]. Однако, как справедливо отмечает Н. Д. Синдеева [9], достоверность диагностики этих минералов подлежит сомнению. В работе Н. А. Хрущова и других [11] рассматриваются, в частности, вопросы распределения селена и теллура в молибденовых месторождениях Советского Союза.

Вопросы закономерностей распределения указанных элементов в отношении Парагачайского месторождения и Гекгюндурского проявления впервые рассматриваются в настоящей работе.

Из штуфных проб, отобранных из различных глубин указанных месторождений, были выделены мономинеральные пробы пирита, молибденита, халькопирита, сфалерита и галенита. Селен и теллур были определены по методу Г. А. Блюма [3], чувствительность которого составляет 0,0005%, а точность определения  $\pm 25\%$ .

Ниже приводятся полученные результаты по отдельным месторождениям.

Парагачайское месторождение [1, 2] представляет среднетемпературное жильное медно-молибденовое месторождение, руды которого сложены из халькопирита, молибденита, и пирита, которым в качестве второстепенных составных частей, а также примесей, сопутствуют многие минералы [7, 10].

Формирование месторождения, по нашим представлениям, происходило в шести следующих последовательных стадиях минерализации: 1) кварц-магнетитовая 2) кварц-пиритовая; 3) кварц-молибденитовая; 4) кварц-молибденит-халькопиритовая; 5) халькопиритовая и 6) карбонатная. Отбор мономинеральных проб рудных минералов для

анализа на селен и теллур производился с учетом перечисленных стадий минерализации.

На Гекгюндурском рудопроявлении [2] рудные минералы в убывающем порядке представлены пиритом, молибденитом, халькопиритом и рядом минералов-примесей.

Данные анализов главных сульфидных минералов на селен и теллур приведены в табл. 1. Как видно, селен присутствует во всех сульфидных минералах, что дает основание считать его типоморфным. Максимальная концентрация селена приурочена к молибденитам, в которых содержание его колеблется в довольно широких интервалах. Далее, по признаку уменьшения содержания селена следуют халькопириты, пириты, сфалериты и галениты.

Характер распределения селена в процессе рудообразования свидетельствует о том, что основная масса селена была сконцентрирована в средних, т. е. кварц-молибденитовых и кварц-молибденит-халькопиритовых стадиях минерализации. Для этих стадий главные рудные минералы (молибденит и халькопирит) являются основныминосителями селена.

Содержание селена в минералах возрастает от высокотемпературных (в данном случае пирит) в сторону среднетемпературных (молибденит, халькопирит), а затем, понижаясь, становится минимальным в сфалеритах и галенитах. Среди различных разностей молибденита в изученном месторождении максимальное содержание селена было обнаружено в крупночешуйчатых молибденитах. Селен обнаружен также во вторичных минералах — в лимоните и ярозите.

Теллур, в отличие от селена, в главных рудных минералах за редкими исключениями распределен почти равномерно. Наибольшее колебание содержания его характерно для молибденитов и халькопиритов. По содержанию теллура молибдениты Гекгюндурского проявления несколько уступают Парагачайским.

Как следует из табл. 1, подобно селену, теллур присутствует во всех стадиях рудоотложения, однако он проявляет тенденцию к увеличению от ранних стадий минерализации к поздним, что, очевидно, связано с большой величиной радиуса его двухвалентного иона, обуславливающей накопление теллура в остаточных гидротермах, в ходе кристаллизации минералов и понижения температуры.

В табл. 2 приводятся сравнительные данные о содержании селена и теллура в минералах главнейших медно-молибденовых месторождений Малого Кавказа, пространственно и генетически связанных с единными гранитоидными интрузиями Памбак-Зангезурской рудной провинции.

Как видно из табл. 2, оба элемента присутствуют в рудах всех медно-молибденовых месторождений. Причем селен во всех этих месторождениях значительно преобладает над теллуром, и его максимальные концентрации приурочены к молибденитам и халькопиритам. В остальных минералах, за исключением пиритов Каджаракского месторождения, селена значительно меньше. С другой стороны, в одинаковых минералах рассматриваемых месторождений содержание селена и теллура почти одинаково.

**Выводы**

1. Селен и теллур являются характерными элементами-примесями минералов Парагачайского и Гекгюндурского месторождений. Максимальное содержание селена характерно для молибденитов, а теллура, наряду с молибденитами, и для халькопиритов и пиритов.

Таблица 1

Среднее содержание селена и теллура по отдельным минералам, а также стадиям минерализации

Месторождения и стадии минерализации	Название минералов	Количество определений	Содержание, г/т						Среднее содержание по отдельным стадиям			Se : Te	
			Se			Te			от	до	средн.		
			от	до	средн.	от	до	средн.					
Кварц-пиритовая	Пирит	6	8	158	40	23	62	33	40	33	33	1,2	
Кварц-молибденитовая	Пирит Молибденит	14	— 39	210 604	— 361	— 5	5 68	5 26	353	26	4,2	1,4	
Кварц-молибденит-халькопиритовая	Пирит Молибденит Халькопирит	3 16 3	8 9 148	64 630 230	27 291 185	18 7 18	62 180 46	40 53 33	289	44	0,7	5,5	
Халькопиритовая	Халькопирит Сфалерит Галенит	2 3 1	54 9 —	368 32 18	211 19 —	5 5 —	180 15 —	58 8 —	83	50	36	5,6	
<i>Лекарственное сырье</i>									15	—	—	2,2	
<i>Лекарственное сырье</i>									—	—	—	1,2	
<i>Лекарственное сырье</i>									—	—	—	—	
<i>Лекарственное сырье</i>									—	—	—	—	
<i>Лекарственное сырье</i>									—	—	—	—	
<i>Лекарственное сырье</i>									—	—	—	—	
<i>Лекарственное сырье</i>									—	—	—	—	
<i>Лекарственное сырье</i>									—	—	—	—	
<i>Лекарственное сырье</i>									—	—	—	—	
<i>Лекарственное сырье</i>									—	—	—	—	
<i>Лекарственное сырье</i>									—	—	—	—	
<i>Лекарственное сырье</i>									—	—	—	—	
<i>Лекарственное сырье</i>									—	—	—	—	
<i>Лекарственное сырье</i>									—	—	—	—	
<i>Лекарственное сырье</i>									—	—	—	—	
<i>Лекарственное сырье</i>									—	—	—	—	
<i>Лекарственное сырье</i>									—	—	—	—	
<i>Лекарственное сырье</i>									—	—	—	—	
<i>Лекарственное сырье</i>									—	—	—	—	
<i>Лекарственное сырье</i>									—	—	—	—	
<i>Лекарственное сырье</i>									—	—	—	—	
<i>Лекарственное сырье</i>									—	—	—	—	
<i>Лекарственное сырье</i>									—	—	—	—	
<i>Лекарственное сырье</i>									—	—	—	—	
<i>Лекарственное сырье</i>									—	—	—	—	
<i>Лекарственное сырье</i>									—	—	—	—	
<i>Лекарственное сырье</i>									—	—	—	—	
<i>Лекарственное сырье</i>									—	—	—	—	
<i>Лекарственное сырье</i>									—	—	—	—	
<i>Лекарственное сырье</i>									—	—	—	—	
<i>Лекарственное сырье</i>									—	—	—	—	
<i>Лекарственное сырье</i>									—	—	—	—	
<i>Лекарственное сырье</i>									—	—	—	—	
<i>Лекарственное сырье</i>									—	—	—	—	
<i>Лекарственное сырье</i>									—	—	—	—	
<i>Лекарственное сырье</i>									—	—	—	—	
<i>Лекарственное сырье</i>									—	—	—	—	
<i>Лекарственное сырье</i>									—	—	—	—	
<i>Лекарственное сырье</i>									—	—	—	—	
<i>Лекарственное сырье</i>									—	—	—	—	
<i>Лекарственное сырье</i>									—	—	—	—	
<i>Лекарственное сырье</i>									—	—	—	—	
<i>Лекарственное сырье</i>									—	—	—	—	
<i>Лекарственное сырье</i>									—	—	—	—	
<i>Лекарственное сырье</i>									—	—	—	—	
<i>Лекарственное сырье</i>									—	—	—	—	
<i>Лекарственное сырье</i>									—	—	—	—	
<i>Лекарственное сырье</i>									—	—	—	—	
<i>Лекарственное сырье</i>									—	—	—	—	
<i>Лекарственное сырье</i>									—	—	—	—	
<i>Лекарственное сырье</i>									—	—	—	—	
<i>Лекарственное сырье</i>									—	—	—	—	
<i>Лекарственное сырье</i>									—	—	—	—	
<i>Лекарственное сырье</i>									—	—	—	—	
<i>Лекарственное сырье</i>									—	—	—	—	
<i>Лекарственное сырье</i>									—	—	—	—	
<i>Лекарственное сырье</i>									—	—	—	—	
<i>Лекарственное сырье</i>									—	—	—	—	
<i>Лекарственное сырье</i>									—	—	—	—	
<i>Лекарственное сырье</i>									—	—	—	—	
<i>Лекарственное сырье</i>									—	—	—	—	
<i>Лекарственное сырье</i>									—	—	—	—	
<i>Лекарственное сырье</i>									—	—	—	—	
<i>Лекарственное сырье</i>									—	—	—	—	
<i>Лекарственное сырье</i>									—	—	—	—	
<i>Лекарственное сырье</i>									—	—	—	—	
<i>Лекарственное сырье</i>									—	—	—	—	
<i>Лекарственное сырье</i>									—	—	—	—	
<i>Лекарственное сырье</i>									—	—	—	—	
<i>Лекарственное сырье</i>									—	—	—	—	
<i>Лекарственное сырье</i>									—	—	—	—	
<i>Лекарственное сырье</i>									—	—	—	—	
<i>Лекарственное сырье</i>													

2. Основная масса селена в Парагачайском месторождении сконцентрирована в минералах средних стадий минерализации, теллур же проявляет склонность к накоплению в более поздних стадиях.

3. Почти во всех исследованных молибденитах селен преобладает над теллуром.

4. Поскольку специальные минералогические исследования не подтвердили наличие в изученных рудах минералов селена и теллура, можно предполагать, что оба элемента в минералах присутствуют в виде изоморфных примесей.

## ЛИТЕРАТУРА

1. Азизбеков Ш. А. Геология Нахичеванской АССР. М., 1961.
2. Абдуллаев Р. Н. и др. Металлогения Азербайджана. Баку, 1962.
3. Блюм Г. А. Химические, физико-химические и спектральные методы исследования руд редких и рассеянных элементов. М., 1961.
4. Гармаш А. А., Курбанова Н. З. Селен и теллур в рудах Золотушинского месторождения. Тр. Ин-та мин., геохим. и кристаллохим. редких элементов АН СССР, вып. 10, М., 1963.
5. Зейнуллин Г. Г. О некоторых закономерностях распределения селена и теллура в медно-никелевых рудах Норильского района. Тр. Ин-та мин., геохим. и кристаллохим. редких элементов АН СССР, вып. 2, М., 1959.
6. Магакьян И. Г., Мкртычян С. С., Пиджян Г. О. Условия образования и размещения медно-молибденовых месторождений Армянской ССР. В кн. «Закономерности размещения полезных ископаемых», т. V, 1962.
7. Мамедов З. М., Эфендиев Г. Х. О новых минералах Парагачайского месторождения. ДАН Азерб. ССР, № 10, 1963.
8. Нечелюстов Н. В. и др. Селен и теллур в свинцово-цинковых месторождениях Алтын-Топканского рудного поля. Тр. Ин-та мин., геохим. и кристаллохим. редких элементов АН СССР, вып. 10, 1963.
9. Сиднеева Н. Д. Минералогия, типы месторождений и основные черты геохимии селена и теллура. М., 1959.
10. Твальчелидзе Г. А. Парагачайское медно-молибденовое месторождение. Сов. геол. 29, 1948.
11. Хрушко Н. А. и др. Распределение рения, селена и теллура в молибденовых месторождениях Советского Союза. «Минер. сырье», вып. I, 1960.
12. Шербина В. В. Основные черты геохимии теллура. Изв. АН СССР, сер. геол., № 5, 1937.
13. Юшкозахарова О. Е. К геохимии селена и теллура в медно-никелевых месторождениях. Тр. Ин-та мин., геохим. и кристаллохим. редких элементов АН СССР, вып. 10, 1963.

Институт химии

Поступило 23. VI 1964

Н. Х. Эфендиев, З. М. Мэммэдов, Ф. Агаева

Мис-молибден јатагларында селен вә теллурун қеокимјасына даир

## ХУЛАСЭ

Мәгаләдә Парагачај вә Көјүндүр јатагларында селен вә теллурун пајланмасынын ганунаујғунлугуну ашкар етмәк мәгсәдилә һәр ики јатагы мұхтәлиф һоризонтларындан вә саңәләриндән көтүрүлмүш нұмнәләрдән айрылан пирит, молибденит, халкопирит, сфалерит, галенит вә с. минералларда селен вә теллур тә'жин едилмишdir.

Мүәjjән едилмишdir. ки, селенин ән йүксәк мигдары ( $8-630 \text{ г/т}$ ) молибденитлә әлагәдардыр. Галан минераллар селенин мигдарынын азалмасы әламәтинә көрә ашағыдақы сырда дүзүлә биләр—халкопирит, пирит, сфалерит вә галенит. Селенин ән йүксәк мигдары минераллашма просесинин орта мәріләләринә уйғун көлир; теллур исә эсас филиз минералларында бәрабәр мигдарда јаялмышдыр вә селендән фәргли оларaq минераллашманын сон мәріләләриндә топланыр.

АЗЭРБАЙЧАН ССР ЕЛМЛӘР АКАДЕМИЈАСЫНЫН МӘРҮЗӘЛӘРИ  
ДОКЛАДЫ АКАДЕМИИ НАУК АЗЕРБАЙДЖАНСКОЙ ССР

ТОМ XXI

№ 2

1965

## ГЕОЛОГИЯ НЕФТИ И ГАЗА

А. А. ЯКУБОВ, Ф. Г. ДАДАШЕВ, Ф. С. МАГЕРРАМОВА

## ИЗВЕРЖЕНИЕ ГРЯЗЕВОГО ВУЛКАНА АЙРАНТЕКЯН

В последние годы наблюдается активизация грязевулканической деятельности в пределах юго-восточного погружения Большого Кавказа.

17 июня 1964 г. произошло извержение грязевого вулкана Агзевир, а в ночь с 6 на 7 октября бурильщик треста «Азнефтерразведка» Гасанага Алекперов сообщил по телефону о взрыве и воспламенении газа на вершине горы. Произошло извержение грязевого вулкана Айрантекян.

Грязевой вулкан Айрантекян является одной из высот Алятской гряды и находится на расстоянии 82 км от г. Баку. Этот вулкан был изучен и описан И. М.-Губкиным, А. А. Якубовым, Г. А. Ахмедовым, С. В. Ковалевским и М. М. Зейналовым.

В геологическом строении района принимают участие третичные и мезозойские отложения, среди которых породы продуктивной толщи, акчагыльского и ашшеронского ярусов обнажаются на поверхности.

В тектоническом отношении район расположения вулкана представляет собой асимметричную антиклинальную складку, СЗ—ЮВ простирация с крутым юго-западным ( $60-70^\circ$ ) и пологим ( $20-25^\circ$ ) северо-восточным крылом.

Складка осложнена крутым продольным разрывом, в результате чего отложения продуктивной толщи пришли в контакт с отложениями среднего Ашшерона. В центральной части структуры развиты тектоническая и сопочная брекчии, мощность последней достигает 500—600 м.

Наличие останцев древнего кратерного вала в северо-восточной части вершины вулкана и признаков оседания сопочного покрова позволяет определить местоположение древнего кратера вулкана. Последний вытянут в виде эллипса меридионального направления, размером  $100 \times 150$  м и разбит треугольниками различного размера и направления. А. А. Якубов при посещении вулкана в 1938—1940 гг. встретил несколько сопок, выделяющих газ, грязь и воду.

Позднее, недавними исследованиями (М. М. Зейналов) обнаружено около 70 сопок, сальз и грифонов, выделяющих газ, грязь и воду с пленками нефти.

При исследовании старого кратерного поля среди пород третичного возраста обращало на себя внимание наличие многочисленных обломков нефтеносного песчаника продуктивной толщи.

Об извержениях грязевого вулкана Айрантекян никаких сведений в литературе не приводится, поэтому описание последнего извержения представляет значительный интерес. Очевидцы, работники буровой, расположенной на юго-западном склоне грязевого вулкана, и жители кочевки Ханалы рассказывают: 6 октября с. г. в 23 ч 30 мин московского времени со стороны вершины горы послышался глухой подземный гул, который моментально сменился взрывом, и над горой поднялся столб пламени высотой 100—150 м (по определению работников разведки). Окрестность вулкана на расстоянии 10—15 км была освещена ярким светом. По форме пламя, расширяющееся сверху, имело вид перевернутого конуса. Поднявшийся ввысь столб пламени не ослабевал в течение 20—30 мин. Окружающая температура повысилась настолько, что около буровой, расположенной на расстоянии 1 км от центра извержения, трудно было дышать. Через 20—30 мин после начала извержения высота пламени сократилась до 90—100 м. Высокая температура вокруг вулкана снизилась. Пламя приняло ровные формы. Если в начале извержения пламя имело беловатый оттенок, то сейчас оно несколько потемнело, появились клубы черного дыма. Вместе с горящим газом вулкан начал выбрасывать сопочную брекцию.

Выбросы сопочной брекции сопровождались уменьшением размера пламени. К 4—5 часам утра 7 октября интенсивность извержения грязевого вулкана намного сократилась. Высота пламени составляла 10—20 м, периодически сокращаясь до 5—2 м.

При посещении грязевого вулкана 8, 10 и 21 октября сотрудниками Института геологии АН Азербайджанской ССР на юго-востоке от древнего кратера грязевого вулкана располагалось поле свежей сопочной брекции (рис. 1).

Проведенная глазомерная съемка поля излившейся сопочной брекции позволила установить, что центр извержения — его кратер, диаметром 250—450 м, располагается в северо-западной части. В настоящее время последний вырисовывается опусканием рельефа, в низшей точке которого на площади 3×10 м располагается горящий выход газа. Высота пламени при достигала 1,5—2 м (рис. 2).

Рис. 1. Поле сопочной брекции извержения 1964 г.

1 — поле сопочной брекции; 2 — древний кратер грязевого вулкана; 3 — трещины; 4 — останец кратерного вала; 5 — действующие грифоны и сальзы.

первом посещении вулкана 8 октября Ко времени второго посещения она сократилась до 0,5 м и сохранилась такой же при посещении вулкана 21 октября.

На расстоянии 500—600 м в северном направлении от вновь образованного кратера поверхность земли была обожжена и имела черно-коричневый цвет, а поверхность вновь излившейся сопочной брекции — красновато-бурый. Многие кусты растительности были обожжены со стороны, обращенной к кратеру вулкана. Это говорит о высокой температуре пламени. Судя по оплавленной сопочной брекции у выхода

горящего газа, а также в результате термической обработки сопочной брекции старшим научным сотрудником института М. А. Мамедовым, температура, по-видимому, достигала 1200—1400°. Обжиг поверхности земли произошел, вероятно, в первый момент извержения, так как на окраинах поля сопочной брекции можно наблюдать перекрытие ее обгорелой поверхности земли.



Рис. 2

Выделение горящего газа происходило из многих трещин, окружающих сопочное поле. Так, вдоль многих трещин, расположенных на юго-западных склонах вулкана, можно наблюдать обгоревшую поверхность земли.

В центральной части кратера извержения в сопочной брекции наблюдаются многочисленные луники и ямы разнообразной формы от круглых до прямоугольной формы. Глубина их при диаметре 30—200 см изменяется от 20—30 см до 80—100 см. Образовались они в результате падения обломков пород в жидкую сопочную брекцию.

От кратера извержения по склонам возвышенности стекают языки сопочной брекции. Наиболее крупные языки приурочиваются к 4 оврагам на юго-западном склоне возвышенности. Длина наиболее крупного из них равна 1600—1800 м при ширине 30—50 м (рис. 4). На склонах, в верхней части оврага, до высоты 5—7 м наблюдаются натеки сопочной брекции, которые были связаны с интенсивной скоростью поступления сопочной брекции и медленным сползанием по дну оврага. Остальные языки несколько короче описанного. Небольшой, но широкий язык стекает и в юго-восточном направлении. Длина его 400—450 м, ширина 200—250 м. Излившаяся сопочная брекция занимает площадь в 175000 м<sup>2</sup>, что при мощности 2—6 м (в среднем 4 м) составляет объем порядка 700000 м<sup>3</sup>. Если учесть, что удельный вес сопочной брекции 2,2, то последняя по весу составляет 1540 000 т.

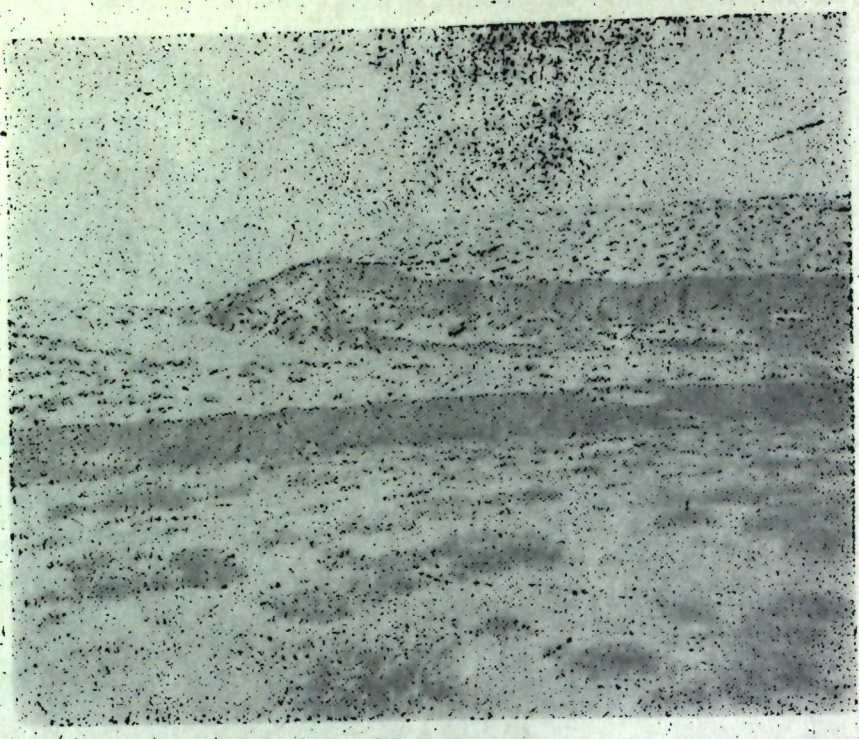


Рис. 3



Рис. 4

Как в пределах, так и за границами поля сопочной брекции отмечаются трещины и разрывы (рис. 3, 5). Наиболее крупные из них располагаются у юго-восточного языка сопочной брекции.

Здесь у его основания на южной стороне располагаются наиболее крупные разрывы, по которым сопочная брекция испытала ступенчатое

опускание в северо-восточном направлении. Амплитуда наиболее крупного западного разрыва достигает 2 м при зиянии до 0,5—0,7 м.

Не менее интенсивная раздробленность наблюдается к северо-западу от древнего кратерного поля, где находятся многочисленные сопки и сальзы. Наблюдаемые здесь трещины располагаются в двух направлениях. Одно из них северо-запад — юго-восточное и другое примерно меридиональное. Во втором случае трещины характеризуются большими величинами зияния и в некоторой степени оконтуриваются с северо-запада древнее кратерное поле. Образовавшиеся трещины в ряде случаев разрушили сопки высотой до 1 м.

Интересно отметить образование во время извержения концентрической трещины, оконтуривающей с северо-востока старое кратерное поле вулкана.

На всей поверхности грязевого поля в излившейся сопочной брекции присутствует большое количество выбросов твердых пород различной величины — от нескольких сантиметров до 1 м. Среди последних встречаются довольно крупные обломки пород, достигающие  $0,5 \times 0,8 \times 1,3$  м. Небольшое число обломков пород и комков грязи наблюдается за краем грязевого поля.

Из сопочной брекции грязевого вулкана были собраны многочисленные образцы пород третичного и мезозойского возраста. Среди пород третичного возраста наиболее широким развитием пользуются образцы продуктивной толщи. Они представлены многочисленными обломками песчаника, в большинстве случаев пропитанными нефтью, которая коричневыми пятнами выступает на поверхности образцов. Песчаники от серого до бурого цвета, мелко- и среднезернистые, с небольшим количеством зерен кварца и включением миллиметровых черных зерен. Ряд образцов кипит в соляной кислоте. Вместе с описанными в сопочной брекции были найдены книжные сланцы диатомовой свиты, зеленые глины коунской свиты и др.

Значительный интерес вызывают образцы пород, по-видимому, мелового возраста. Последние представлены плотными глинами зеленого цвета с включениями зерен более темного оттенка. Эти образцы характеризуются значительной трещиноватостью. При разрушении порода раскалывается по трещинам, содержащим нефть светло-коричневого цвета.

Наличие трещиноватых пород коллекторов, содержащих нефть, позволяет говорить о высоких перспективах нижнетретичных и мезозойских отложений Алятской гряды в деле поисков нефтяных и газовых залежей.

Институт геологии



Рис. 5

Ајрантөкән палчыг вулканынын пүскүрмәси

ХУЛАСЭ

Сон иллэр Бөйүк Гафгазын чәнуб-шәрг әразисинде палчыг вулканлары фәалијәти мүшәнидә едилир. Кирдә, Ағзыбир вә Ајрантөкән палчыг вулканы пүскүрмүшдүр.

Ајрантөкән палчыг вулканынын пүскүрмәси һагында индијә гәдәр иеч бир мә'лумат дәрч едилемәдиине көрә, бу пүскүрмәниң тәсвири мүәјјән мараг кәсб едир.

Мәгаләдә Ајрантөкән палчыг вулканынын пүскүрмәси әтрафлы тәсвир едилир.

Палчыг вулканы брекчијасындан чохлу мигдарда үчүнчү дәвр вә Мезозој Јашлы сүхур нүмүнәләри көтүрүлмүшдүр. Бу сүхурларын чоху нефтлидир.

Чатлы коллектор сүхурларынын нефтли олмасы. Эләт галхымынын нефт вә газ Ҙатагларынын ахтарышы ишинде Мезозој чөкүнүләринин јүксәк перспективилии һагында фикир сојләмәјә имкан верир.

ГЕОМОРФОЛОГИЯ МОРСКИХ БЕРЕГОВ

О. К. ЛЕОНТЬЕВ, А. И. ХАЛИЛОВ, Н. И. МЕХТИЕВ, Э. А. КУДУСОВ

**О НЕКОТОРЫХ ОСОБЕННОСТЯХ СОВРЕМЕННОЙ ДИНАМИКИ  
БЕРЕГОВ СУЛАКСКОЙ БУХТЫ**

(Представлено академиком АН Азербайджанской ССР Ш. А. Азизбековым)

Сулакская бухта возникла в результате образования дельты р. Сулак, которая начала формироваться с середины прошлого столетия (Леонтьев, 1951) за счет выноса самой реки и частично выброса донных материалов и наносов, поступающих сюда вдоль берега с южного направления. В результате выдвижения дельты в море и ее разворота к северу в меридиональном направлении образовалась естественная бухта, защищенная с востока и юга. Сулакская бухта в настоящее время имеет наибольшую длину 6,2 км, ширину 3–3,5 км и площадь 19,5 км<sup>2</sup>. Глубины в бухте: средняя—3,0 м, максимальная у входа—4,5 м, в средней части—около 3,5 м. Несмотря на мелководность, бухта является неплохим укрытием для малых судов от господствующих в этом районе волн юго-восточных и восточных направлений (в юго-восточном углу бухты расположена грузоперевалочная пристань рыбного промысла).

Собственно как укрытие для малотоннажных судов данная бухта начала приобретать значение только в 30-х годах нашего столетия. До этого она была слишком мала, плохо защищена и поэтому неудобна для захода и стоянки судов (см. рис. 1).

Гидрологический режим и динамика берегов Сулакской бухты претерпели сложную и интересную эволюцию за время своего формирования.

Анализ материалов съемок Каспморниипроекта и личные наблюдения авторов данного сообщения позволили прийти к следующим заключениям:

1. До 1953–1955 гг., т. е. до возникновения Сулакских кос перемещение наносов внутри бухты происходило вдоль берега против часовой стрелки. В то время западный берег размывался и материал размыва перемещался волнами и отлагался как в кутовой части бухты, так и вдоль восточного берега бухты. Сюда же мигрировала часть аллювия р. Сулак. Таким образом, западный берег бухты размывался и отступал, а восточный намывался и нарастал.

2. По мере роста дельты реки и блокировки бухты с востока и северо-востока Сулакскими косами наносы внутри бухты стали пере-

мешаться вдоль берегов в обратном направлении—по часовой стрелке. В результате этого восточный берег сменил аккумулятивный режим на абразионный, а западный, наоборот, абразионный на аккумулятивный.

Эти изменения находятся в тесной зависимости от эволюции дельты р. Сулак. Когда дельта имела небольшие размеры и слабо прикрывала Сулакскую бухту от волнений

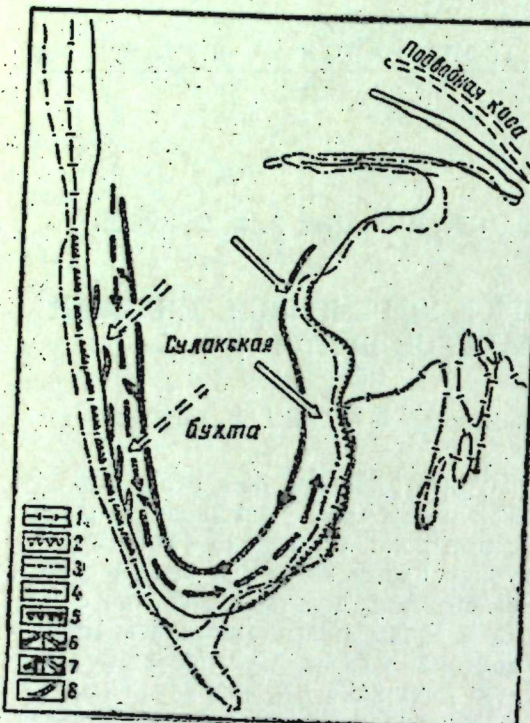


Рис. 1. Схема динамики Сулакской бухты:  
1—линия уреза 1940 г.; 2—абразионный участок 1940 г.; 3—линия уреза 1955 г.; 4—линия уреза 1963 г.; 5—абразионный участок 1963 г.; 6—поток наносов (a) и волновая равнодействующая (b) 1940 г.; 7—поток наносов (a) и волновая равнодействующая (b) 1963 г.; 8—оффсеты.

а на западном берегу бухты, оказавшемся в "тени" по отношению к этим волнениям, абразионный процесс сменился аккумулятивным. Таким образом, к настоящему времени установилось сложное взаимодействие ветровых и волновых течений вдоль берега (при нагонах) с собственно волновыми движениями, вызываемыми господствующими здесь северо-западными штормами.

В результате этого вдоль западного берега бухты образовался ряд небольших надводных кос, известных в литературе под названием оффсетов (рис. 3).

По описанию В. П. Зенковича (1946), оффсеты представляют собой склоненные по ходу потока наносов аккумулятивные формы в виде небольших кос, отходящих под острым углом от берега. Отмечая крайне слабую изученность этих образований, В. П. Зенкович связывает их возникновение с изменчивостью направления и интенсивности волнения. По его определению, изменение характеристик

волнения влечет за собой и изменение направления роста аккумулятивной формы. Образуется выступ, ориентированный под некоторым углом к прежнему направлению роста аккумулятивной формы, причем дальнейшее нарастание выступа приводит к блокировке смежного

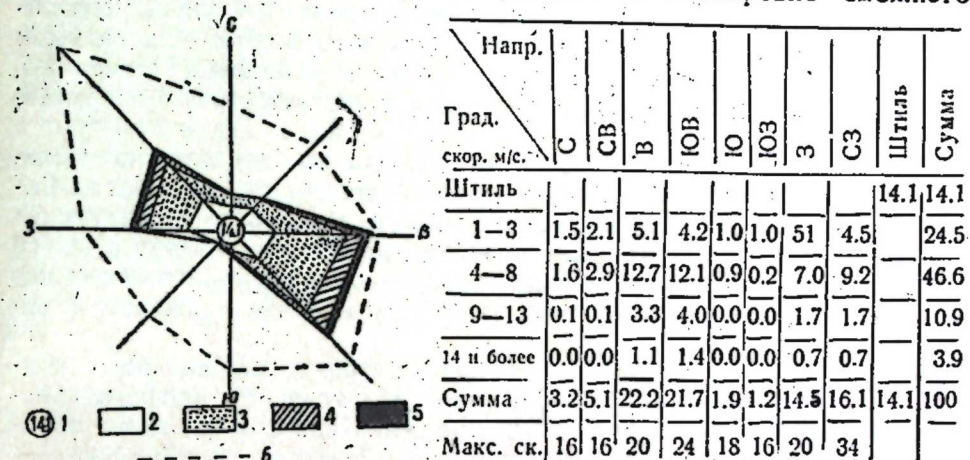


Рис. 2. Роза ветров в районе Сулакской бухты:  
1—шиль; 2—повтор. при скор. ветра 1—3 м/сек., 3—повтор. при скор. ветра 4—8 м/сек.,  
4—повтор. при скор. ветра 9—13 м/сек., 5—повтор. при скор. ветра 14—20 м/сек.,  
6—максим. скорость ветра.

Примечания: 1) % % повторяемость ветра отложена от круга; 2) максимальная скорость ветра от центра круга.



Рис. 3. Оффсеты на западном берегу Сулакской бухты.

участка берега и здесь возникает зона размыва, за счет которого может осуществляться питание следующего оффсета. Оффсеты и чередующиеся с ними зоны размыва постепенно смещаются по ходу потока наносов и представляют собой один из механизмов продольного перемещения наносов.

Возможно и другое объяснение их образования. Аналогичные формы наблюдались О. К. Леонтьевым в Аграханском заливе, на запад-

ном берегу одноименного аккумулятивного полуострова. Близкие к ним образования, но подводные, были описаны Н. Б. Кобец (1958) на мелководье Туркменского побережья Каспия. В обоих случаях оффсеты или напоминающие их формы обнаружены там, где имеются сильные вдольбереговые течения, в первом случае (Аграхан) связанные со стоком вод Терека из залива в море, а во втором — с нагонными явлениями и сопутствующими им ветровыми и волновыми течениями, причем направление оффсетов находится в соответствии с направлением течения.

Вообще говоря, специальных исследований по определению механизма формирования оффсетов еще не проводилось, ни у нас в Советском Союзе, ни за рубежом. По нашему мнению, в последующие стадии развития эти оффсеты, постепенно приближаясь друг к другу в один параллельный берегу ряд, в конце концов прикрепляются к коренному берегу, обусловив значительное расширение пляжевой полосы у этого берега.

В целом вопрос образования оффсетов требует специального изучения. Пока же для нас важно то, что они являются морфологическим признаком вдольберегового перемещения наносов и, таким образом, признаком нового, ранее не имевшего здесь места явления.

По мере возрастания изоляции Сулакской бухты от моря косами широтной ориентировки, которые образовались у северной оконечности одноименной дельты и продолжают свой рост, местные процессы, протекающие сейчас на берегах бухты — вдольбереговые перемещения и аккумуляция наносов на ее западном берегу и размыв на восточном, — будут постепенно затухать. Не лишено вероятности, что благодаря сокращению расстояния между северной оконечностью дельты и „материковым“ берегом, здесь возникает эффект блокировки берега и напротив этой части дельты образуется аккумулятивный выступ или перейма. На начало этого процесса, в частности, указывает образование пологого выступа береговой линии у морского светящегося знака „Сулак Северный“. В этом случае процесс изоляции Сулакской бухты ускорится и, если даже не произойдет полного отчленения бухты, подходы к ней будут весьма затруднены.

#### ЛИТЕРАТУРА

1. Леонтьев О. К. Эволюция береговой линии северо-дагестанского побережья Каспийского моря. „Изв. ВГО“, т. 83, вып. 4, 1951.
2. Зенкович В. П. Динамика и морфология морских берегов. М., 1946.
3. Кобец Н. В. Формы аккумулятивного рельефа подводного склона Каспийского моря у берегов юго-западной Туркмении. Тр. лабор. аэрометодов, т. VI, 1958.

Институт географии

Поступило 20. V 1964

О. К. Леонтьев, А. И. Халилов, Н. Н. Мендиев, Е. А. Кудусов

Сулак көрфәзи саһилләринин мүасир динамикасының бә’зи мәсәләләри һагында

#### ХУЛАСЭ

Сулак чајы дельтасының меридионал истигамәтдә инкишаф етмәси иэтничесинде јарымыш бу көрфәзин һидрологи режиминде вә саһил бојунүн динамикасында сон 10—15 илдә бөյүк дәјишиклеләр башвермишdir.

Мәгаләдә мөвчуд әдәбијат вә мүэллифләrin тәдгигатларына әса-сән бу дәјишиклеләр көстәрилмиш вә онлары јарадан сәбәбләр изан едилмишdir. Гејд етмәк лазымдыр ки, көрфәзин һидрологи режими вә саһил бојунун динамикасында баш верән бу дәјишиклеләр сәбәб көрфәзин Сулак дельтасының шималында јарымыш вә енлик истигамәтиндә узанмыш дилләр васитәсилә тәдричән дәниздән ајрылмасыдыр. Башга сөзлә десәк, ачыг дәнизин көрфәз олан тә'сириин тәдричән азалмасыдыр.

1955-чи илдән соңра көрфәздә, јухарыда көстәрилән сәбәбләр нәтичесинде су күтләсинин үмуми дөвраны өз һәрәкәт истигамәтини та-мамилә дәјишишdir (әvvәлкىнин там экс истигамәтиндә). Бунун нәтичесинде јујулмаја мә'ruz галан гәрб саһилдә вә назырда аккумулация вә габаглар кәтирмә материаллары несабына өз саһесини кешишләндирән шәрг саһилдә јујулма мушаһидә олунур.

ДОБЫЧА НЕФТИ

Ш. Ф. МЕХТИЕВ, А. Х. МИРЗАДЖАНЗАДЕ, С. А. АЛИЕВ, В. И. МОТЯКОВ

К ОПРЕДЕЛЕНИЮ ТЕМПЕРАТУРЫ ПЛАСТОВ

Определению температур нефтеносных и газоносных пластов посвящено большое количество исследований (см., например, [1,2]).

В данной заметке на основании обработки данных электротермограмм, снятых в буровых после цементировки, показывается, что закон распределения температуры на одной и той же глубине подчиняется закону нормального распределения.

Различные значения температур на одних и тех же глубинах, вероятно, имеют место ввиду влияния большого количества факторов, носящих случайный характер (теплоемкость и теплопроводность пород, неравномерное распределение радиоактивных элементов в породах, различные условия залегания пород и т. д.).

Следует отметить, что замеры температуры глинистого раствора в стволе скважины ввиду недостаточной выдержки не соответствуют температурам пластов. Однако проведенные расчеты позволяют полагать, что и закон распределения температуры пластов на одной и той же глубине будет подчиняться закону нормального распределения.

На рис. 1, как пример, приведены кривые эмпирического и теоретического распределений температуры по 500 замерам для ряда мес-

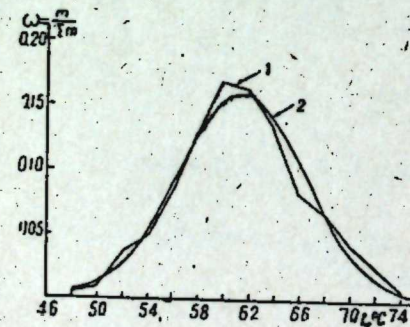
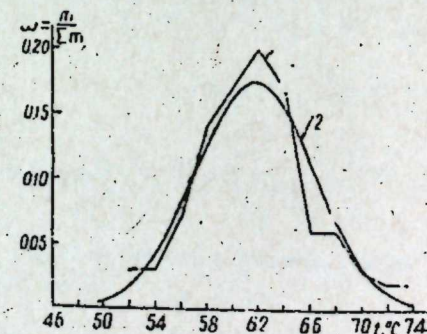


Рис. 1. 1—эмпирическое распределение, 2—теоретическое распределение.



Гис. 2. 1—эмпирическое распределение, 2—теоретическое распределение.

торождений Апшерона (Сураханы, Кала, Каракухур, Биби-Эйбат, Карадаг, Балаханы—Сабунчи—Раманы), залегающих на глубине 2000 м,

Таблица 1

Месторождения	Температура, °C					Глубина 1000 м							
	Глубина 2000 м	Глубина 1500 м	Средн. квадр.	Средн. кубич.	Интервал изменения		Средн. квадр.	Средн. кубич.	Интервал изменения				
Апшерон	500	61,42	61,80	61,85	56,42—66,42	51,40	51,50	51,68	47,84—54,96	41,20	41,30	41,41	38,14—44,26
Сураханы	100	61,76	61,93	61,97	57,19—66,33	52,00	52,10	52,01	48,90—55,10	41,20	41,30	41,38	38,45—43,95
Карадаг	100	62,72	63,48	63,33	57,84—67,60	52,00	52,13	52,20	48,30—55,70	41,30	41,45	41,54	38,16—44,44
Каракухур	100	62,88	63,03	63,08	58,44—67,32	52,00	52,13	52,00	48,90—55,10	40,86	40,95	41,05	38,08—43,64
Биби-Эйбат	50	61,92	62,08	62,14	57,32—66,52	51,90	52,00	52,23	48,20—55,60	41,88	42,05	42,22	38,70—45,06
Кала	50	60,28	60,47	60,37	56,57—63,97	51,00	51,11	51,17	48,66—53,54	42,60	42,67	42,74	40,16—45,04
Балаханы—Сабунчи—Раманы	50	60,52	60,74	60,82	55,28—65,76	50,60	50,70	50,90	46,80—54,40	41,76	41,87	41,97	38,74—44,78

Таблица 3

Допустимое отклонение от средней арифметической температуры	$\pm 2^{\circ}\text{C}$	$\pm 3^{\circ}\text{C}$	$\pm 4^{\circ}\text{C}$
Необходимое количество замеров (минимальное)	57	25	14

май-Зыхской антиклинальной складки, причем температура для глубин 3500—4000 м определена по 9 замерам, чего, как видно из таблицы 3, недостаточно.

## Выводы

1. Распределение температур глинистых растворов на одних и тех же глубинах подчиняются закону нормального распределения.

2. Для определения средней арифметической температуры глинистых растворов на необходимой глубине с заданной точностью требуется иметь не менее вполне определенного количества замеров температуры на этой глубине (см. табл. 3).

## ЛИТЕРАТУРА

1. Дахнов В. И., Дьяконов Д. И. Термические исследования скважин. Гос.топтехиздат, 1952.
2. Мехтиев Ш. Ф., Мирзаджанзаде А. Х., Алиев С. А., Багбали Э. А., Мотяков В. И. Тепловой режим нефтяных и газовых месторождений. Азернефтешр, 1960.
3. Дили А. Н. Математическая статистика в технике. Гос. изд-во "Советская наука", 1958.
4. Овнатапов С. Т., Тамразян Г. П. О термических условиях антиклинальной зоны Сураханы-Зых-о. Песчаный (Апшеронский полуостров). "Советская геология," № 10, 1960.

Поступило 4. IV 1964

Институт геологии  
Институт нефти и химии  
АЗНИИ по добыче

Ш. Ф. Меңдиев, А. Х. Мирзәчанзадә, С. А. Элиев, В. И. Мотјаков

## Лај температурунун тә'јин едилмәсинә даир

## ХУЛАСӘ

Апарылан тәдгигатларда әсасен ашағыдақы нәтичәләрә кәлмәк олар:

1. Ейни дәринликдә кил мәһлүлу температурунун пајланмасы нормал температур пајланмағанына табедир.

2. Мүәјжән дәринликдә кил мәһлүлүнүн орта арифметик температурун тә'јин етмәк үчүн һәмин дәринликдә мүәјжән мигдарда температур өлчүсү апарылмалыдыр (3-чу чәдвәлә бағы).

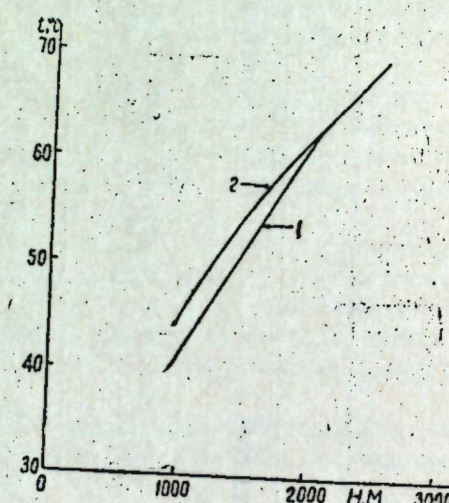


Рис. 3.

На рис. 3 приведены зависимости температуры от глубины (кривая 1 соответствует температуре глинистого раствора, а кривая 2—температуре замеренной в пространственных скважинах).

Определим минимальное число замеров, необходимое для определения средней температуры пластов с вероятностью 0,997 ( $t=3$ ) по следующему выражению (см., например, [3]):

$$n = \frac{t^2 \sigma^2}{\Delta^2},$$

где  $n$  — минимальное число наблюдений;

$\sigma$  — среднее квадратичное отклонение;

$\Delta$  — предел отклонения выборочной средней.

Результаты расчетов приведены в табл. 3.

С. Т. Овнатаповым и Г. П. Тамразяном [4] вычислены температуры пластов до глубины 4000 м для нефтяных месторождений Фать-

АГРОТЕХНИКА

С. А. КЯЗИМОВ

НЕКОТОРЫЕ ПРОТИВОЭРОЗИОННЫЕ АГРОТЕХНИЧЕСКИЕ  
МЕРОПРИЯТИЯ НА СКЛОНОВЫХ ЗЕМЛЯХ КУБА-КУСАРСКОЙ  
ЗОНЫ АЗЕРБАЙДЖАНСКОЙ ССР

(Представлено академиком АН Азербайджанской ССР Г. А. Алиевым)

В настоящее время на территории Азербайджана тысячи гектаров земли на больших уклонах ежегодно осваиваются под плодовые сады. Сохранение почвы от разрушения на таких склонах является основной задачей эффективного развития садоводства. В условиях богаты, особенно на пологих и покатых склонах задержание атмосферных осадков и преодоление поверхностного стока является основным вопросом. Поэтому при посадке плодовых садов и в старых насаждениях необходимо применять специфическую агротехнику. Для решения этого вопроса необходимо разработать особые приемы подготовки почвы, направленные на уменьшение или прекращение эрозионных процессов.

Для посадки плодовых садов на склонах применяются различные способы подготовки почвы. Одним из них является террасирование. Террасирование способствует прекращению поверхностного стока, при нем обеспечивается сохранение влаги в почве, оно дает возможность уменьшить скорость потоков воды и ослабить их эродирующую силу.

Создание террас до последних лет не имело широкого применения в сельском хозяйстве Азербайджана, оно связано с трудоемкостью ручного способа производства, требующего больших капиталовложений.

При наличии современной техники террасирование является одним из наиболее эффективных приемов подготовки почвы на склонах. Созданы наилучшие условия применения механизации всех процессов как во время строительства террас, так и при дальнейшей обработке их.

В 1962 г. в Кусарском районе в колхозе „Шарг“ на площади 6 га и на территории плодового совхоза на площади 6 га нами было проведено террасирование склонов плантажным способом. После разбивки участка нивелиром по контурам склона была сделана вспашка плантажным плугом и проведено выравнивание полотна с помощью грейдеров марки Д-206-М на прицепе трактора С-100. Плотно будущих террас под плодовые насаждения делалось различной шириной. В ходе работы выяснилось, что наиболее приемлемым способом создания террас является вспышка плантажным плугом при пяти

проходах на полосе. Лопаты грейдеров при выравнивании полотна террасы при одном проходе полностью захватывают вспаханную полосу, сделанную при 5 проходах плуга плантажа. При этом ширина полотна получается равной 4 м и после посадки деревьев по полотну террасы свободно могут передвигаться основные сельскохозяйственные машины, применяемые в плодовых садах.



Рис. 1. Террасы, подготовленные плантажным способом.

Террасированный участок в колхозе „Шарг“ находится около сел. Аваран, на юго-восточном склоне крутизной 11–14° на высоте 800–833 м над ур. м., неорошающий. Склон имеет волнистый рельеф.

Террасы в плодовом совхозе заложены около сел. Галаджух, на северо-западном склоне крутизной 10–14°, на высоте 380–400 м над ур. м.

В сел. Аваран на площади 1 га сделаны также напашные террасы. Подготовка их проведена обычным 4-корпусным плугом на тяге трактора ДТ-54. При этом между ними оставлялась полоса нераспахиваемой почвы шириной 0,5–1,5 м в зависимости от крутизны уклона, которая на участке колебалась от 10 до 14°.

Закладка опыта была проведена в двух вариантах: в первом варианте полоса вспахана 4 проходами плуга с 4-кратной повторностью. Здесь ширина полотна получалась от 5 до 6 м в зависимости от уклона местности.

Во втором варианте полоса была вспахана за 3 прохода плуга в трехкратной повторности. При этом ширина полотна получается равной 3,75–4 м.

Устройство напашных террас более экономично и эффективно, чем террасирование плантажным способом, тем более, что в настоящее время в колхозах Азербайджана имеются в достаточном количестве тракторы марки ДТ-54 и напашные плуги, которые могут широко применяться при строительстве напашных террас. Преимуществом их нужно считать и то, что в этом случае плодородный слой почвы более равномерно распределяется на выемочной части полотна. При каждой повторной вспашке полотна в почве происходит сдвиг направо и перемешивание верхнего слоя.

На склонах крутизной 10° в результате трехкратной вспашки получилось горизонтальное полотно шириной в 4 м.

На склонах крутизной 12–14° при трехкратной вспашке полотно напашных террас шириной до 4 м получалось с уклоном 4–5°.

Осенью 1962 г. на этих террасах произведена закладка яблоневого сада. Весной 1963 г. при наблюдениях на этих террасах смыва почвы не замечалось, несмотря на обильные зимние осадки. Здесь деревья имели 85% приживаемости.



Рис. 2. Террасы напашные

В связи с этим рекомендуется создание всех видов террас применять при закладке новых садов.

Другой противоэррозионный агротехнический метод относится к реконструкции старых садов. На территории Куба-Кусарского массива большие площади старых плодовых насаждений расположены на склонах. Из-за недостатка влаги и отсутствия должного ухода за ними урожай здесь в значительной мере снижается, многие деревья сохнут и погибают.

С целью восстановления старых плодовых садов весной 1963 г. нами заложены некоторые варианты опытов на территории сел. Аваран колхоза „Шарг“. Опытный участок расположен на склоне крутизной 17–22°, на площади 4 га. Посадки сада 1932 г. До закладки опыта уход за садами ограничивался перекопкой пристволовых кругов небольших размеров. При наших исследованиях взяты на учет все деревья в саду.

На этом фоне заложены 4 варианта опыта:

При первом варианте вырыты траншеи глубиной 40–30 см, длиной в крону дерева. Траншеи сделаны на 1,5–2 м выше ствола по-перек склона, что способствует задержанию атмосферных осадков и постепенному просачиванию их вниз по склону к корням дерева.

Во втором варианте был также применен траншейный способ. При этом траншеи были сделаны сплошными и через каждые 2 м в них сделаны перегородки землей с тем, чтобы вода сохранялась в каждой ячейке.

В третьем варианте от каждой чаши отводятся водосборные струи направляющие борозды под уклоном в среднем 25°, которые в середине между рядов на верхней стороне соединяются с другой бороздой, идущей из соседней чаши дерева. При этом при протекании талых вод или дождей осадки струей протекают в чаши.

В четвертом варианте к каждой чаше с обеих сторон присоединяются дугообразные валики, захватывающие половину между рядов в зависимости от расстояния и расположения деревьев. Эти валики являются сборщиком струи, способствующей сохранению и использованию деревьями осадков на склонах участка. Средний рост побегов к 23 июля в третьем варианте достигает 20 см, а в четвертом – 19 см, т. е. почти в два раза больше, чем в предыдущих вариантах.

На контроле при подготовке больших чаш, которые взяты на общем фоне для остальных перечисленных вариантов, средний рост побегов достиг 15 см, что является лучшим результатом, чем в первом и во втором варианте.

Из перечисленных вариантов третий и четвертый являются наилучшими, так как не требуют особой затраты труда. Поэтому их нужно применять в производственном масштабе с целью восстановления и улучшения в старых плодовых садах, расположенных на склонах.

Все эти мероприятия будут способствовать сохранению влаги в почве и предотвращению эрозии.

В существующих агротехнических правилах эти приемы слабо отражены, но в дальнейшем им должно быть уделено больше внимания.

#### Сектор эрозии

Поступило 24. I 1964

С. А. Казымов

Азэрбајҹан ССР Губа-Гусар зонасынын јамач саһәләрindә ероziја гарышы бә'зи агротехники мүбәризә тәдбиrlәri

#### ХУЛАСӘ

Гусар раionунда јамачларда ероziја просесицин гарышыны алмаг тәдбиrlәri назырламаг мәгсәди илә „Шәрг“ колхозунда вә. мејвәчлик совхозунда майллиji 10–14 дәрәчә олан чәнуб јамауда 12 нектар саһәдә плантаџ үсулу илә терраслар чәкилиш вә алма бағы салынышдыр. 1962–1963-чү илләрдә апарылан мүшәнидәләрдән айдын олмушдур ки, лејсан јагышлар дүшдүкдә белә, һәмин саһәләрдә сәтни су ахымы вә торпағын јуулмасы мүшәнидә едилмәмишdir.

Тәдгигат көстәрди ки, майллиji 10–14 олан јамауда шум котаны илә DT-54 маркалы трактор ҹаситәсилә тәккәр шумлама үсулу илә террасларын апарылмасы плантаџ үсулуна нисбәтән даһа асан баша кәлир вә аз хәрч сәрф олунур. Мүәjjәni едилмәшидир ки, сон илләрдә јамачларда чәкилиш мејвә бағларында һәр ил чәркәараларынын јамачын ениң биртәрәфли шумланимасы нәтичәсindә торпаг чәркәдә олан ағачларын дибинә јығылыш вә көк бағазы торпагын дәрнилијинде галыр. Бу исә ағачларын гурумасына сәбәб олур. Бу чүр вәзијәти арадан галдырмаг учун чәркә боју ағачларын дибиндән енсиз терраслар чәкилмәклә тәмизләнмәли вә јаҳуд һәр биткини чәтири нисбәтинде хүсуси терраслар дүзәндилмәлидир.

Дик јамачларда јерләшиш көһиң бағларын бәрпа олунмасы мәгсәди илә „Шәрг“ колхозунда майллиji 18–22 олан алма бағында мүхтәлиф варианты тәчрүбәләр апарылышдыр. Һәмин вариантлардан бә'зиләри мусбәт нәтичә вермиш вә тәсәррүфата тәтбиғ олунмасы гәрара алышыддр. Белә ки, ағачларын дибиндә үфги вәзијәтдә кениш чалалар назырламагла чәркәараларындан кәлән майли архлар чалалара бирләшдирилдикдә ахан јағмур сулары чалалара топланыр вә биткини истифадәси учун нәмлик ётијатыны артырыр. Бу налда биткини иллик артымы 20 см вә јаҳуд контрола, нисбәтән 2 дәфә артыг олур. Бу үсулу тәсәррүфата тәтбиғи бириңчи, нәвбәдә дурмалыдыр.

ПАРАЗИТОЛОГИЯ

А. Т. ГАДЖИЕВ

**ГАМАЗОВЫЕ КЛЕЩИ ЗАКАВКАЗСКОГО ХОМЯКА**  
*Cricetus (Mesocricetus) auratus* Waterhouse (1939)

(Представлено академиком АН Азербайджанской ССР М. К. Ганиевым)

Ареал распространения закавказского хомяка в пределах СССР охватывает лишь северо-восточную часть общего ареала распространения этого вида, в основном Закавказье, где он носит прерывистый характер. Закавказский хомяк найден на отдельных участках Ширакской степи в районе Тбилиси, Карагазы и др. Более густо заселен этим видом Малый Кавказ. Найден он и в Талыше [2].

По данным Г. И. Лобановой, Э. А. Петросян и нашим, закавказский хомяк, наиболее многочислен в зоне высокогорных степей Талыша.

О гамазовых клещах закавказского хомяка нет сведений в литературе, кроме указания Н. Г. Брегетовой (1956) о том, что вид *Hi criceti* Sulz. найден на закавказском хомяке.

Материалом для составления настоящей статьи послужили сборы автора в 1957—1961 гг. в Лерикском районе Азербайджанской ССР. Кроме того, использованы сборы (1959), любезно предоставленные нам бывшим паразитологом Ленкоранского противочумного отделения А. М. Киреевой.

Всего было исследовано 122 экземпляра грызунов и 11 гнезд их. С грызунов собран 491 клещ, а из гнезд их выбрано 7089 клещей, относящихся к 11 видам (табл. 1).

Процент зараженности хомяков за все годы исследования составляет 64,7. На них было обнаружено всего 9 видов клещей, среди которых массовым является *Hi criceti*, составляющий от общих сборов 65,7%. Экстенсивность и интенсивность заражения клещами закавказского хомяка наибольшее летом. Сезонные изменения зараженности закавказского хомяка гамазовыми клещами приведены в табл. 2.

Все исследованные гнезда хомяков оказались зараженными гамазовыми клещами. В гнездах найдено 9 видов клещей; среди которых массовым оказался *Hi criceti*, составляющий от общих сборов 82,8%.

Сезонная встречаемость клещей в гнездах приведена в табл. 3. *Hi criceti* относится к паразитическим видам. На хомяках и в их гнездах встречается во все сезоны (табл. 4).

Гамазовые клещи *Cricetus auratus* и их гнезда

Таблица 1

Название вида	Сезоны					
	Весна		Лето		Осень	
	Грызун	Гнездо	Грызун	Гнездо	Грызун	Гнездо
<i>Parasitus sp.</i>	6	37	5	74	4	6
<i>Pergamasus sp.</i>	—	4	—	21	—	11
<i>M. matrius</i> Hill.	4	33	2	374	—	35
<i>M. montanus</i> Wium.	—	—	3	—	—	—
<i>C. gurabensis</i> Fox.	3	13	7	32	2	9
<i>Hs. aculeifer</i> Can.	—	2	—	4	—	—
<i>Hi. ellobi</i> Breng.	2	11	—	36	4	—
<i>Hi. glasgowi</i> (Ewing).	2	—	1	—	—	—
<i>E. stabularis</i> (C.Z. Koch).	11	91	70	202	39	81
<i>Hg. nidi</i> Mich.	2	7	2	121	1	11
<i>Hi. cricell</i> Sulz.	31	506	257	4495	33	870

Таблица 2

Заражение гамазовыми клещами *Cricetus auratus* в разные сезоны года

Сезоны	Количество исследованных хомяков	Процент заражения	Среднее количество клещей на одного		Количество видов
			исследованного хомяка	зараженного хомяка	
Весна	31	48,3	1,9	4,0	8
Лето	66	75,7	5,2	7,0	8
Осень	25	56,0	3,3	5,9	7

Таблица 3

Заражение гамазовыми клещами гнезд *Cricetus auratus* в разные сезоны года

Сезоны	Количество исследованных гнезд	Процент заражения	Среднее количество на одно гнездо	Количество видов
			исследованного гнезда	зараженного гнезда
Весна	3	100	234,6	9
Лето	6	100	893,6	9
Осень	2	100	511,5	7

Таблица 4

Сезонная встречаемость *Hi criceti* на *Cricetus auratus* и в его гнездах  
(в числителе указано числительность клещей на хомяках, в знаменателе — в гнезде)

Сезоны	Всего клещей	Самки	Самки с яйцами	Самцы	Нимфы
		самки	самки с яйцами	самцы	нимфы
Весна	31	29	13	0	2
	506	494	37	10	2
Лето	257	205	45	35	75
	4495	2745	832	995	755
Осень	33	33	12	0	0
	870	670	131	103	87

Из 11 видов гамазовых клещей, найденных на закавказском хомяке и в его гнездах, только *Hi criceti* является характерным для этого вида грызуна.

Размножение *Hi criceti* происходит в гнездах хомяка. Более интенсивно размножаются они, когда в гнездах для них имеются птические условия. Так, в начале лета из двух гнезд хомяка, где находилось по 8 детенышам, выбрано по 1500—2000 клещей этого вида.

Четыре вида—*Parasitus sp.*, *Pergamasus sp.*, *M. matrius* и *M. montanus* относятся к свободноживущим. Остальные шесть видов встречаются на многих видах грызунов и в их гнездах, среди которых по численности отличается *E. stabularis*.

По видовому разнообразию фауну гамазовых клещей закавказского хомяка нельзя считать богатой.

### Заключение

Фауна гамазовых клещей закавказского хомяка включает в себя 11 видов клещей, среди которых массовым и характерным для хомяка является *Hi criceti*, размножение которого происходит в гнездах и более интенсивно в летний сезон. В результате этого численность клещей как и на самих хомяках, так и в их гнездах более высокая в летний сезон.

Из гамазовых клещей, отмеченных на закавказском хомяке, *Hi glasgowi* и *Lg. nidi* как переносчики ряда опасных болезней представляют эпидемиологическое и эпизоотологическое значение.

### ЛИТЕРАТУРА

1. Брегетова Н. Г. 1956. Гамазовые клещи. М.—Л., 2. Виноградов Б. С. и Громов И. М. 1952. Грызуны фауны СССР. М.—Л. 3. Лобанова Т. И., Петровян Э. А. 1959. Труды Азербайджанской противочумной станции, т. II Баку.

Институт зоологии

Поступило 28. XII 1963

А. Т. Һачыјев

### Загафгзија даг сичаныны гамазид кәнәләри

### ХУЛАСӘ

Загафгзија даг сичаныны гамазид кәнәләри һаггында әдәбијатда мә'лumat јохдур. 1957—1961-чи илләрдә Азәрбајҹан ССР Лерик рајону әразисинде тәдгигат ишләри апардыгымыз заман бу кәмиричиләрдән 122 әдәд, онларын јувасындан исә 11 әдәд кәнә тәдгиг етмиш вә гамазид кәнәләри топланышдыр. Топланыш материал нөв е'тибарилә бөјүк мұхтәлифијә малик дејилдир. Чәми 11 нөв кәнәнни олмасы мүәјжән едилишдір.

Чохлуг е'тибарилә Загафгзија даг сичаны үзәриндә вә онун јувасында биринчи јери *Hi criceti* нөвү тутур. Бу нөв даг сичанының дами паразити несаб едилир.

Загафгзија даг сичаны үзәриндә топланан кәнә нөвләриндән *Hi glasgowi* вә *Hg. nidi* епидемиологи вә епизоотологи әһәмийјәтә малиkdir.

### ФИЗИОЛОГИЯ

М. А. МЕХТИЕВ, Е. Г. ГАУЗЕР, Ф. Б. АСКЕРОВ

### О ФУНКЦИОНАЛЬНОМ СОСТОЯНИИ ЩИТОВИДНОЙ ЖЕЛЕЗЫ У ОВЕЦ ПО ТЕСТУ НАКОПЛЕНИЯ РАДИОЙОДА ( $I^{131}$ )<sup>1</sup>

(Представлено академиком АН Азербайджанской ССР А. И. Караевым)

При изучении обмена веществ у сельскохозяйственных животных особое внимание привлекает функциональное состояние щитовидной железы, являющейся мощным фактором в регуляции многих обменных процессов.

В качестве индикатора функционального состояния щитовидной железы в настоящее время широко применяют радиоактивные изотопы йода. При этом особое значение имеет определение накопления радиоиода в щитовидной железе в динамике. Вместе с тем известно, что такой радиоид-тест отражает суммарную картину многочисленных процессов, как-то: поглощение щитовидной железой йодида, гармонообразование, гормоновыделение и т. д., совершающихся одновременно. При этом характер этих процессов значительно варьирует в зависимости от возраста животного, сезона, рациона, экологических условий и т. д. Указанные обстоятельства требуют в каждом отдельном случае соответственного анализа данных накопления радиоиода для оценки функционального состояния железы.

Конкретно нас интересовало, как использовать радиоид-тест при изучении деятельности щитовидной железы у баранчиков в норме и планируемых экспериментах.

Под опыт было взято 20 голов баранчиков 7—8-месячного возраста местной грубошерстной породы. Исследования проводились в июле в течение 24 дней. Ежедневный кормовой рацион их состоял из лугового сена, получаемого вдоволь, 600 г ячменя, 10 г соли. Кроме того, они выпасались по 2—3 часа в день. Рабочий раствор  $NaI^{131}$  в количестве 2 $\mu$ C вводился под кожу в подмышечную область. Замеры производили через 3 часа от момента введения  $I^{131}$ , через 24 часа и в дальнейшем ежедневно в течение 6 дней, затем периодически до конца опыта (22 дня). Для определения накопления радиоиода в

<sup>1</sup> Доложена на III республиканской конференции по применению радиоактивных изотопов и ядерных излучений в народном хозяйстве и науке, состоявшейся 13—15 ноября 1963 г. в г. Баку.

щитовидной железе мы пользовались радиометром со счетной трубкой СТС-6, которую экранировали свинцовой камерой. Трубку прикладывали в область расположения левой доли железы. Подсчет  $\gamma$ -излучений проводили трехкратно по одной минуте. Из трех замеров брали наибольшую цифру, которая после внесенных поправок удваивалась.

Такая методика принята нами в результате специально проведенной работы, которая показала, что: 1) анатомо-топографическое расположение щитовидной железы у овец не дает возможности одновременно полностью замерить излучение обеих долей; 2) величины излучения правой и левой доли более или менее совпадают и практически достаточно замерить излучение одной доли, увеличив полученную цифру вдвое; 3) трехкратный минутный замер в области одной доли дает возможность расположить трубку непосредственно над этой долей, что обеспечивает более полный замер ее излучения. При проведении замера более одной минуты животное беспокоится, что отрицательно сказывается на результатах исследования.

Замер стандарта для определения вводимой дозы в импульсах нами проводится через парафиновый фильтр толщиной в 2 мм. Применение такого фильтра создает условия, аналогичные при замерах на животных, у которых кожно-мышечный слой, отделяющий тело доли от трубки, обладает такой же поглотительной способностью. Место приложения трубки очищалось от шерсти депилятором.

Как видно из табл. 1 и рисунка, максимальное накопление радиоизотопа в щитовидной железе у отдельных индивидуумов сильно варьирует. Оно может достигать 20% и выше (животные № 61, 84) от введенной дозы, но в ряде случаев (животные № 93, 15, 60, 98) не превышают 6—7% от введенной дозы.

Таблица 1

Максимальное поглощение  $I^{131}$  щитовидной железой подопытных баранчиков

№ животного	Максимальный % поглощения	№ животного	Максимальный % поглощения
61	20,00	98	6,85
100	18,53	87	10,00
84	20,68	60	6,52
3730	15,68	68	7,35
51	11,75	15	6,35
89	10,49	63	7,95
3330	11,21	71	7,51
97	17,07	07	9,41
02	13,29	16	9,82
200	17,66	93	4,58

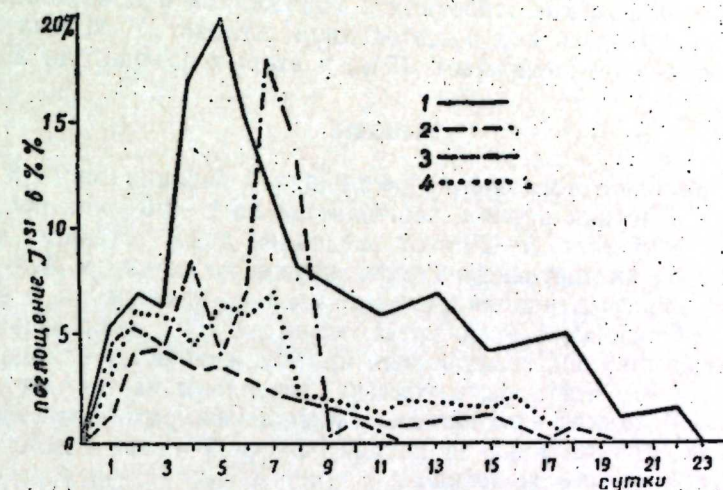
При этом следует отметить, что нами не установлено какого-либо зависимости уровня поглощения радиоизотопа щитовидной железой от состояния и поведения животных<sup>1</sup>.

Состояние всех животных было нормальным, а условия их содержания идентичными.

<sup>1</sup> Над подопытными животными проводились общие клинические и лабораторные исследования.

Большие различия у отдельных животных наблюдаются также и в сроках достижения максимального поглощения и выведения радиоизотопа.

Как видно из табл. 2, время максимального накопления отмечается между 1—10 днями после введения радиоизотопа. У большинства животных максимальное накопление радиоизотопа наблюдается к 3—5 суткам после введения.



Примерные кривые поглощения  $I^{131}$  щитовидной железой баранчиков  
1—баранчик № 61; 2—баранчик № 200; 3—баранчик № 03; 4—баранчик № 60.

Кривая поглощения радиоизотопа поднимается у одних животных умеренно, не имея выраженного пика, а у других—сравнительно резко.

Полное выведение радиоизотопа из железы происходит у животных к 12—22 суткам.

Таблица 2

Время максимального накопления и выведения  $I^{131}$

Дни	Максимальное накопление		Полное выведение		
	Количество случаев	% к общему количеству случаев	Дни	Количество случаев	% к общему количеству случаев
1	2	10	12	3	15
2	3	15	13	—	—
3	4	20	14	3	15
4	4	20	15	2	10
5	4	20	16	1	5
6	1	5	17	—	—
7	1	5	18	2	10
8	—	—	19	3	15
9	1	5	20	—	—
10	—	—	21	3	15
11	—	—	22	3	15
			23	—	—

Следует отметить, что у большинства животных процесс поглощения и выведения радиоактивного йода протекает неравномерно: в отдельные дни регистрируются повторные подъемы и снижения, что обусловливает волнобразность индивидуальных кривых поглощения.

Все эти данные говорят о том, что при изучении динамики накопления радиоиода в щитовидной железе необходимо изучение индивидуальной кривой на всем ее протяжении, так как в противном случае возможны ошибки при сравнительном анализе абсолютных цифр процента максимального поглощения радиоиода.

Анализ индивидуальных кривых накопления радиоиода в щитовидной железе, полученных в настоящем исследовании, позволяет, по нашему мнению, условно выделить две группы животных. Эти группы нами обозначены как животные с пониженной и повышенной способностью накапливать йод в щитовидной железе. У первых поглощение радиоиода не превышает 10%, у вторых доходит до 20%.

### Выводы

1. Максимальное поглощение радиоиода у баранчиков 7—8-месячного возраста в летний период наблюдается на 1—9-й день после введения  $I^{131}$  и достигает 5—20% от введенной дозы. Полное выведение радиоиода из щитовидной железы наблюдается к 12—22-ому дню. Таким образом, индивидуальные кривые накопления и выведения йода у баранчиков отличаются значительной вариабельностью.

2. По характеру индивидуальных кривых животные, находившиеся под наблюдением, могут быть условно разделены на группы с повышенной и пониженной способностью накопления радиоиода щитовидной железой. Это различие не находит видимой связи с общим состоянием и поведением животных.

3. Для суждения о функциональном состоянии щитовидной железы в условиях эксперимента, целесообразно проводить сравнительное изучение динамики накопления радиоиода щитовидной железой у одного и того же животного.

Сектор физиологии

Поступило 7. II 1964

М. Э. Меңдиев, Ж. Г. Гаузер, Ф. Б. Эскеров

Радиоиод ( $I^{131}$ ) топламаг габилијетинэ эсасэн гојуларда галханвары вәзинин функционал фәалијети һаггында

### ХУЛАСЭ

20 баш 7—8 айлыг тоғлулар үзәриндә апарылан мұајинеләрә әсән ашағыдақы нәтичәләрә кәлмәк олар:

1. Яй фәслиндә тоғлуларын дәриси алтына өтүрүлмүш 2 микро Күри мигдарында радиоиодун ( $I^{131}$ ) 5—20 фази галханвары вәзи тәрәфиндән тутулур. Радиоиод галханвары вәзидә 1—9-чу күнләрдә максимал мигдарда топланыр вә 12—22-чи күнләр арасында вәзидән харич олур.

2. Галханвары вәзинин радиоиоду чох вә аз мигдарда топламаг габилијетинэ көрә тоғлулар шәрти олараг ики група бөлүмүштүр.

3. Тәчрүбә шәрәнтинде галханвары вәзинин функционал вәзијетинин дәјишимәсими мүәјјен етмәк үчүн ejni hejvanda радиоиодун вәзидә топламасыны бүтүн мұајинә дөврүндә изләмәк лазымдыр.

А. М. МАМЕДОВ

### КЛИНИЧЕСКОЕ ЗНАЧЕНИЕ ИЗМЕРЕНИЯ КОЖНО-БОЛЕВОЙ ЧУВСТВИТЕЛЬНОСТИ У БОЛЬНЫХ С ОСТАТОЧНЫМИ ЯВЛЕНИЯМИ ТРОМБОЗА МОЗГОВЫХ СОСУДОВ

(Представлено академиком АН Азербайджанской ССР А. И. Каравым)

При сосудистых поражениях головного мозга в той или иной степени в комплексе нарушается кожная чувствительность. Также своеобразно начинают восстанавливаться одни виды кожной чувствительности при сравнительно долгом сохранении измененного состояния других видов кожной чувствительности.

Это и толкнуло нас на мысль исследовать (измерить) кожно-болевую чувствительность собственным аппаратом, названным нами алгезиметром (1957), с помощью которого мы получаем числовые определения кожно-болевой чувствительности.

Для получения точного представления о кожно-болевой чувствительности, мы определяли ее путем измерений в области средней части лба. Полученные данные считали "истинным кожно-болевым чувством" для данного субъекта.

После измерения кожно-болевой чувствительности в этой области измеряли ее симметрично в конце последней фаланги ладонной части второго пальца обеих кистей рук и первых пальцев обеих стоп. Каждое раздражение рецепторов продолжалось 10—15 секунд. Больной отвечал, чувствует ли боль и каков характер ее. Согласно В. И. Ленину, "...ощущение есть действительно непосредственная связь сознания с внешним миром, есть превращение энергии внешнего раздражения в факт сознания"<sup>1</sup>.

Все исследования повторяли 3—4 раза, т. е. в начале, в середине и в конце курса комплексного лечения, состоящего: 1) из мастичных аппликаций (по проф. Ш. М. Гасанову) в области паретической конечности: руки с охватом плечевого сустава, ноги с охватом коленного сустава, температура мастики во время смазывания 45—50°C, продолжительность каждого сеанса 18—20 минут, курс лечения состоял из 15—17 процедур; 2) введения ретроплацентарной сыворотки (по З. А. Блекслиту) по 6,0 внутримышечно, ежедневно, курс лече-

<sup>1</sup> В. И. Ленин. Сочинения, изд. 4, т. 14, стр. 39—40.

ния состоит из 10 инъекций; 3) электрофореза с йодом по Бургиньону через обе глазницы, сила тока 2—4 мА, продолжительность сеанса 20—25 минут, курс лечения состоит из 23—25 процедур; 4) массажа в течение 10 минут паретических конечностей, курс лечения состоит из 20—25 процедур и 5) упражнения на лыжном аппарате Сандлера в течение 10 минут, курс лечения—15—17 процедур.

Всего под нашим наблюдением находился 71 больной.

Кроме названного, больным назначали медикаментозное лечение для поддержания сердечно-сосудистой деятельности (очень редко при крайней необходимости).

Установлено, что состояние кожных рецепторов, воспринимающих болевые раздражения, всегда находится в изменении, завися от корковых клеток головного мозга, анализирующих и синтезирующих ощущения.

Потому кожно-болевая чувствительность зависит от индивидуальных особенностей больных и их состояния (от нахождения патологического очага в головном мозге, от поражения правого или левого полушария, от давности заболевания и т. д.), и можно говорить о выявленных закономерностях на основании полученных нами данных.

Прежде всего обращает на себя внимание тот факт, что когда патологический процесс охватывает и подкорковые узлы (при закупорке средней мозговой артерии) и когда больные жалуются на мучительные боли в суставах и в проксимальных отделах конечностей, то и в этих случаях кожно-болевая чувствительность бывает повышенной сравнительно со здоровой и "истинной" чувствительностью.

Кроме того, если патологический очаг находится в левом полушарии, упомянутые явления бывают более выраженным, что подтверждается литературными данными.

Однако следует отметить, что у 7 больных с указанными явлениями (диагнозами) было наблюдано понижение кожно-болевой чувствительности на паретической стороне тела (конечностях).

Когда патологический процесс ограничивается только корковым слоем головного мозга, при закупорке передней, средней и задней мозговой артерии, тогда больные не жаловались на нарушение кожно-болевой чувствительности. Но при исследовании выяснилось, что кожно-болевая чувствительность была изменена. Эти изменения помогли нам в уточнении состояния больных и в определении эффективности применяемых лечебных факторов, о чем будет сказано ниже.

Кроме того, если патологический процесс локализовался в левой стороне головного мозга в корковом слое, тогда кожно-болевая чувствительность обеих сторон тела бывает повышенна, особенно на паретической стороне, по сравнению с "истинной" чувствительностью. А когда процесс локализовался в правом полушарии, повышение чувствительности наблюдалось только на паретической стороне. У 12 больных с закупоркой средней мозговой артерии было отмечено понижение чувствительности на паретических конечностях, тогда как кожно-болевая чувствительность на здоровых конечностях была равна "истинной".

Результаты измерения кожно-болевой чувствительности, имея клиническое значение, указывают на глубину патологического процесса, с другими данными, полученными при исследованиях (измерениях) других функций центральной нервной системы. К этим исследованиям относились измерения тонуса и диаметра группы мышц конечностей, состояния кровообращения в конечностях и другие методы, которыми пользуются в клинике нервных болезней.

Таким образом, под действием применяемых лечебных факторов изменяется степень нарушения кожно-болевой чувствительности. В отдельных наблюдениях была отмечена "нормализация" кожно-болевой чувствительности, когда патологический процесс ограничивался только верхними слоями коры головного мозга, закупоркой передней мозговой артерии.

Известно, что в первом периоде болезни в головном мозге происходит процесс торможения в развитом виде, но в дальнейшем этот процесс концентрируется и большинство нервных клеток выходит из парабиотического состояния. По-видимому, это происходит не полностью, и в деятельности клеток головного мозга остаются следы явления торможения.

"Нормализация" кожно-болевой чувствительности происходит главным образом во время гальванизации. После выключения тока, на 30-й минуте, опять начинает отмечаться нарушение чувствительности сравнительно со здоровой стороной и "истинной" чувствительностью.

Сравнительно меньший эффект получен при гальванизации у больных с патологическим процессом, захватывающим и подкорковые узлы головного мозга, при закупорке средней мозговой артерии.

Действие лечебной мастичной аппликации сводилось к уменьшению боли на паретической стороне. Кожно-болевая чувствительность в значительной степени выравнивалась со здоровой стороной и "истинной" чувствительностью в течение 15—20 минут после приема процедуры. После этого срока она возвращалась к исходному уровню. В конце курса лечения, т. е. под действием последней процедуры, выравнивание кожно-болевой чувствительности отличалось большей продолжительностью, чем после первой процедуры.

Кожно-болевая чувствительность изменялась в сторону восстановления после 10-минутного массажа, при котором в кору головного мозга посыпалась большое количество импульсов. При такой "нормализации" с изменением жизненной деятельности тканей, кожно-болевая чувствительность на паретических конечностях уменьшается. По-видимому, это происходит вследствие адаптации корковых анализаторов и кожно-болевых рецепторов при этих раздражениях. Действие 10-минутного массажа продолжается около часа, а потом чувствительность приходит к исходному уровню.

Упражнения на лыжном аппарате Сандлера в течение 10 минут мало влияют на степень кожно-болевой чувствительности на паретических сторонах.

Влияние ретроплацентарной сыворотки на кожноболевую чувствительность в конце курса лечения приводит к некоторому приближению ее к чувствительности здоровой стороны и к "истинной" чувствительности.

## Выводы

1. Во всех случаях у больных с остаточными явлениями тромбоза мозговых сосудов было отмечено изменение кожно-болевой чувствительности на паретической стороне конечностей. Степень этих изменений зависела от глубины и нахождения патологического процесса и индивидуальных особенностей организма.

2. Под влиянием физиотерапевтических факторов кожно-болевая чувствительность пораженной стороны выравнивается со здоровой стороной и "истинной" чувствительностью. Продолжительность действия одного сеанса какой-либо из упомянутых процедур составляла от 10 минут до 1 часа.

3. Измерения кожно-болевой чувствительности—альгезиметрия—имеет определенное клиническое значение при установлении тяжести заболевания и одновременно показывает продолжительность действия физиотерапевтических процедур.

## ЛИТЕРАТУРА

- Блексмит З. Д. Ретроплацентарная сыворотка FC. В кн. „Лечебные препараты из крови и их клиническое применение“. Медгиз, 1957.
- Гасанов Ш. М. Лечебная мастика. Баку, 1947.
- Мамедов А. М. Прибор (альгезиметр) для исследования кожно-болевой чувствительности. ДАН Азерб. ССР, т. XIII, № 11, 1957.
- Розин М. А. Альгезиметр. В кн. „Воспроизведение заболеваний у животных для экспериментально-терапевтических исследований“. Медгиз, 1954.

Азербайджанский Научно-исследовательский институт гематологии и переливания крови

Поступило 5. III 1964

Э. М. Меммэдов

Беин дамарларында тыханч галыглы олан хәстәләрдә дәри-афры һиссијатының өлчүлмәсинин клиник әһәмијәти

## ХҮЛАСӘ

Баш беин дамар хәстәликләrinde дәринин һиссијаты комплекс шәкилдә позулур. Бунлардан бирни дә дәри-афры һиссијатының бәрпа дәврүндә биринчи олараг нормаја гајыдыр.

Дүзәлтијимиз алказиметрдән [3] ғистифадә еди, көстәрилән хәстәликләрдә дәри-афры һиссијатыны мүаличә дәврүндә өлчүлдүк. Эттәрәфларда олан ассиметријаны айын етмәк үчүн мүајинә заманы биринчи дәфә алын дәрисинин орта һиссәсендә дәри-афры һиссијатыны мүәјјән етдик. Соңра исә әлдә иккичи, ајағда биринчи бармағын ахырынчы фалангасының ич тәрәфиндә дәри-афры һиссијатыны өлчүлдүк.

Мүаличә дәврүндә мүајинәмиз 3—4 дәфә тәкrap олунмушудур. Мүаличәдән өтрут Буркенион үсулу илә јоду електрофарез етдик. Соңра кинезотерапија, мүаличә мастикасы илә апплекатсија етдик вә соңра пласента ганындан һазырланмыш зәрдаб вурдуг.

Мүшәнидәләримиз јухарыда көстәрилән хәстәлијә тутуулмуш 71-хәстә үзәриндә апарылыштыр. Мүәјјән едилмишdir ки, хәстәлијин мүхтәлиф дәврләриндә дәри-афры һиссијаты һәмишә дәјишир. Бу дәјишимә баш беин габығында һиссијаты тәһлил вә тәртиб едән синир һүчејрәләринин вәзијјәтиндән асылыдыр. Она көрә бу дәјишимәнин дәрәчәси шәхсидир вә ејни заманда хәстәлијин дәринилијиндән асылыдыр.

Галваник чәрәјанла јод електрофарез едәндә хәстәләрдә дәри-афры һиссијаты нормаллашмаға мејл едир. Чәрәјаны кәсәндән 30 дәгига соңра исә јенә әvvәлки һалына гајыдыр. Кинезотерапијада, хүсусен масаж едәндә дәри-афры һиссијаты даһа артыг дәрәчәдә дәјишир. Белә дәјишимәни мастика илә мүаличә едәндә мүшәнидә етдик.

Гейд етмәлијик ки, мүаличә курсунуң ахырында дәјишимәнин дәринлиji вә мүддәти даһа артыг олур.

Д. И. МУГАНЛИНСКАЯ

## СОДЕРЖАНИЕ КАРОТИНА В СЕНЕ, ЗАГОТОВЛЕННОМ В РАЗЛИЧНЫХ ПОЧВЕННО-КЛИМАТИЧЕСКИХ УСЛОВИЯХ АЗЕРБАЙДЖАНА

(Представлено академиком АН Азербайджанской ССР Д. М. Гусейновым)

Сельскохозяйственные животные каротин (провитамин А) для своего организма черпают в основном из трав, силюса и сена.

Для зимнего кормления главным источником провитамина А являются силюс и сено. Наряду с общей питательностью, одним из важных показателей кормовой ценности сена является содержание в нем каротина, значение которого для жизнедеятельности организма сельскохозяйственных животных огромно.

Содержание каротина в различных растениях (служащих сырьем для приготовления сена) зависит от его вида, фазы вегетации, условий питания, степени сблизленности, количества осадков в период вегетации и других факторов.

По попросу влияния на развитие растений почвенных питательных веществ имеется большое количество литературных источников. Наряду с данными об изменении содержания каротина, в зависимости от питания растений, ряд литературных источников показывают положительное влияние на образование каротина климатических факторов. По данным А. А. Егорова (1954) и В. М. Троицкого (1951), под влиянием метеорологических условий происходят количественные изменения каротина.

По данным Л. С. Владимировой (1959), в зоне сухих степей и полупустынь при высокой инсоляции, недостатке атмосферных осадков и неравномерном их распределении в течение репаратационного периода в этой зоне наблюдается раннее окончание вегетации растений, что в определенной степени сказывается на характере накопления витаминов в растениях. Сравнивая полученные данные в различных зонах Алма-Атинской области, автор приходит к выводу, что витаминный состав растений резко изменяется в зависимости от вертикальной зональности. По данному вопросу накоплены определенные данные. Так, данные К. В. Марковой (1946) показывают, что содержание каротина в общем травостое пастбищных растений сухостепей полупустынной зоны невелико, а наиболее богаты каротином травы низкогорных пастбищ.

М. А. Байтурин (1953), останавливаясь на определении содержания каротина в траве степного пастбища и предгорий отметил, что наиболее богата каротином трава предгорий.

По данным А. С. Владимировой (1959), если принять наибольшее содержание каротина за 100% в зоне предгорий у растений из семейства злаков в фазе отрастания и бутонизации, то последующие растительные зоны дают такие показатели:

Зоны	Содержание каротина.	
	в %	
Предгорная	100	
Высокогорная	59,4	
Полупустынная	33,4	
Пустынная	56,0	

Как видно, наименьшее содержание каротина находится в растениях полупустынной зоны. С. А. Африкян, В. А. Казарян (1959) также указывают, что количество каротина у одного и того же вида лядвенца подвергается резкому изменению в зависимости от разных зон.

Г. Г. Елкина и П. Я. Ярошенко (1958) проводили сравнение данных анализа на содержание каротина в одних и тех же видах растений Приморского края, Амурской области и Якутии (А. А. Егорова, 1954). Оказалось, что в Якутии некоторые виды растений очень бедны каротином по сравнению с теми же видами Приморского края и Амурской области.

Не исключая влияние различных почвенных условий, причину, влияющую на фотосинтез, объясняют тем, что в Якутии средняя температура воздуха и почвы в течение вегетационного периода несколько ниже, а сам вегетационный период короче, чем в Приморье и Приамурье.

Климатические условия оказывают большое влияние и на содержание каротина в сене, что особенно ярко выражено в засушливых зонах СССР. Так, например, амплитуды колебаний каротина в сене для Казахской ССР составляют от 1,9 до 42,3 мг/кг, для Таджикской ССР—от 5,04 до 40,66 мг/кг, а для Азербайджанской ССР, по нашим исследованиям—от 0,83 до 47,73 мг/кг.

На сравнительно небольшой территории Азербайджана встречаются 9 из 11 типов климата земного шара и представители почти всех типов почв, имеющихся на обширной территории Советского Союза. В связи с этим нами была поставлена задача изучить содержание каротина в сене различных почвенно-климатических зон и указать на главный путь восполнения каротином зимних рационов сельскохозяйственных животных.

Результаты наших исследований приводим в таблице.

Как видно из таблицы, содержание каротина в сене достигает максимума в зоне низких гор и предгорий (47,73 мг/кг), второе место занимают зоны Апшеронского полуострова (29,81 мг/кг) и Самур-Дивичинской низменности (25,65 мг/кг). В этих зонах среднее содержание каротина наивысшее—14,13 и 13,09 мг/кг. Уступает этим зонам зона низких гор и предгорий (7,16 мг/кг). Наименьшим является содержание каротина в сене предгорий (4,62 мг/кг), низменности (4,45 мг/кг) и наклонных равнин Кура-Араксинской низменности (5,32 мг/кг).

Минимальное содержание каротина в сене изученных зон колеблется от 0,83 до 5,58 мг/кг, максимальное—от 7,25 до 47,73 мг/кг.

Большие амплитуды колебаний содержания каротина в сене (0,82—47,73 мг/кг) зоны низких гор и предгорий мы объясняем высоким

Содержание каротина в сене различных почвенно-климатических зон Азербайджана (мг/кг)

Почвенно-климатические зоны	Климат	Особенности почвенно-климатических зон			Содержание каротина			
		Годовой коэффициент увлажнения	Высота над уровнем моря, м	Растительность	Почвы	от	до	
Зона низких гор и предгорий	теплый	50—70	400—1000	Горно-степная	Коричнево-лесные, послелесные, часто осенне-зеленые, темно-каштановые горных степей. Почвы сильно подвержены эрозии	0,92	47,73	7,16
Зона предгорий	20—50	200—600	Сухостепные группировки, кустарниковые заросли и отдельные фрагменты аридного редколесья	Серо-коричневые, каштановые и частично серо-бурые. Все они карбонатные и местами гипсовые. На делювиальных наносах встречаются делювиальные формы засоленных почв	1,30	7,25	4,62	
Зона наклонных равнин Кура-Араксинской низменности	теплый	30—40	50—200	Полупустынно-полынная группировка и частично луговая	Сероземы, луговые, лугово-сероземные, луговые, содовые. Засоленные на всех типах и подтипах. В Карабахской степи расположены содовые солончаки и солонцы. Местами развита ирригационная эрозия	0,83	17,79	5,32
Зона низменности	теплый	20—30	Ниже 50	Пустынная полынная группировка с преобладанием лугорастительности. Имеет место и болотная растительность	Главным образом серо-земно-луговые, лугово-болотные, лугово-сероземные, часто засоленные, сульфатные и хлоридные солончаковые	—	—	4,45
Зона Апшеронского полуострова	теплый	20—30	Ниже уровня моря	Приморская, песчаная и пустынная	Сероземы, сероzemно-бурые. Почвы сильно карбонатные. Имеются разнообразные пески, вплоть до подвижных. Зона охвачена ветровой эрозией	0,99	29,81	14,13
Зона Самур-Дивичинской низменности	теплый и более	30—50	Ниже уровня моря	Луговая, местами лугово-болотная	В основном луговые, лугово-болотные и засоленные	5,58	25,65	13,09

годовым коэффициентом увлажнения, сильной подверженностью почвы эрозии.

Горно-степная растительность зоны при соблюдении правил сено-заготовки дает возможность получения сена с высоким содержанием каротина (47,73 мг/кг). Однако при несоблюдении этих условий из-за высокой влажности воздуха процесс испарения влаги при сушке сена

замедляется, а это в свою очередь удлиняет срок сушки, и тем самым создаются условия для большого воздействия сырья атмосферным влиянием, отсюда и потеря накопленного каротина.

Амплитуда колебаний содержания каротина в сене ( $5,58-25,65$  мг/кг) зоны Самур-Дивичинской низменности объясняется сложностью зоны, т. к. она простирается от Каспийского моря ( $-28$  м) до вершины Базардюзи ( $+4489$  м). В этих условиях, с одной стороны, луговая, лугово-болотная растительность, с другой—луговые, лугово-болотные и засоленные почвы при годовом коэффициенте увлажнения  $30-50\%$  и выше обуславливают причину исследованного содержания каротина в сене.

Большие амплитуды колебаний каротина в сене ( $0,99-29,81$  мг/кг) Апшеронского полуострова обусловлены приморской, песчаной и полупустынной растительностью, свойственной этой зоне, подвижными песками и ветровой эрозией.

В зоне низменности, наклонных равнин Кура-Араксинской низменности и предгорной зоне среднее содержание каротина низкое ( $4,45-5,32$  мг/кг), т. к. здесь засоленные почвы.

Таким образом, приведенные в таблице средние данные показывают на низкое содержание каротина в сене во всех шести почвенно-климатических зонах республики.

Исходя из малого содержания каротина в сене различных почвенно-климатических зон республики, считаем, что выходом из создавшегося положения и главным путем повышения каротина в сене для восполнения зимних рационов провитамином А является заготовка сенной муки из сырья, богатого каротином, и химизация кормления сельскохозяйственных животных путем применения витамина А.

Бакинская Высшая партийная школа

Поступило 10. XII 1963

Д. И. Мугалинская

Азәрбајҹаның мұхтәлиф торпаг вә иглим шәраитинде назырланмыш гуру отларын тәркибинде каротинин мигдары

#### ХҮЛАСӘ

Азәрбајҹаның мұхтәлиф торпаг вә иглим шәраитинде (6 зонада) назырланмыш гуру отда каротинин мигдары тә’жін едилмишdir.

Апарылан тәдгигаттар көстәрик ки, Азәрбајҹан шәраитинде назырланмыш гуру отларын тәркибинде каротин аздыры. Шәраитдән асылы олараг, гуру отларын тәркибинде ( $1$  кг-да) каротинин мигдары  $4,46-14,13$  мг-а гәдәр дәжишир.

Тәдгигаттар көстәрик ки, бизим шәраитимиздә кәнд тәсәррүфаты нејванларыны А-провитамины илә тә’мин етмәк учун витаминләрлә зәнкин олан гуру от уну назырламаг вә јемләмәни кимжалашырараг А-provитамины тәтбиғ етмәк эн сәмәрәли Іоллардан биридир.

#### ЭМБРИОЛОГИЯ РАСТЕНИЙ

Г. М. РАСИ-ЗАДЕ

#### ИССЛЕДОВАНИЕ ХАРАКТЕРА НАРУШЕНИЯ ОПЛОДОТВОРЕНИЯ ПРИ САМООПЫЛЕНИИ ДИПЛОИДНЫХ РАСТЕНИЙ ОГУРЦА СОРТА ТЕЛЕГРАФ

(Представлено академиком АН Азербайджанской ССР И. К. Абдуллаевым)

Телеграф—один из распространенных западноевропейских тепличных сортов огурцов. При его выведении были использованы китайские сорта [1, 4].

Женские цветки сорта Телеграф при самоопылении дают или бессемянные плоды или же плоды с ничтожным количеством семян. Семена могут быть получены при опылении пыльцой, взятой с цветков других растений того же сорта.

Работы по выявлению форм огурца, дающих бессемянные плоды при самоопылении, проводятся Э. Т. Мещеровым [3] и А. А. Залькалном [2] на Майкопской опытной станции Всесоюзного института растениеводства.

На Майкопской опытной станции Телеграф высевался в условиях открытого грунта, а самоопыление достигалось установкой изоляционных кабин в период цветения.

Э. Т. Мещеров показывает, что работа по стерильности при самоопылении должна быть по возможности большой, с ежегодным включением в нее новых сортов [3]. Этую работу необходимо, в какой-то мере совместить с работой по получению ценных самоопыленных линий. Часто при самоопылении не образуются плоды или они являются бессемянными. Нужно проанализировать причины бессемянности селекционных сортов огурца.

В связи с этим представляют интерес и наши наблюдения. Основной целью, которую мы себе ставили при изучении эмбриологии сорта Телеграф, было выяснение характера нарушения процесса оплодотворения при самоопылении.

Работ, посвященных изучению процесса оплодотворения у огурцов, в литературе нами не встречено.

Мы провели специальные исследования для выяснения прорастания пыльцы на рыльце и роста пыльцевых трубок. Опыление и сбор материала были проведены на Майкопской опытной станции ВИР в 1962 г. Для изучения процессов оплодотворения цветки искусственно опылялись и фиксировались через 1, 2, 3, 4 часа.

Фиксацию пестиков огурца производили смесью Чемберлена (96%-ный спирт, 40%-ный формалин, ледяная уксусная кислота и вода в соотношении 30:6:4:60). Препараты приготавливались обычным способом, применяемым в цитологической технике. Они были окрашены гематоксилином по Эрлиху с подкраской прочным зеленым. Толщина микротомных срезов 12—14 микрон.

Сорт Телеграф требует для прорастания пыльцы 1 часа. Прорастание начинается с увеличения объема пыльцевого зерна в результате соприкосновения с влажной поверхностью рыльца и появления пыльцевой трубки.

В течение первого часа происходит прорастание только небольшой части пыльцевых зерен. Пыльцевые трубки сравнительно короткие, располагаются только вблизи поверхности рыльца (рис. 1, а).

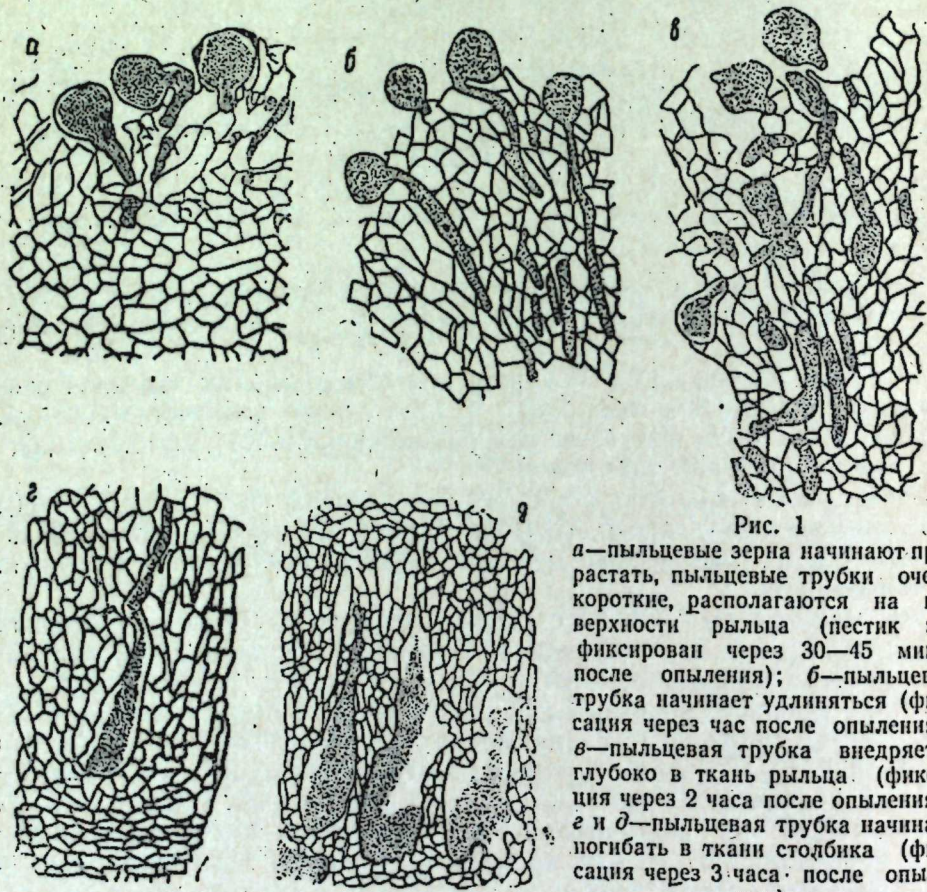


Рис. 1  
а—пыльцевые зерна начинают прорастать, пыльцевые трубки очень короткие, располагаются на поверхности рыльца (пестик зафиксирован через 30—45 минут после опыления); б—пыльцевая трубка начинает удлиняться (фиксация через час после опыления); в—пыльцевая трубка внедряется глубоко в ткань рыльца (фиксация через 2 часа после опыления); г и д—пыльцевая трубка начинает погибать в ткани столбика (фиксация через 3 часа после опыления).

Через час пыльцевые трубки достигают длины 3—4 диаметров пыльцевого зерна и располагаются в верхней части рыльца. Прорастание происходит неравномерно: часть пыльцевых зерен в это время еще только начинает прорастать (рис. 1, б). На молодых рыльцах пыльца огурца прорастает относительно легко.

При самоопылении сорта Телеграф большинство пыльцевых трубок растет в ткани рыльца сначала вполне normally, многие из них внедряются глубоко в ткань рыльца (рис. 1, в). Но отдельные трубки образуют вздутия и прекращают рост. В рыльце, по-видимому, соз-

дается неблагоприятная среда, в которой приходится расти пыльцевым трубкам, что вызывает чрезмерное замедление их роста.

Наблюдения показывают, что пыльца интенсивно прорастает на рыльце в течение первых двух часов, через три часа энергия прорастания их падает, а через четыре часа уже все пыльцевые зерна оказываются проросшими. Пыльцевые трубки, проникшие в столбик, образуют вздутия, сливающиеся друг с другом. Пыльцевая трубка начинает погибать в столбике через 3 часа после опыления (рис. 1, г и д).

В поведении примерно половины пыльцевых трубок можно подметить своеобразную черту: они изгибаются в столбике и после этого продолжают далее расти в весьма различных направлениях, в том числе и в противоположном направлении, в сторону от столбика. Это можно наблюдать через 4 часа после опыления.

Никаких нарушений в развитии и строении зародышевого мешка у сорта Телеграф мы не обнаружили.

На рис. 2 изображен зародышевый мешок, готовый к оплодотворению. Почти все зародышевые мешки в завязи были полностью сформированы, готовы для оплодотворения. Нормальный зародышевый мешок биполярный, восьмиядерный, т. е. обычный для растений этого типа.

Мы обнаружили три небольших антиподы, яйцеклетку, две синергиды и заметили, что одно из полярных ядер (микрополярное) немного большего размера, чем другое. К моменту оплодотворения два полярных ядра близко располагаются друг от друга.

Наши исследования, таким образом, показывают, что пыльцевая трубка, не достигая завязи, погибает в тканях столбика. В единичных случаях пыльцевая трубка погибает, достигнув завязи. По этим причинам зародышевый мешок остается неоплодотворенным. При подобном опылении в изобилии образуются бессемянные плоды огурцов без оплодотворения.

В заключение выражаю глубокую благодарность В. А. Гуляеву, под руководством которого выполнена настоящая работа.

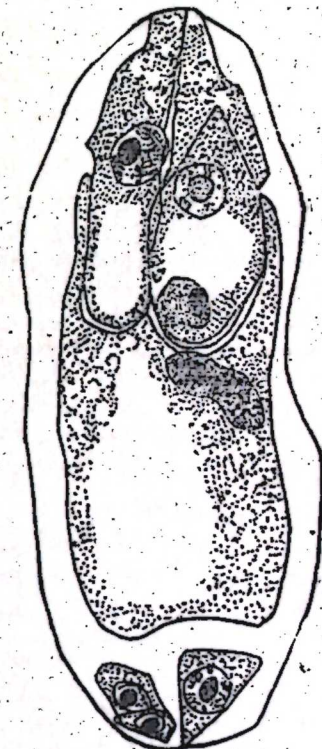


Рис. 2  
Зрелый неоплодотворенный зародышевый мешок (фиксация через 4 часа после опыления).  
Увел. 10×90.

#### ЛИТЕРАТУРА

- Габаев С. Г. Огурцы. Л. 1932.
- Залькали А. А. Влияние отбора на увеличение количества растений огурцов с женским типом цветения. Тр. по прикл. ботанике, генетике и селекции, 1961, № 2, 72—74.
- Мещеров Э. Т. Исходный материал и новые методы селекции огурца. Л., 1961.
- Филов А. И. Огурцы мира с точки зрения использования их в СССР. Душанбе, 1948.

Поступило 12. III 1964

Институт генетики и селекции

**Телеграф сортундан олан диплоид хијар биткисинин өз-өзүнә тозлама заманы мајаланмасынын позулмасынын тәдгиги**

**ХҮЛАСЭ**

Телеграф исти шитилликләрдә кениш јајылмыш Гәрби Авропа хијар сортларындандыр. Бу сорт өз-өзүнә тозлама иәтичәсиндә тохум бермір, җаҳуд аз мигдар тохум тутур. Бунуна әлагәдар олараг, биз ембриологи тәдгигат апардыг.

Өз-өзүнә тозлама иәтичәсиндә мајаланма просесинин нормал кедишинин позулмасы мұшаһидә едилир. Тәдгигат көстәрир ки, тозчуглар дишичијин ағызығында нормал чүчәрәрәк тоз борусу әмәлә қәтирир. Тоз борулары дишичијин сүтунчугуна дүшәндән соңра шишир вә өз инкишафыны дајандырыр. Инкишафыны дајандыран тоз борулары дишичијин сүтунчугуна мәһів олур.

Онлар йумурталыға әксәр налларда чатмыр, бә'зи налларда исә тәк-тәк чатараг йумурталығда мәһів олурлар. Беләликлә, тоз борулары рүшејм кисәсинә чатыб, мајаланмада иштирак едә билмир. Рүшејм кисәси нормал инкишаф едир, лакин мајаланмамыш галыр. Бу сәбәпдән тохумсуз вә җаҳуд аз мигдар тохуму олан хијарлар алышыр.

А. М. ЭФЕНДИЕВА

**О СОСТОЯНИИ ФИБРИНОЛИТИЧЕСКОЙ АКТИВНОСТИ КРОВИ В РОДАХ И В ПОСЛЕРОДОВОМ ПЕРИОДЕ**

(Представлено академиком АН Азербайджанской ССР А. И. Каравым)

Определение фибринолитической активности крови представляет большой интерес, так как выраженное повышение ее может привести к обильным маточным кровотечениям (гипо-афибриногенемии), а понижение ее активности характеризует предрасположение к возникновению тромбозов.

Усиление фибринолитической активности крови осуществляется при участии гипофизарно-адреналовой системы (Ойвин, 1962).

Фибринолитическая активность крови повышается при кровопотерях, оперативных вмешательствах, в дни менструации, при функциональных маточных кровотечениях, при родах, ожогах, страхе, умеренной мышечной работе и других состояниях.

У больных, страдающих флеботромбозами, атеросклерозом и тромбофлебитом, фибринолитическая активность крови снижена (Балуда и сотр., 1962). Нарастание тромбогенных свойств крови и последующая активация фибринолитической системы рассматриваются как защитные реакции целостного организма, возникающие при родах и в раннем послеродовом периоде.

О. Smith и G. Smith (1945) объяснили возникновение гипо-афибриногенемии в родах как результат активации фибринолитических процессов вследствие проникновения в сосудистое русло активаторов плазминогена, содержащихся в большом количестве в матке и околоплодной жидкости (Phillips, Montgomery, Taylor).

Согласно исследованиям Н. А. Шилко (1961) и Л. Б. Боковой (1963), в третьем периоде родов, наряду с повышением свертывающих свойств крови, происходит снижение концентрации фибриногена и активация фибринолитической системы.

Л. Б. Бокова указывает на повышение фибринолитической активности крови как в I периоде родов (3 ч. 43 мин.), так и на VII сутки послеродового периода (3 ч. 12 мин.).

В данной работе мы поставили перед собой задачу изучить состояние фибринолитической активности крови у беременных женщин в конце беременности, в процессе родов и в раннем послеродовом периоде, применив методику определения фибринолитической актив-

ности плазмы в эуглобулиновой фракции по Коваржику. Нами обследовано 75 женщин: 10 женщин — в конце беременности, 50 рожениц динамически по периодам родов и 15 родильниц — на VII сутки после родов.

По возрасту эти женщины распределены следующим образом: от 19 до 24 лет — 30 человек, от 25 до 30 — 27 человек, от 30 и выше — 18 человек. Первородящих — 36; повторнородящих — 39.

В анамнезе:	
оперированных по поводу внематочной беременности	—3
по поводу кесарева сечения	—1
по поводу аппендицита	—4

Все роженицы поступали на срочные роды и имели нормальный, неосложненный послеродовой период.

В качестве контроля аналогичные исследования были произведены у 20 доноров-женщин Бакинской станции переливания крови, впервые явившихся для сдачи крови, в возрасте от 20 до 50 лет. В результате этих исследований были выявлены максимальные и минимальные границы колебания фибринолитической активности крови у доноров и выведена средняя величина (см. табл. 1).

Таблица 1

Периоды	Количество больных	Первородящих	Повторнородящих	Фибринолитическая активность крови		
				Минимальная	Максимальная	Средняя
До родов	10	5	5	11 ч. 40 мин.	5 ч.	8 ч. 52 мин.
I период	31	13	18	14 ч.	4 ч.	7 ч. 28 мин.
III период	24	13	11	10 ч.	1 ч. 40 мин.	4 ч. 45 мин.
Ранний послеродовой	32	11	21	8 ч. 30 мин.	1 ч.	4 ч. 40 мин.
На VII сутки	15	9	6	9 ч. 50 мин.	3 ч.	5 ч. 50 мин.
Доноры	20	Возраст от 20—50 лет	—	8 ч.	3 ч.	6 ч.

Анализируя данные по табл. 1, мы видим понижение фибринолитической активности к концу беременности в пределах 11 ч. 40 мин. — 5 ч. ( $M=8$  ч. 52 мин.) и в I периоде родов 14 ч. — 4 ч. ( $M=7$  ч. 28 мин.).

К моменту рождения плода и отхождения последа отмечается повышение фибринолитической активности крови, максимальные цифры которой доходят до 1 ч. 40 мин. ( $M=4$  ч. 45 мин.).

В то время как Л. Б. Бокова указывает на повышение фибринолитической активности как в начале родов (3 ч. 43 мин.), так и на протяжении 8 суток послеродового периода.

Согласно исследованиям Джильман и Нейду (1959), отмечается значительное снижение фибринолитической активности к концу беременности (6 ч. 15 мин.), оставаясь в таких же пределах в процессе родов, а в послеродовом периоде фибринолитическая активность, по их данным, составляла 2 ч. 40 мин.

В раннем послеродовом периоде, т. е. через 3 часа после рождения плода, в некоторых случаях мы имеем прогрессивное повышение фибринолитической активности крови, доходящей до 1 часа, у некоторых же больных в этот период наблюдалась тенденция к нормализации. На VII сутки после родов показатель фибринолитической активности соответствует показателям доноров.

Приводим в качестве иллюстрации одно из наших наблюдений: Роженица А., 23 лет, и/б № 2664, поступила 23. XII 1963 г. в родильное отделение б-цы им. Семашко с диагнозом: беременность 40 недель, I период родов. Менструирует с 12 лет, по 3 дня через 28 дней регулярно. Половой жизнью живет с 21 года. Беременность первая, роды первые. Данная беременность протекала без явлений токсикоза. А/Д 120/70. Со стороны внутренних органов отклонений от нормы нет. Через 6 часов после поступления разрешилась живым доношенным плодом весом 3200 г, длина 50 см. Через 15 минут самостоятельно отошел послед. Общая продолжительность родов — 13 ч. 15 мин. Общая кровопотеря — 100 мл.

Результаты исследования на фибринолитическую активность крови показали: в I периоде родов — 8 ч. 45 минут,

в III периоде родов — 2 ч. 30 минут, в конце раннего послеродового периода — 5 часов. На VII сутки после родов — 6 часов. Анализы крови и мочи в пределах нормы.

Приводим наше второе наблюдение.

Роженица Е. А., 29 лет и/б № 314, поступила в родильное отделение б-цы им. Семашко 18. II 1964 г. с диагнозом: «Беременность 40 недель, I период родов. Менструирует с 14 лет, по 3 дня, через 28 дней. Половая жизнь с 25 лет, беременность вторая, роды вторые. Данная беременность протекала без явлений токсикоза, А/Д 110/65.

Через 4 часа после поступления роженица разрешилась живым доношенным плодом весом 3200 г, длина 50 см. Через 15 минут,

Таблица 2

Периоды родов	Возраст			Количество родов		Фибринолитическая активность крови		
	19—24	25—30	30 и выше	Первые	Повторные	Минимальная	Максимальная	Средняя
До родов	4	4	2	2	2	11 ч. 40'	8 ч. 30'	9 ч. 43'
I период	11	12	8	7	4	14 ч.	5 ч. 30'	8 ч. 17'
III период	12	7	5	8	3	11 ч. 30'	4 ч.	7 ч. 18'
Ранний послеродовой период	11	10	11	6	4	4 ч. 15'	6 ч. 50'	5 ч. 24'
На VII сутки	7	5	3	6	1	6 ч. 40'	2 ч. 15'	4 ч. 31'
Средняя продолжительность родов								
Общая кровопотеря								
				12 ч. 20'	8 ч. 30'	100—400 мл	500—700 мл	

самостоятельно отошел послед. Общая продолжительность родов—11 ч. 15 минут. Общая кровопотеря—150 мл.

Результаты исследований на фибринолитическую активность показали:

в I периоде—9 ч. 30 минут,  
в III периоде—5 ч. 30 минут,

через 3 часа после родов—2 ч. 30 минут. А на VII сутки после родов—5 часов. Анализы крови и мочи в пределах нормы.

Приведенные наблюдения указывают на понижение фибринолитической активности в начале родов, которая постепенно повышается к моменту рождения плода и отхождения последа, достигнув высокого уровня в раннем послеродовом периоде.

В табл. 2 указаны колебания фибринолитической активности крови в зависимости от возраста роженицы. Так, к концу беременности и в начале родов наименьшие показания минимальной и максимальной границы, мы имели у рожениц из наиболее молодого возраста.

В последовом и раннем послеродовом периоде эту зависимость установить не удается. Нами выявлена также прямая зависимость величины кровопотери от состояния фибринолитической активности крови, наибольшую потерю крови мы имели при максимальных показателях состояния фибринолитической активности крови.

### Заключение

На основании проведенных исследований мы можем отметить, что наряду с повышением свертывающих свойств крови к концу беременности и к началу развития родовой деятельности развития в родах и в послеродовом периоде наблюдается активация фибринолитической системы крови.

Как известно, ускорение свертываемости крови способствует быстрой остановке кровотечения при родах. Усиление же фибринолитической активности представляет собой также нормальную физиологическую защитную реакцию организма при родах, так как препятствует распространению тромбов по сосудистой системе, от места их первичного образования и способствует лизису сгустков, образующихся вдали от плацентарной площадки. (Балуда, 1963, Ойвин, 1962).

В наших исследованиях наивысшая фибринолитическая активность наблюдалась в последовом и в раннем послеродовом периоде.

Таким образом, изучение свертывающей системы крови, в частности фибринолитической активности в родах представляет большой практический интерес.

Мы согласны с заключением Б. А. Кудряшова о том, что изучение свертывающей системы крови у рожениц и родильниц позволит вовремя выявить предромботическое состояние и предотвратить такие осложнения, как тромбоэмболическая болезнь и др. (Кудряшов, 1962).

### ЛИТЕРАТУРА

1. Балуда В. П., Малюровский В. Н., Ойвин И. А. Лабораторные методы исследования свертывающей системы крови. М., 1962.
2. Балуда В. П. Основные закономерности изменения свертываемости крови и ее фибринолитической активности при различных состояниях организма. Автореф. докт. дисс. Томск, 1963.
3. Бокова Л. Б. „Акушерство и гинекология“, 1963, № 5, стр. 51.
4. Кудряшов Б. А. „Клиническая медицина“, 1958, № 10. т. XXXVI, стр. 3—17.
5. Кудряшов Б. А. „Проблемы гематологии и переливания крови“. 1962, № 12, стр. 3—14.
6. Ойвин И. А. „Проблемы гематологии и переливания крови“. 1962, № 12, стр. 40—42.

7. Шилко Н. А. „Акушерство и гинекология“, 1961, № 6, стр. 28.

8. Phillips L., Montgomey G., Taylor H. Am. J. Obstet. Gynec. 1957, 73, p. 43—56.

9. Smith O., Smith G., Science, 1945, v. 102, p. 253.

10. Gillman T., Naloo S. S., Hathorn M., Lancet, 1959, v. 2, p. 70.

Институт усовершенствования врачей

Поступило 25. V 1964.

А. М. Эфendiјева

ДОГУМ ВЭ ЕРКЭН ЗАЙЫЛЫГ ДЕВРҮНДЭ ГАНЫН ФИБРИНОЛИТИК АКТИВИЛІННИН ВӘЗІЈЈЕТИ НАГГЫНДА

### ХУЛАСЭ

Апарылмыш мұајиннеләрә әсасән гејд едә биләrik ки, һамиләлијин ахырында вэ догум актының башланғычында ганын лахталанма габилиләтиинин јүксәлмәсі илә әлагәдар оларғ дөгүм актында вэ еркән заңылыг дөврүндә ганын фибринолитик системинин активләшмәсі мүшәнидә олунур.

Тә'жин олунмушшур ки, һамиләлијин ахырларында вэ догум актының ачылыш дөврүнүн башланғычында ганын фибринолитик активлији ашағы енир.

Дана соңра догум процесинде ганын фибринолитик активлији күчләнир вэ һәтта догум актының сон дөврүндә вэ еркән заңылыг дөврүндә кестәричиләрдән дә јүксәк олур. Айдынлашдырылмышдыр ки, ган итирмәнин мигдары билаваситә ганын фибринолитик активлијинин вәзијјетидән асылыдыр.

Беләліклә, догум процесинде ганын лахталанма габилиләтиинин, ҳүсусән фибринолитик активлијинин өјрәнилмәсі бөյүк тәчрүби әһәмијјэт кәсб едир. Белә ки, вахтлы-вахтында тромба мејллик вәзијјетинин вэ догум, догумдан соңракы дөврдә гадын организминдә әмәләкәлә биләчәк айры-айры әламәтләрин мејдана чыхмасынын гарышынын алмагда бунун бөйүк әһәмијјети вардыр.

ТАРИХ

ӘБҮЛФӘЗ РӘНИМОВ.

БИР МЭКТУБУН ЭСИЛ МҮЭЛЛИФИ ҺАГГЫНДА

(Азэрбајҹан ССР ЕА академики Ә. Ә. Әлизадэ төгдүүл етмишидир)

Филологи елмләр намизәди Э. Мәммәдов „Azərbaycan SSR EA Mə'rüzələri“ндə „Şah Ismaılın Azərbaycan diliində bir məktubu“ адлы мәгалә дәрч етдириши вə мəktubun faksimili də buraşa əlavə olunmuşdur<sup>1</sup>. Э. Мәммәдов məktub һаггында белə mə'lumat verir:

„Һаггында bəhs etmək istədiyimiz Şah Ismaılın müüm tarihi əhəmiyyəti olan Azərbaycan dilində rəsmi məktubu Ali Əfəndinin tərtib etdiyi „Münshaat“ında mühaфизə olunur... Şah Ismaıl Azərbaycan dilində յazdyры bu rəsmi məktubu osmanlı həkmərə. II Sultan Bağışidə (1481–1512) kəndərmışdır... Məktubun sonunda tariх olmasa da, məzmunundan anlaşıylı ki, bu məktub 1507–1510-чү illərdə aراسында յazylмышdır... Şah Ismaılın II Sultan Bağışidə kəndərdiji bu məktubda osmanlı həkmərənin ofqanlarыndan birisi olañ Şahzadə Bağışidin Amasiya tərəfinidən Şah Ismaıl үзərinə basqınyndan bəhs olunur<sup>2</sup>.“

Иран вə Түркијənin XVI əср tarihi ilə tanış olañlar biliirlər ki, I Sultan Cülejmanıñ (1520–1566) oflu Bağışid həkimiyət үfgrunda atası və garداşı Cəlimlə<sup>3</sup> mübarizədə 966/1558–1559-чү illərdə məglub olmuş və İranı Şah Təhmasibin (1524–1576) җanyına gach-myshdır. Məhəz buна kərə də Şah Ismaıl Xətan (1502–1524) vəfatından təxminən 35 il sonra bаш vermiş nadisə һаггында məktub յazyb shikađet edə bilməzdi.

Çox təəssuf ki, bu җanyış fikir hələ bu vaxta gədər mütəxəssis tariхchilər tərəfinidən təngid olunmamışdır. Əksinə, bə'zi tariхchilər faksimili nəşr olunmuş məktubu Şah Ismaılın Azərbaycan dilində յazdyry bir məktub kimi gəbul etmiş və Э. Мәммәдовun məgaləsiniñ adını „Хүсуси ədəbiyyat“a salmyşlар<sup>4</sup>.

<sup>1</sup> Э. Мәммәдов. Шах Ismaılın Azərbaycan dilində bir məktubu, Azərbaycan SSR Elymlər Akademiyasynyñ Mə'rüzələri, № 10, 1960, cəh. 1007–1015 (irəlidə tıysa veriləcəkdir).

<sup>2</sup> Jənə orada, cəh. 1008–1009.

<sup>3</sup> O zaman vəlinədə olañ Cəlim 1556-чү illədə həkimiyət bашына keçmiş və 1574-чү illədə Türgiјə dəvəletini idarə etmişdir.

<sup>4</sup> О. А. Эфендиев. Образование Азербайджанского государства Сефевидов в начале XVI века, Бакы, 1961, cəh. 203.

Һаггында bəhs eidlən məktub Şah Ismaılın olmadıgyına kərə lər də elmi əhəmiyyətən məhərum və җanlışdır. Kicik һəcmli bir məgalədə onlarыn һamyısyны təhlil etməjə imkan olmadıgyı üçün biz əsasən: a) Cinan bəjlə Durag afanıñ ejni bir şəxs — Şah Ismaılın mirahuru olmadıgyı; b) məktubun Şah Ismaıl tərəfinidən 1507–1510-чү illər aراسыnda յazylmadıgyı һaggynda danyashaçagy.

Э. Мәmмәdov məktubun məzmununu jaþhy basha dushmanedijinə kərə I Sultan Cülejman və vəlinədə Cəlim, tərəfinidən kəndərilmış iki mūxtəliif elçini oxuchulara bir nəfər һəm də Şah Ismaılın „Mir-

ahuru“ kimi təgdim edir:

„Həmin məktubu sultana chatdrymag üçün Şah Ismaıl əz mirahuru Cən'an<sup>5</sup> bəji (Durag afanı) elçi kəndərdijinə xəbər verir“<sup>6</sup>.

I Sultan Cülejmanıñ oflu Bağışidin İranı gachması һaggynda mə'lumat verən tariхchilər, һəm də Şah Təhmasibin əz һəmin shəxslər һaggynda ajdıñ və dəzkyndə mə'lumat vermişdir. Şah Təhmasib əz təz-kirəsinidə Bağışidin Sultan Cülejman və Sultan Cəlim ilə mūbari-zəsinin, məglub olmasını, ondan (Şah Təhmasibdən) „1500-tumən borch“ istəməsinin, əz үnün Bağışidi və dərəd oflunu Xandikara (Sultan Cülejmana) vermişəjəni һaggynda and icməsinin, Əli afa chavushbashi ilə һəsən bəj jübəshyны Bağışidin җanyına kəndərməsinin, Bağışidin Təbris zə kəlib, oradan ona (Şah Təhmasib) məktub յazmasını təfsilatı ilə təsvir etdiķdən sonra յazyr:

من در جواب نوشتم که بقزوین تشریف بیار تا باهم جانقی  
کنیم بهرچه صلاح باشد چنان نمائیم. پیش از آنکه سلطان بايزيد  
بفارس آید سنان بیک از جانب خواندگار بايلچيگري آمد و دوراق  
آقا از جانب سلطان سليم آمدند و مكتوب آورند.

(Mən chavabында յazdym ki, Gəzvinə təşrif kətiir, birlikdə səh-bət edək, neçə məsləhət olsa, elə edərik. Sultan Bağışid farxa kəlməmişdən gabag Cinan bəj Xandikar (I Sultan Cülejman) tərəfinidən və Durag afa Sultan Cəlim tərəfinidən elçilijə kəldilər və məktub kətiirdilər).

Bağışidin İranı Şah Təhmasibin җanyına gachyb kəlməsinin şahidi olañ Zeynalabdin Əli Əbdi bəj Shirazi<sup>8</sup> (1515–1580) iki əsərinidə bu məsələdən bəhs etmişdir. Birinci əsər şairin үçünçü „Xəmsə“-si olañ „Çənnati-ədn“<sup>9</sup> daхıl eidlən „Zinətül-ovrag“ adlı məsnəvisidir.

Əsər Bağışidin Şah Təhmasibin җanyına kəldi 967/1559–1560-chy illərdə Gəzvinidə յazylmyshdır<sup>10</sup>. Əbdi bəj məsnəvinin chox hissəsinin Bağışidin İrandakı həjatyına həsr etmişdir. Choх az tarihi

<sup>5</sup> Məktubda və tarihi mənbələrdə յazyllığı üçün Cən'an յazylmasası dəzkyndir. Cinan յazylmasası daňa dəzkyndür.

<sup>6</sup> Э. Мәммәдов. Көstəriklən əsəri, cəh. 1014.

شاه طهماسب «قى كىره طهماسب»، كلىكته ۱۳۱۲، ص ۷۶

<sup>8</sup> Bax: Э. Ի. Рәнилов. Əbdi bəj Shirazinin həjaty һaggynda, Azərbaycan SSR Elymlər Akademiyasynyñ IX elmi konfransınyñ materialları, Bakı, 1962, cəh. 156–159.

<sup>9</sup> عبلى بىك شيرازى «كلىيات نويىدى»<sup>11</sup>, сəh. 501. Tehran universiteti-nin mərkəzi kitabxanasındakı əljasmasının Azərbaycan SSR Elymlər Akademiyasının Shərgiunasılgı Institutundakı foto surəti.

мәнбә тапмаг олар ки, Бајәзидин Ирандакы hәјаты бу әсәрдәки гәдәр кениш тәсвир олунсун.

Эбди бәйин иккinci әсәри 978/1570-чи илдә Гүртәрдың „Тәкмиләтүл-әхбар“ адлы үмуми тарих китабыдыр<sup>10</sup>. Мүәдлиф бу әсәриндә һичри 966 вә 967-чи ил һадисәләрини тәсвир едәркән Бајәзид һаггында да данышмышдыр. Эбди бәј „Тәкмиләтүл-әхбар“да Шаһ Тәһмасибин Си-нан бәј вә Дураг аға һаггындакы фикрини еїнилә тәкrapar етмишdir. Белә ки, о, Бајәзидин Тәбриздән Шаһ Тәһмасибә „пейғам“ (мәктуб) көндәрдијини, „иәвваби-камијаб“ын онун мәктубуна чаваб вердијини тәсвир етдиңдән соңра йазмышдыр:

درین بین سنان بیک ایلچی از جانب خواندگار آمد و دوراً  
آقا از جانب سلطان سلیم آمد که سلطان بایزید را عزت نباید  
داشت.<sup>۱۱</sup>

(...Бу заман Синан бәй Хандикар (I Султан Сүлејман) тәрәфиндән, Дураг аға исә Султан Сәлим тәрәфиндән елчи кәлди ки, Султан Бај-зидә нөрмәт көстәрилмәсин):

Мисаллардан көрүндүйү кими, Синан бәjlә Duраг ага тамамилә башга-башга шәхсләрdir. Синан бәj I Султан Сүлејман Хандикар, Duраг ага исә вәлиәhd Сәлим тәрәфиндән көндәрилмиш ики нәфәр ел-чидир.

Э. Мәммәдов тәрәфиңдән факсимили нәшр олунмуш мәктүбүн өзүн-  
дән дә аныштырып, „Әрдәһан санчағы бәјі“ Синан бәј „Һәзрети-  
худавәнді-камкар“, және I Султан Сүлејман тәрәфиңдән, миражур Ду-  
раг аға исә кәләчәк II Султан Сәлим тәрәфиңдән көндәрилмишdir.

Эбди бэй Бајэзидин Ирана кэлдији ил нэггында „Тэмилэтүл-эхбар“ да бир<sup>12</sup>, „Зинэтүл-овраг“ да исэ ики<sup>13</sup> маддеји-тарих вермишдир. Бунлардан эlavэ, шаир һэр ики өсөрингдэ даха дэгиг тарих дэ көстэр-мишдир. Мэсэлэн, шаир „Зинэтүл-овраг“ да языр:

آمدن سلطان بایزید الدرم بهادر خان بخدمت خاقان پادشاه نشان  
روز چهارشنبه بیست و دوم محرم سنن سبع و سنتین و تسعمایه  
مطابق قوی ئیل<sup>۱۴</sup>

(Султан Бајэзид Илдырым Баһадыр ханын падшаш нишанлы хаганын (Шаһ Тәһмасибин) хидмәтинә кәлмәси – чаһаршәнбә күнү, 22 мәһәррәм 967-чи ил, мұтабиг гојун или).

<sup>10</sup> Бах: Э. һ. Рәйимов. Эбди бәյ Ширәзи. Тәкмиләтүл-әхбаръын мүәззифи  
кими. Азәрбајҹан ССР Елмләр Академијасының Мә’рүзәләри, № 5, 1962, сәh. 69—72.

«**عبدی بیک شیرازی** تکمله‌ای «**الأخبار**» ۱۱ вэр. 275-б. Азәрбајҹан ССР Елмләр Академијасы Шәргшүйнслыг Институтундакы элјазмасы, инв. № 48.

گэрээдээ үзүүлж буйгаар түрк тэгвими олуу 967-чи илэ бэраа  
бэрдир. „Тэкомилатүйл-эхбар”, вэр. 275-б.

خواهی از این اشارتش تاریخ  
شد کلید بشارتش تاریخ<sup>۱۳</sup>  
هزست تاریخ سال ظن لوا  
...زیر ظل لوای شاه آمد

Бу мисралардакы «**ظل لوأ**» вә «**كلىد بشارت**» сөзләри эбчәд несабы илә һинчи 967-чи илә бәрабәрdir. Құллијати-Нәвиди, с. 571 — 572.  
<sup>14</sup> Құллијати-Нәвиди, с. 572.

Демэли, Бајээнд 22 мэхэррэм 967-чи йлдэ (24 октjabр 1559) Гэз-  
винэ Шах Тэһмасибин хидмэтинэ кэлмишдир<sup>15</sup>.  
Шах Исмаиль Хатан

Шаһ Исмаїл Хәтаи илә һеч әбір әлагәсін олмајан Бајәзидин Тәһмасибин һакимијәти заманы 967/1559-чу илдә Ирана гачыб кәлмәси һәсән бәй Румлу<sup>16</sup>, Шәрәф хан Бидлиси<sup>17</sup>, Искәндәр бәй Мүнши<sup>18</sup>, Һачы Мирзә һәсән Фәсәи<sup>19</sup>, Әләкбәр Деңхуда<sup>20</sup>, Аббас Иг-бал<sup>21</sup>, Шәмсәддин Сами<sup>22</sup>, Әһмәд Расим<sup>23</sup>, Чон Малколм<sup>24</sup>, Едуард Бра-ун<sup>25</sup> вә башгаларының әсәрләринде дә гејд едилмишdir.

Гүркійә жазычыларындан Мәһәммәд Зәки „Мәгтүл шаһзадәләр“ ад-  
лы әсәриндә Бајәзидин мүбәризәси, Ирана гачыб кәлмәси, атасына 7  
бәнддән ибарәт ше’рлә мәктуб көндәриб бағышланмасыны хәниш ет-  
мәси, өзүнүн вә оғланларының өлдүрүлмәси нағында кениш бәһс ет-  
мишди<sup>26</sup>.

Ә. Мәммәдовун һағында бәһс етдији мәктуб Фиридуң бәјин „Мәч-муәји-мүнишәатүс-сәлатин“ адлы китабында „Шаһзадә Бајәзид Иран тәрәфинә кетдикдә Иран шаһына шаһзадә Султан Сәлим һәзрәтләри тәрәфиндән јазылан намеји-һумајунун сурәтидир“ сәрлөвһәсі алтында тәхминән ejni шәкилдә верилмишdir<sup>27</sup>. Һәмин китабда һәтта Шаһ Тәһмасибин вәлиәнд Сәлимә јаздығы чаваб мәктубу да „Иран шаһы тәрәфиндән шаһзадә Бајәзид һағында шаһзадә Султан Сәлим һәзрәт-

<sup>15</sup> Бэзин тарихи мэнбэлэрдэ көстәрилэн тарихээ Эбди бэйин көстәрдиж тарих арасында бир нечэ күн фэрг вардыр. Һадисэнни чанлы шаһиди олан Эбди бэй эз эсэрийн һэмийн илдэ Гэзвийн шэхүүрнэдэ յаңдырыг үүчин онун көстәрдиж тарих даха дэгиг ола билэр.

<sup>١٦</sup> حسن بیک روملو «احسن التواریخ» کلکته، ۱۹۳۱، ص ۷۴-۸۱.

<sup>۱۷</sup> شرف خان بن شمس الدین بدليسی «كتاب شرف نامه» جلد ۲، پطربورغ، ۱۸۶۲، ص ۲۱۲-۲۱۶

<sup>۱۸</sup> اسکندر بیک تر کمان «تاریخ عالم آرای عباسی» طهران، ۱۳۱۴، ص ۷۹-۸۶

<sup>۱۹</sup> حاجی میرزا حسن فسائی «فارسنامه ناصری»، تهران، ۱۳۱۳، ص ۱۰۹-۱۱۰.

<sup>20</sup> على اكابر دهخدا، «لغت نامه» شماره مسلسل ۳۵ (حرف ط)، تهران، ۱۳۴۶، ص ۳۶۹.

<sup>21</sup> عباس اقبال «تاریخ مفصل ایران» تهران، ۱۳۲۰، ص ۲۶۲  
<sup>22</sup> شمس الدین سامی «قاموس الاعلام» ۲ جلد، استانبول، ۱۳۱۶، ص ۷۸-۸۹

<sup>23</sup> احمد راسم «رسمی و خریطه‌لی عثمانلی تاریخی» ۱ جلد، استانبول، ۱۳۲۸-۱۳۳۰، ص ۳۳۷-۳۴۵.

<sup>24</sup> سرجان ملکم «تاریخ ایران» جلد ۱، بمیئی ۱۲۸۷، ص ۱۸۸.  
<sup>25</sup> ادوارد برون «تاریخ ادبیات ایران» (از آغاز عهد صفویه تا زمان

حاضر) چاپ دوم ترجمه رشید یاسمه‌ی، تهران، ۱۳۲۹، ص ۸۸-۸۹.  
محمد ذکری « فقطول شهزاده‌لر » استانبول، ۱۳۳۶، ص ۲۳۹-۲۸۸.<sup>26</sup>

<sup>27</sup> فریدون بک «مجموعه منشیات السلاطین»، جلد ثانی، استانبول، ۱۲۶۵، ص ۲۴۰-۲۴۲.



## СОДЕРЖАНИЕ

### Математика

Р. Г. Алиев, А. Р. Эфендиев. Применение метода Зейделя к одной краевой задаче . . . . .	3
А. С. Джабаров. Теоремы вложения классов функций с дифференциальными свойствами в нормах специальных пространств. . . . .	10

### Органическая химия

Д. Е. Мишиев, М. М. Гусейнов, П. А. Петросян. Алкинирование бензола бутадиеном . . . . .	15
Б. Ф. Пищамазаде, Ф. А. Мамедов и др. Синтез и исследование свойств эфиров карбоновых кислот гаммагидрооксиметилхлорциклогексана. . . . .	18
С. И. Садыхзаде, Р. Султанов, Б. А. Мамедова. Присоединение триоргансиланов к винилэтинил- <i>α</i> -фурилкарбинолу . . . . .	23

### Химия

Н. Н. Маков, Р. А. Александров, Г. Х. Эфендиев. Концентрирование микроколичеств элементов экстракцией нафтеновыми кислотами в присутствии «добавок» . . . . .	28
---	----

### Геология нефти и газа

А. А. Якубов, Ф. Г. Дадашев, Ф. С. Магеррамова. Извержение грязевого вулкана Айрантекян . . . . .	31
---	----

### Геоморфология морских берегов

О. К. Леонтьев, А. И. Халилов и др. О некоторых особенностях современной динамики берегов сулакской бухты. . . . .	37
--	----

### Добыча нефти

Ш. Ф. Мехтиев, А. Х. Мирзаджанзаде и др. К определению температуры пластов . . . . .	42
--	----

### Агротехника

С. А. Казимов. Некоторые противоэрзационные агротехнические мероприятия на склоновых землях Куба-Кусарской зоны Азербайджанской ССР . . . . .	46
---	----

### Паразитология

А. Т. Гаджиев. Гамазовые клещи Закавказского хомяка <i>Cricetus (Meso-cricetus) auratus</i> Waterhouse (1939) . . . . .	50
---	----

### Физиология

М. А. Мехтиев, Е. Г. Гаузер, Ф. Б. Аскеров. О функциональном состоянии щитовидной железы у овец по тесту накопления радиоиода ( $J131$ ). . . . .	53
---	----

### Медицина

А. М. Мамедов. Клиническое значение измерения кожно-болевой чувствительности у больных с остаточными явлениями тромбоза мозговых сосудов . . . . .	57
--	----

### Биохимия

Д. И. Мугалинская. Содержание каротина в сене, заготовленном в различных почвенно-климатических условиях Азербайджана. . . . .	61
--	----

### Эмбриология растений

Г. М. Расизаде. Исследование характера нарушения оплодотворения при самоопылении диплоидных растений огурца сорта телеграф . . . . .	65
--	----

### Медицина

А. М. Эфендиева. О состоянии фибринолитической активности крови в родах и в послеродовом периоде . . . . .	69
--	----

### История

Абульфаз Рагимов. Об истинном авторе одного письма. . . . .	74
---	----

Подписано к печати 9/IV-65 г. Формат бумаги 70×108 $\frac{1}{4}$ . Бум. лист. 2,63.  
Печ. лист. 7,19. Уч.-изд. лист. 6,7. ФГ 01874. Заказ 34. Тираж 870. Цена 40 коп.

Типография «Наука» Госкомитета по печати Совета Министров Азерб. ССР,  
Баку, Рабочий проспект, 96.

25  
ОГН

## ПРАВИЛА ДЛЯ АВТОРОВ

1. В «Докладах Академии наук Азербайджанской ССР» помещаются краткие сообщения, содержащие законченные, еще не опубликованные результаты научных исследований, имеющих теоретическое или практическое значение.

В «Докладах» не публикуются крупные статьи, механически разделенные на ряд отдельных сообщений, статьи полемического характера без новых фактических данных, статьи с описанием промежуточных опытов без определенных выводов и обобщений, работы непринципиальные, описательного или обзорного характера, чисто методические статьи, если предлагаемый метод не является принципиально новым, а также статьи по систематике растений и животных (за исключением описания особо интересных для науки находок).

Статьи, помещаемые в «Докладах» не лишают автора права последующей публикации того же сообщения в развернутом виде в других изданиях.

2. Поступающие в «Доклады» статьи рассматриваются Редакционной коллегией только после представления их академиком по специальности.

Статьи членов-корреспондентов Академии наук Азербайджанской ССР принимаются без представления.

Редакция просит академиков при представлении статьи указывать дату получения ее от автора, а также наименование раздела, в котором статья должна быть помещена.

3. В «Докладах» публикуется не более трех статей одного автора в год. Для академиков устанавливается лимит 8 статей, а для членов-корреспондентов Академии наук Азербайджанской ССР — 4 статьи в год.

4. «Доклады» помещают статьи, занимающие не более четверти авторского листа, около 6—7 страниц машинописи (10 000 печатных знаков), включая рисунки.

5. Статьи, написанные на азербайджанском языке, должны иметь резюме на русском языке и наоборот.

6. В конце статьи должны быть указаны название научного учреждения, в котором произведена работа, и номер телефона автора.

7. Опубликование результатов работ, проведенных в научных учреждениях, должно быть разрешено дирекцией научного учреждения.

8. Статьи (включая и резюме) должны быть написаны на машинке через два интервала на одной стороне листа и представляются в двух экземплярах. Формулы должны быть вписаны четко и ясно, и при этом прописные буквы должны быть подчеркнуты (черным карандашом) двумя черточками снизу, а строчные — сверху; буквы греческого алфавита надо обводить красным карандашом.

9. Цитируемая в статье литература должна приводиться не в виде подстрочных сносок, а общим списком (без новострочия), в алфавитном порядке (по фамилии автора), в конце статьи с обозначением ссылки в тексте порядковой цифрой. Список литературы должен быть оформлен следующим образом:

а) для книг: фамилия и инициалы автора, полное название книги, номер тома, город, издательство и год издания;

б) для статей в сборниках (трудах): фамилия и инициалы автора, заглавие статьи, название сборника (трудов), том, выпуск, место издания, издательство, год, страница;

в) для журнальных статей: фамилия и инициалы автора, заглавие статьи, название журнала, год, том, номер (выпуск), страница.

Ссылки на неопубликованные работы не допускаются (за исключением отчетов, диссертаций, хранящихся в научных учреждениях).

10. На обороте рисунков должны быть указаны фамилии автора, название статьи и номер рисунка. Отпечатанные на машинке подписи к рисункам представляются на отдельном листе.

11. Редакция выдает автору бесплатно 15 отдельных оттисков статьи.